

REPRODUCTIE ZOUTTOESTAND
GETIJRIVIEREN

XII

EENDIMENSIONAAL ONDERZOEK
DEEL 1: GETIJ- EN ZOUTGEGEVENS

WATERLOOPKUNDIG LABORATORIUM
DELFT M 896-XII

d1. 1

896/XII

20 SEP. 1976

BIBLIOTHEEK
Waterloopkundig Laboratorium
Postbus 177 - DELFT

WATERLOOPKUNDIG LABORATORIUM

REPRODUKTIE ZOUTTOESTAND GETIJRIVIEREN

Eéndimensionaal onderzoek

Deel 1: Getij- en zoutgegevens

M 896 - XII

juli 1976

SAMENSTELLING RAPPORT

De verslaggeving van het "Systematisch onderzoek variatie randvoorwaarden en stromingskondities" is als volgt:

- M 896 - X : Meet- en rekenresultaten
- M 896 - XI : Tweedimensionaal onderzoek
- M 896 - XII : Eéndimensionaal onderzoek

Het onderhavige rapport M 896 - XII is als volgt ingedeeld:

- Deel 1 : Getij- en zoutgegevens
- Deel 2 : Dispersiegegevens
- Deel 3 : Interpretatie

INHOUD

blz.

LIJST VAN FIGUREN

NOTATIES

1	<u>Inleiding</u>	1
2	<u>Opzet experimenteel onderzoek</u>	2
3	<u>Toelichting onderzoekresultaten</u>	3

LIJST VAN FIGUREN

- 1 Overzicht Rotterdamse Waterweg
- 2 Opzet getijgootonderzoek
- 3 Schema meetopstelling
- 4 Proeven systematisch onderzoek
- 5 t/m 7 Proevenseries systematisch onderzoek
- 8 en 9 Verifikatie reproduceerbaarheid dispersie
- 10 Karakteristieke resultaten getijgootonderzoek
- 11 t/m 14 Dispersiegegevens Rotterdamse Waterweg
- Resultaten proevenseries:
- 15 t/m 21 Onderzoek variatie waterhoogte
- 22 t/m 30 Onderzoek variatie gootlengte
- 31 t/m 38 Onderzoek variatie bovenafvoer
- 39 t/m 46 Onderzoek variatie getijverschil
- 47 t/m 53 Onderzoek variatie zoutkoncentratie zee
- 54 t/m 60 Onderzoek variatie ruwheid
- 61 t/m 67 Onderzoek variatie luchtingjektie
- 68 t/m 74 Onderzoek variatie conditie zee
- 75 t/m 78 Invloed luchtingjektie bij variatie waterhoogte
- 79 t/m 82 Invloed luchtingjektie bij variatie bovenafvoer
- 83 t/m 87 Invloed type ruwheid bij variatie waterhoogte

NOTATIES

- a : getijamplitude
a_z : getijamplitude op zeerand (randvoorwaarde)
c : zoutkoncentratie
 \bar{c} : zoutkoncentratie, gemiddelde over dwarsprofiel
c_z : zoutkoncentratie (konstant) op zeerand
g : versnelling van de zwaartekracht
h : waterhoogte
h - h_o : waterhoogte ten opzichte van middenstand (h_o)
h_z : waterhoogte op zeerand (randvoorwaarde)
p : druk
t : tijd
u : snelheidskomponent in x-richting
 \bar{u} : snelheidskomponent in x-richting, gemiddelde over dwarsprofiel
x : horizontale koördinaat
- C : weerstandscoëfficiënt volgens Chézy
D'_x : dispersiekoëfficiënt
F'_r : intern Froudegetal
L : ekwivalente lengte
L_i : lengte zoutindringing
L_s : stoffelijke lengte getijgoot
Q : debiet
Q_a : debiet luchtingjektie
Q_L : konstante afvoer (randvoorwaarde)
R : hydraulische straal
Re : getal van Reynolds
T : getijperiode
T'_x : dispersief transport
- λ : lengte getijgolf volgens $\lambda = \sqrt{gh_o} T$
ν : kinematische viskositeit
ρ : dichtheid
 $\bar{\rho}$: dichtheid, gemiddelde over dwarsprofiel
τ : schuifspanning
 τ_b : schuifspanning aan de bodem

1 Inleiding

In het kader van het getijgootonderzoek is een omvangrijk systematisch onderzoek uitgevoerd naar de invloed van variatie van randvoorwaarden en stromingscondities op de zoutbeweging. De resultaten geven tendensen te zien die in kwalitatieve zin van toepassing zijn voor de Rotterdamse Waterweg. Aan de kwantitatieve gegevens mag echter geen absolute waarde toegekend worden gezien het sterk schematische karakter van het onderzoek.

De meetgegevens van het onderzoek dat 56 proeven heeft omvat, zijn bewerkt op basis van een ééndimensionaal model (horizontale koördinaat; verschijnsel tijdsafhankelijk). Op deze wijze zijn waterstanden, debieten en zoutconcentraties als functie van plaats en tijd verkregen en vervolgens zijn deze gegevens geanalyseerd op basis van de diffusievergelijking voor het ééndimensionale model. Door middel van een balansbeschouwing is het dispersieve massatransport bepaald en daaruit afgeleide grootheden waaronder de dispersiekoëfficiënt. Daarnaast is gebruik gemaakt van een directe bepaling van het dispersieve transport uit de snelheidsverdeling en de concentratieverdeling in het dwarsprofiel.

De getij- en zoutgegevens zijn samengevat in deel 1 van dit rapport, de dispersiegegevens in deel 2. In deel 3 is een aanzet gemaakt voor een fysische interpretatie. De resultaten zijn uitgebreid geverifieerd met betrekking tot de reproduceerbaarheid, terwijl ook de betrouwbaarheid van de analyse nader onderzocht is. Hiermee kon een indikatie gegeven worden in welke mate de resultaten als signifiekant beschouwd kunnen worden.

Met inachtneming van het gegeven voorbehoud, kunnen de resultaten nuttig zijn voor praktische toepassingen in het kader van de interpretatie van de zouttoestand in de Rotterdamse Waterweg en voor de verifikatie van niet-homogene rekenmodellen, in het bijzonder voor de toetsing van aannamen voor de dispersiekoëfficiënt.

Het onderzoek is uitgevoerd in het kader van het getijgootonderzoek M 896 in opdracht van de Waterloopkundige Afdeling van de Deltadienst van de Rijkswaterstaat en stond onder leiding van ir. A.J. van Rees die ook het rapport samenstelde.

2 Opzet experimenteel onderzoek

De getijgoot is een schematische weergave van de Rotterdamse Waterweg (fig. 1) op basis van schalen 1:64 verticaal en 1:640 horizontaal (de schalen kunnen binnen een zekere marge willekeurig gekozen worden). De goot die 0,50 m diep, 0,672 m breed en 101,50 m lang is, is verbonden met een rechthoekig bassin (geschematiseerde zee) waar een met de tijd variërende waterstand en een constante zoutconcentratie ingesteld kan worden. Aan het einde van de goot kan een met de tijd variërend debiet en een constante afvoer worden ingesteld. De goot is zodanig ingericht (gladde wanden, voldoende breed) dat de stroming in hoge mate tweedimensionaal is.

De opzet van het getijgootonderzoek is weergegeven in fig. 2 en een overzicht van de getijgoot en van de opstelling van de meetapparatuur in fig. 3. Voor een gedetailleerde beschrijving van de opzet van het getijgootonderzoek en van de getijgoot wordt verwezen naar de rapporten M 896 - I en II.

Het proevenprogramma van het systematisch onderzoek is weergegeven in fig. 4. Uitgaande van een referentieproef is achtereenvolgens telkens één van de bepalende condities gevarieerd, terwijl de overige condities vastgehouden zijn. Het basisprogramma omvat 8 proevenseries voor respektievelijk variatie waterhoogte (1), gootlengte (2), bovenafvoer (3), getijverschil (4), zoutconcentratie zee (5), ruwheid (6), luchtingjektie (7) en conditie zee (8).

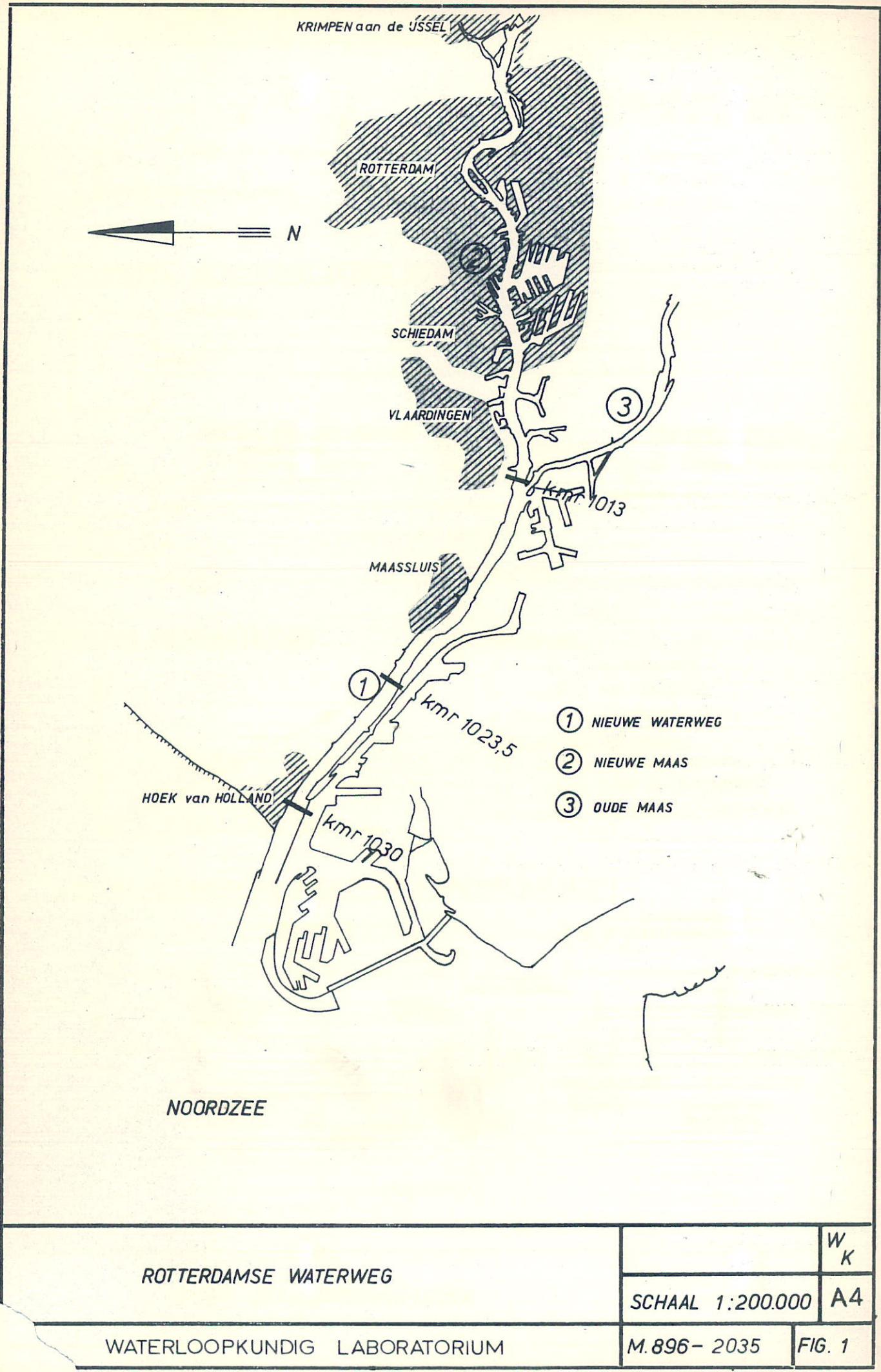
Verder zijn er 3 aanvullende proevenseries voor respektievelijk invloed luchtingjektie bij variatie waterhoogte (1'), invloed luchtingjektie bij variatie bovenafvoer (3') en invloed type ruwheid bij variatie waterhoogte (1''). Bij alle proeven had het op de zeerand ingestelde vertikale getij een sinusvormig verloop.

Een gevoelige parameter die globaal de zouttoestand karakteriseert is de lengte van de zoutindringing. Op basis van deze parameter zijn lopende het onderzoek de proeven gekozen die nodig waren om het verschijnsel over een voldoende groot bereik vast te leggen. Zie de figuren 5, 6 en 7 voor het hierboven genoemde programma. De grafieken worden hier gegeven om de proeven van het systematisch onderzoek globaal te karakteriseren.

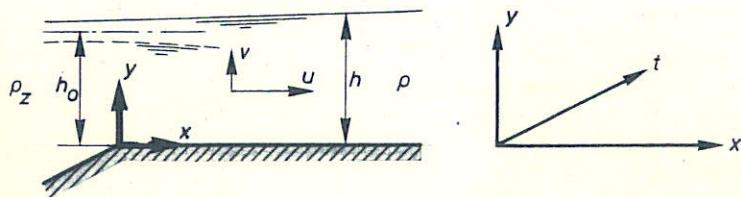
3 Toelichting onderzoekresultaten

In het proevenprogramma zijn een aantal z.g. tweelingproeven opgenomen, namelijk T3/T3B, T34B/T34C en T145/T146. Bij een stel tweelingproeven zijn de randvoorwaarden identiek en deze proeven zijn onafhankelijk van elkaar uitgevoerd en bewerkt. Het blijkt dat de direct gemeten grootheden, dat zijn de waterstanden, snelheden en zoutkoncentraties, steeds zo goed corresponderen dat de betreffende grafieken geen zichtbare verschillen geven. De verschillen komen pas tot uiting in de gradiënten en er zijn daarom wel belangrijke verschillen in de berekende dispersie. De figuren 8 en 9 hebben daarop betrekking. Deze figuren worden, samen met de figuren 10 t/m 14, behandeld in deel 2 in het kader van de verifikatie van de dispersiegegevens.

De meetresultaten van de proevenseries zijn per serie verzameld vanaf fig. 15. Om praktische redenen is getracht de nummering van de resultaten van de proevenseries in deel 1 en 2 parallel te laten lopen. De indeling kan teruggevonden worden aan de hand van de lijst van figuren en de onderschriften per blad en figuur 4 kan eveneens als leidraad dienen. Voorafgaand aan elke serie meetresultaten per proef is een overzichtsblad opgenomen, waarin de serie gekarakteriseerd is aan de hand van de zoutindringing. Zie ook de betreffende proefnummers en de figuren die hierbij aangegeven zijn.



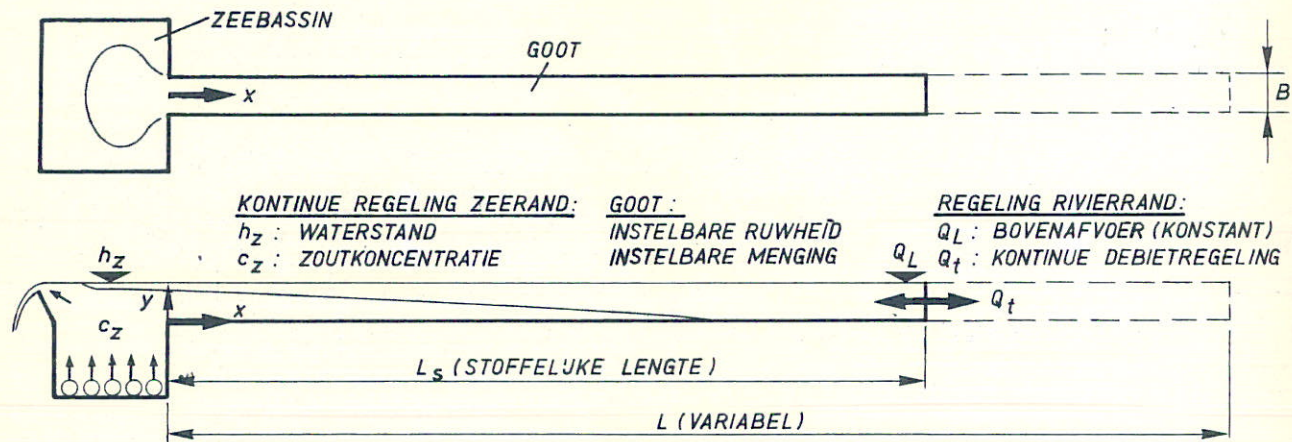
SCHEMATISATIE PROTOTYPEPROBLEEM



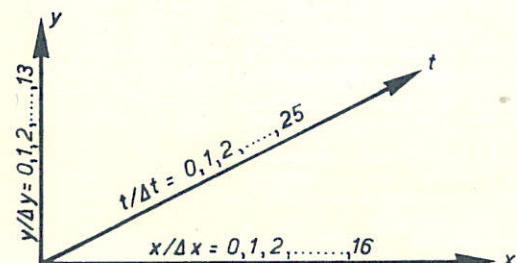
SCHEMATISATIE TOT TWEEDIMENSIONALE NIET-HOMOGENE GETUBEWEGING

$$\begin{aligned} h &= f(x, t) \\ u &= f(x, y, t) \\ v &= f(x, y, t) \\ \rho &= f(x, y, t) \end{aligned}$$

GETJUMODEL GESCHEMATISEERD ESTUARIUM



SCHEMA BEMONSTERING



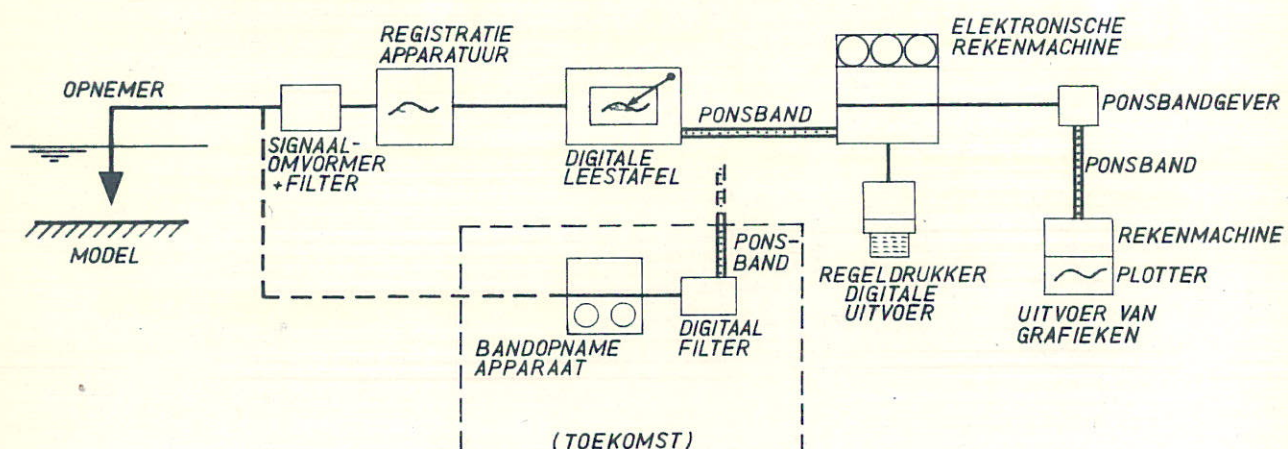
METEN VAN :

- $h f(x, t)$ WATERHOOGTE
- $u f(x, y, t)$ HOR. SNELHEID
- $\rho f(x, y, t)$ DICHTHEID

GEKOZEN MEETAFSTANEN :

- $\Delta x = 3,65 \text{ m}$ (2340m PROTOTYPE)
- $\Delta y = 0,077 h_0$ (ORDE 1m PROTOTYPE)
- $\Delta t = 0,04 T$ (ORDE 1/2 uur PROTOTYPE)

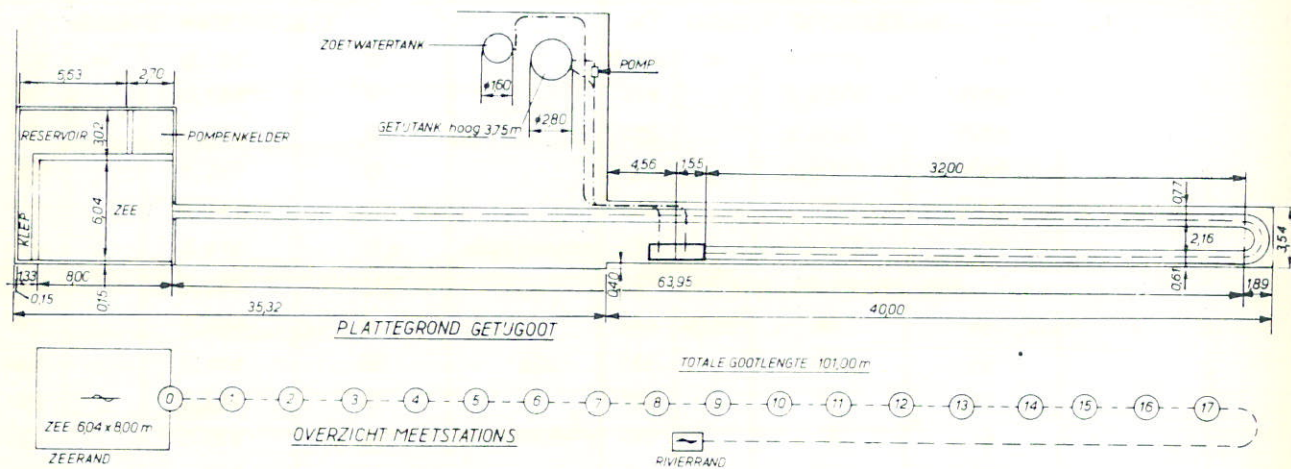
SCHEMA VERWERKING MEET- EN REKENRESULTATEN



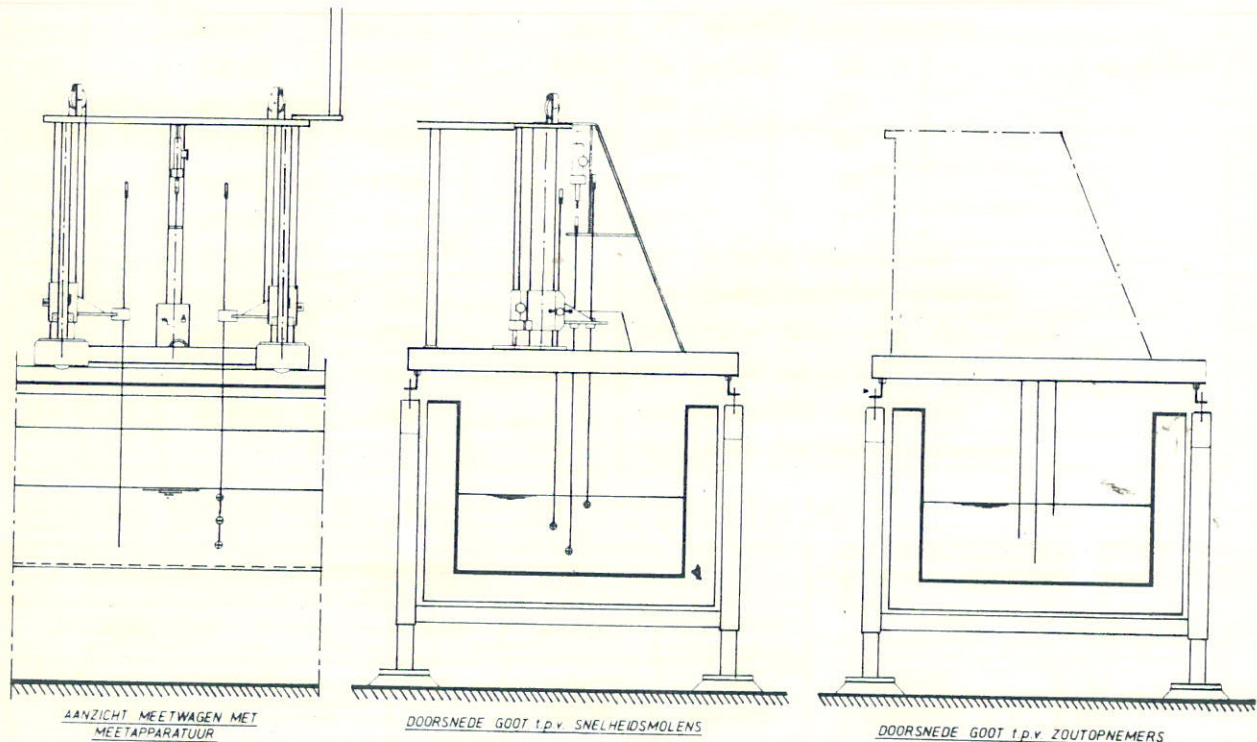
OPZET GETJUGOOTONDERZOEK

j.w.

A4



OVERZICHT GETJEGOOT



OPSTELLING MEETAPPARATUUR

SCHEMA MEETOPSTELLING

GEGEVENS PROEVEN (VOOR ZOVER AFWUKEND VAN GEGEVENS REFERENTIEPROEVEN)

PROEF NO.	EENH.	MODEL	PROT.	BUZ.	PROEF NO.	EENH.	MODEL	- PROT.	BUZ.
1° VARIATIE WATERHOOGTE					4° VARIATIE GETUVERSCHIL				
106	m	0,156	10		34B/C	m	0,0188	1,20	
107	"	0,188	12		134	"	0,0375	2,40	
108	"	0,250	16		135	"	0,0125	0,80	
109	"	0,281	18		136	"	0,0750	4,80	
110	"	0,268	17		137	"	0,0500	3,20	
145	"	0,216	13,8	BODEMRUWH	138	"	0,0156	1,00	
146	"	0,216	13,8	"	5° VARIATIE ZOUTKONC. ZEE				
147	"	0,234	15	"	140	kg/m ³	40	40	
148	"	0,188	12	"	141	"	20	20	
149	"	0,156	10	"	142	"	10	10	
151	"	0,156	10	LU. 60cc/m ² s	143	"	5	5	
152	"	0,250	16	"	144	"	50	50	
2° VARIATIE GOOTLENGTE					6° VARIATIE RUWHEID				
101	m	157,22	100620	$L/4\lambda = 0,774$	113	m ^{1/2} /s	15,8	50	
102	"	201,09	128700	" 0,990	114	"	12,7	40	
103	"	135,28	86580	" 0,666	115	"	22,1	70	
104	"	113,34	72540	" 0,558	116	"	25,3	80	
105	"	252,28	161460	" 1,242	117	"	28,5	90	
111	"	303,47	194220	" 1,494	7° VARIATIE LUCHTINJEKTIE				
112	"	106,03	67860	" 0,522	124	cc/m ² s	40		$cc = 10^{-6} m^3$
3° VARIATIE BOVENAFVOER					125	"	100		
118	m ³ /s	-0,00580	-1899		126	"	80		
119	"	-0,01159	-3798		127	"	60		
120	"	-0,00217	-712		128	"	20		
121	"	-0,00145	-475		8° VARIATIE KONDITIE ZEE				
122	"	-0,00181	-593		129	CIRKULATIEDEBIET MINIMAAL			
123	"	-0,00869	-2848		131	LUCHT 80 cc/m ² s (ZEE + GOOT)			
153	"	-0,00181	-593	LU. 60cc/m ² s	132	LUCHT 80 cc/m ² s (ZEE)			
154	"	-0,00869	-2848	"	133	DUIKSCHOT VERWUDERD			
					139	GEEN ZOETWATERAFZUIGING			

GEGEVENS REFERENTIEPROEVEN T3 / T3B

KONDITIES	EENH.	MODEL	PROTOTYPE
1° WATERHOOGTE	m	0,216	13,8
2° GOOTLENGTE	"	179,16	114660
3° BOVENAFVOER	m ³ /s	-0,00290	-949
4° GETUVERSCHIL	m	0,0250	1,60
5° ZOUTKONC. ZEE	kg/m ³	30	30
6° RUWHEID GOOT	m ^{1/2} /s	19,0	60
7° LUCHTINJEKTIE	GEEN LUCHT		
8° KONDITIE ZEE	GEEN LUCHT		

SCHAALFAKTOREN

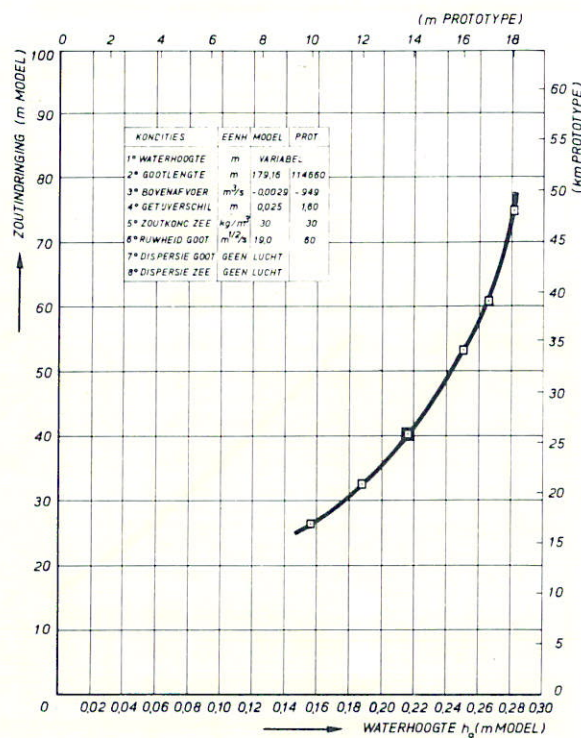
MODEL - PROTOTYPE

HOOGTE: 64
 LENGTE: 640
 SNELHEID: 8
 TJD: 80
 DEBIET: 327680
 ZOUTKONC.: 1
 RUWHEID: $\sqrt{0,1}$
 LUCHTDEBIET: 327680

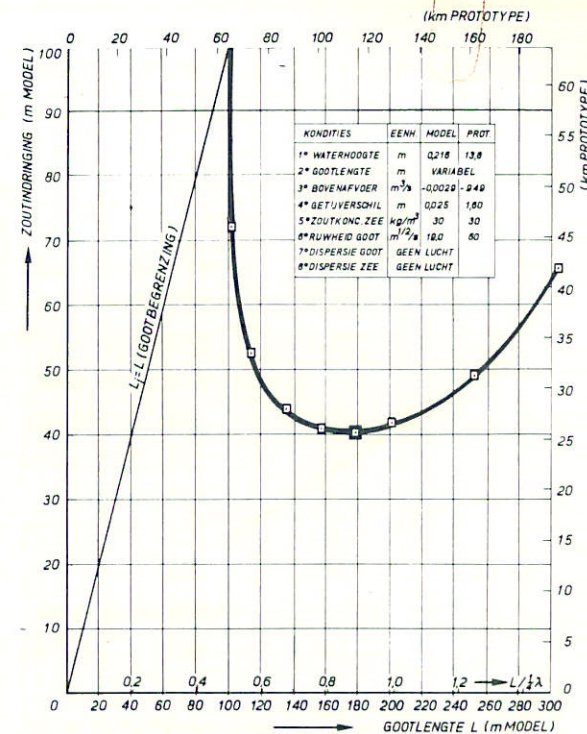
PROEVEN SYSTEMATISCH ONDERZOEK

j.w.

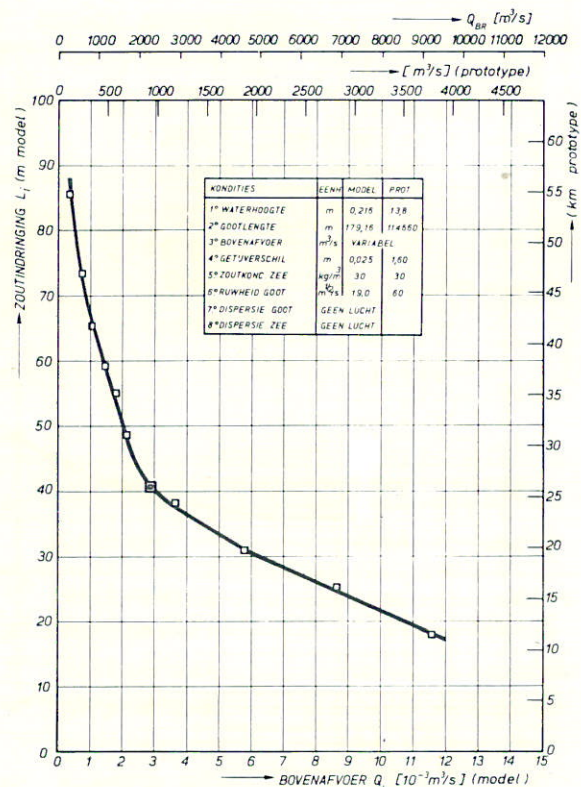
A4



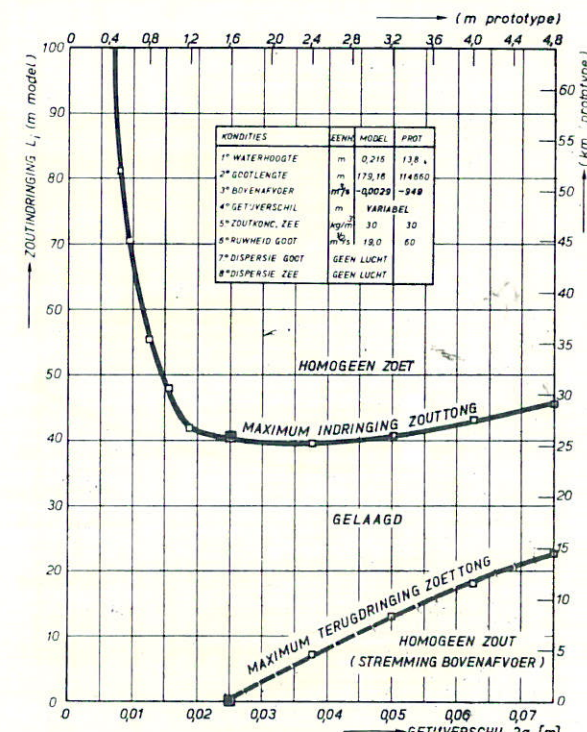
1° VARIATIE WATERHOOGTE



2° VARIATIE GOOTLENGTE



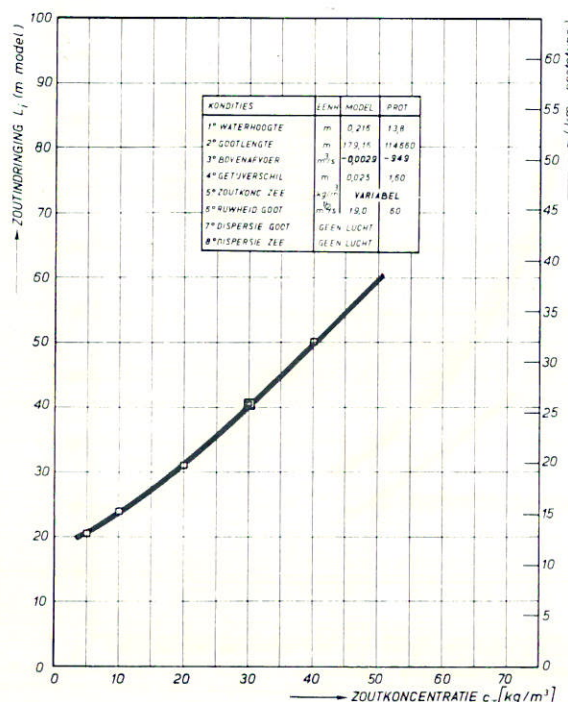
3° VARIATIE BOVENAFVOER



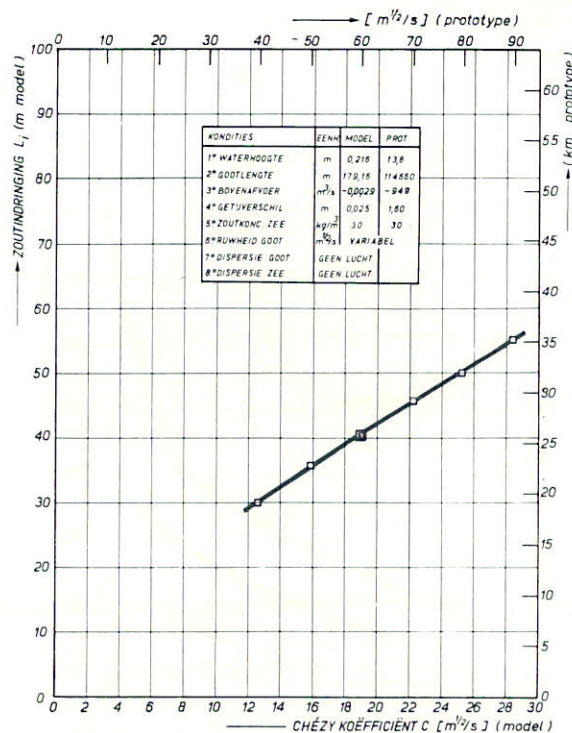
4° VARIATIE GETUVERSCHIL

SYSTEMATISCH ONDERZOEK ZOUTINDRINKING

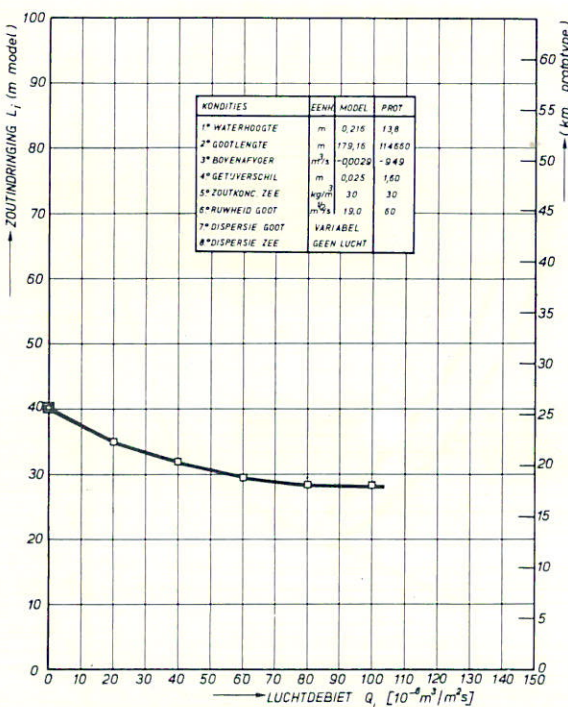
<input type="checkbox"/> MEETRESULTATEN	W
<input checked="" type="checkbox"/> REFERENTIEPROEF	K
ROTTERDAMSE	
WATERWEG	A4



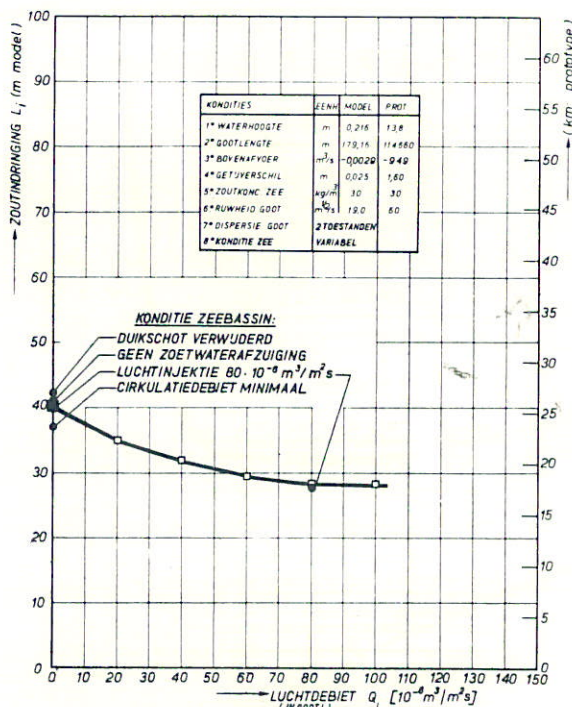
5° VARIATIE ZOUTKONC. ZEE



6° VARIATIE RUWHEID

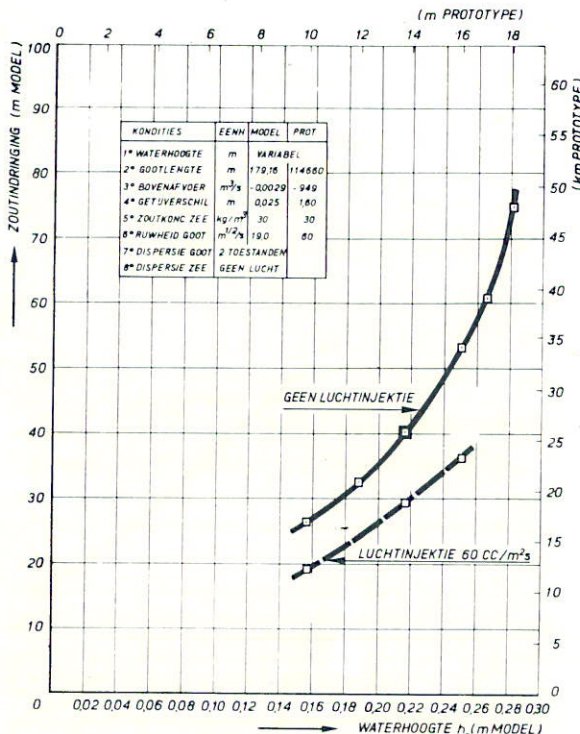


7° VARIATIE LUCHTINJEKTIE

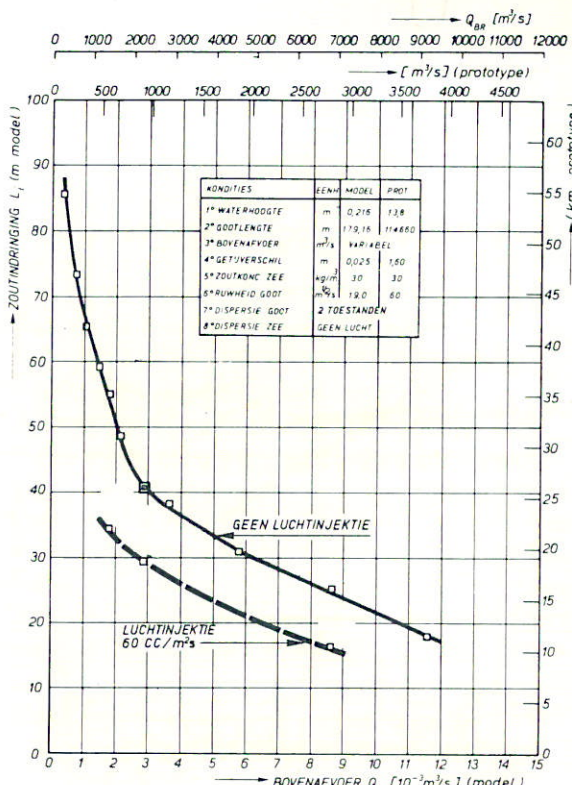


8° VARIATIE KONDITIE ZEE

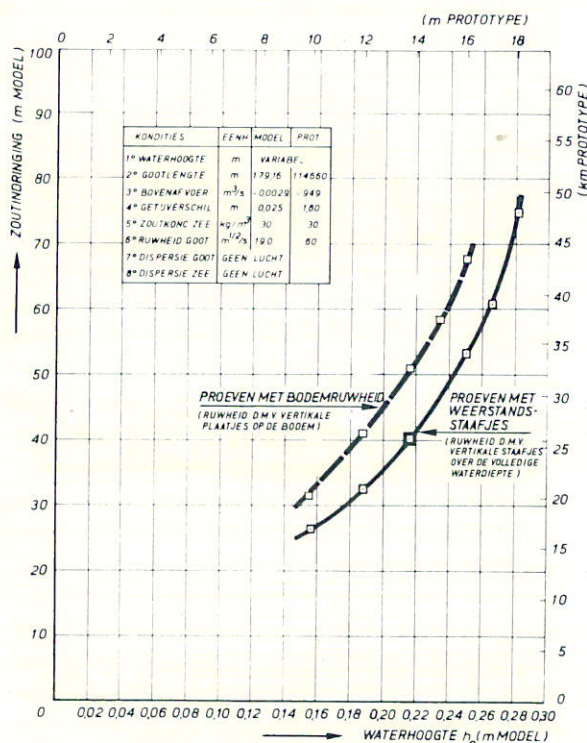
SYSTEMATISCH ONDERZOEK ZOUTINDRINGING



1' INVLOED LUCHTINJEKTIE BJ VAR. h_0

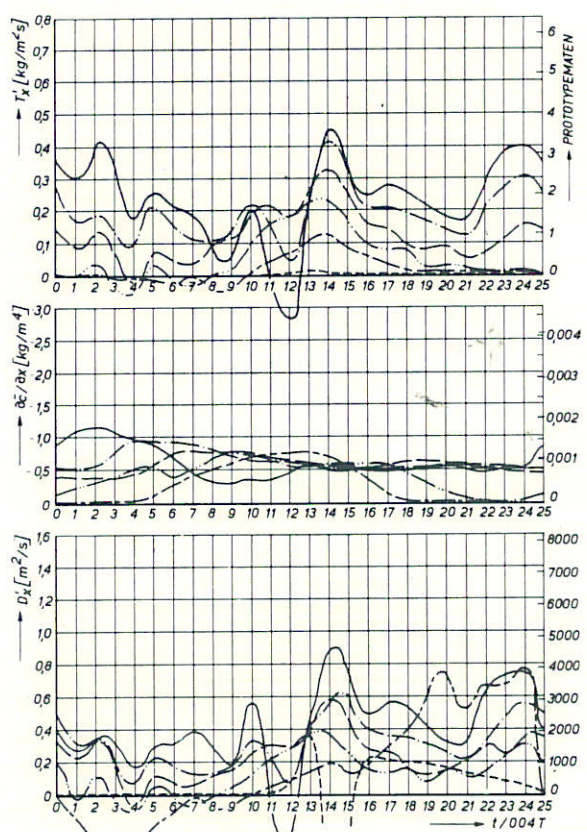
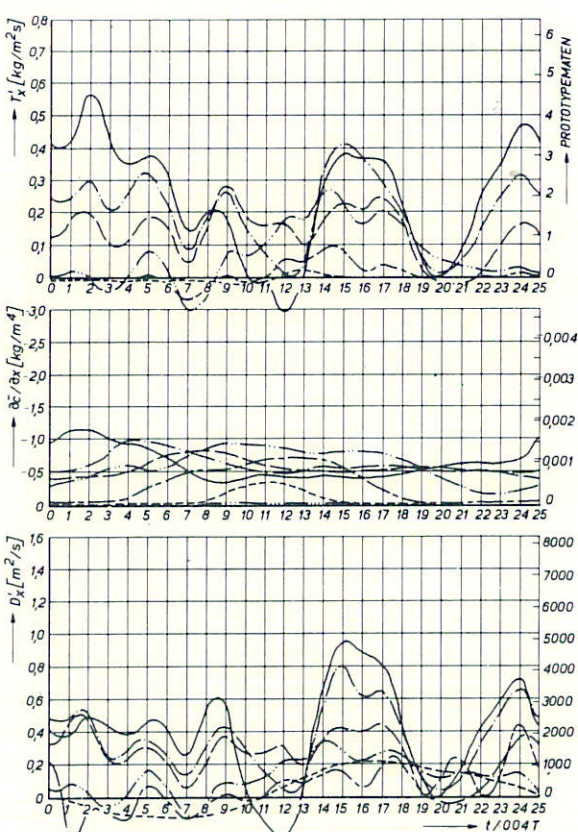
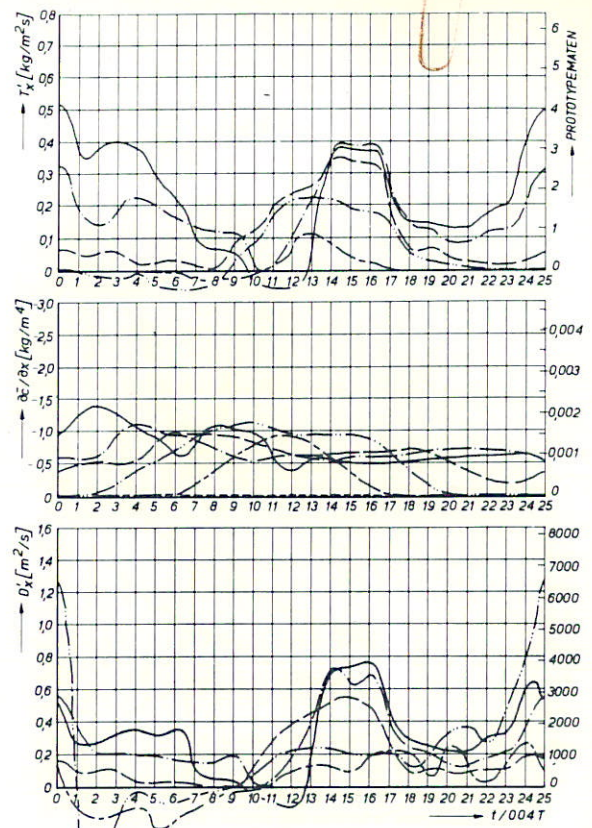
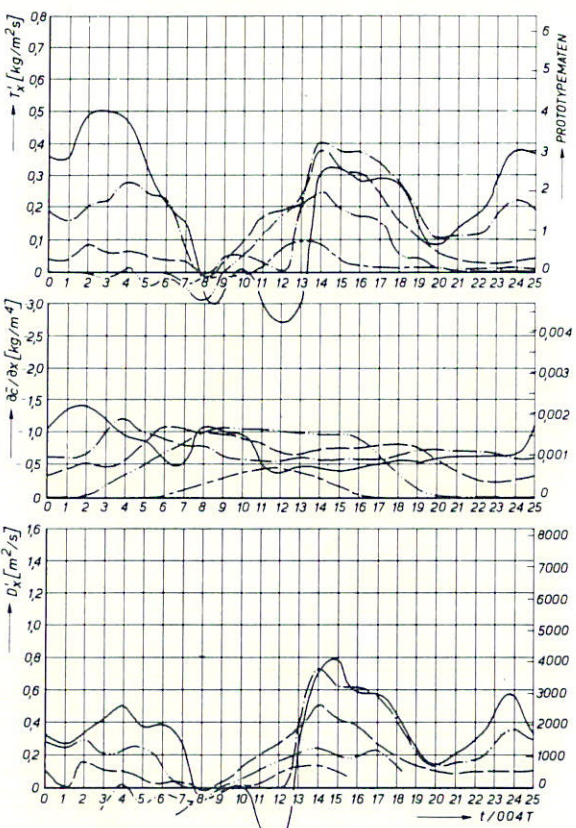


3' INVLOED LUCHTINJEKTIE BJ VAR. Q_L



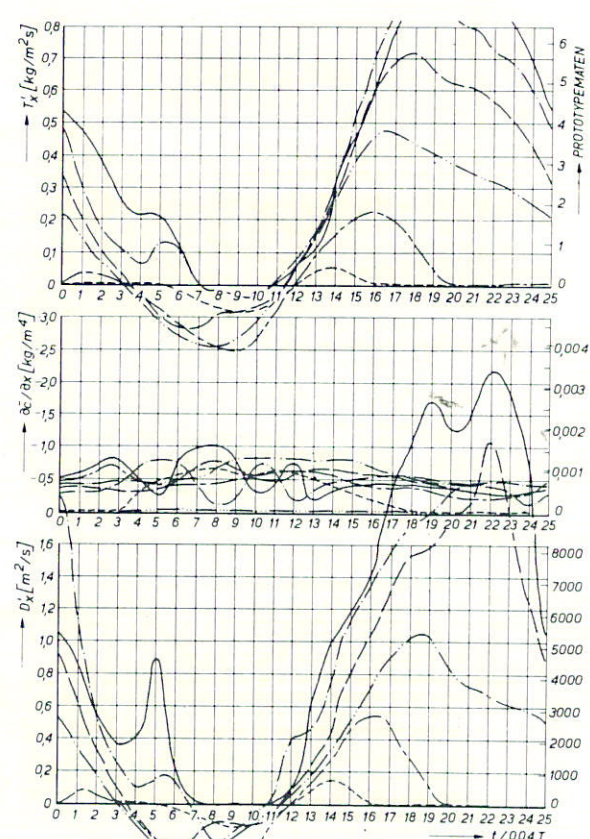
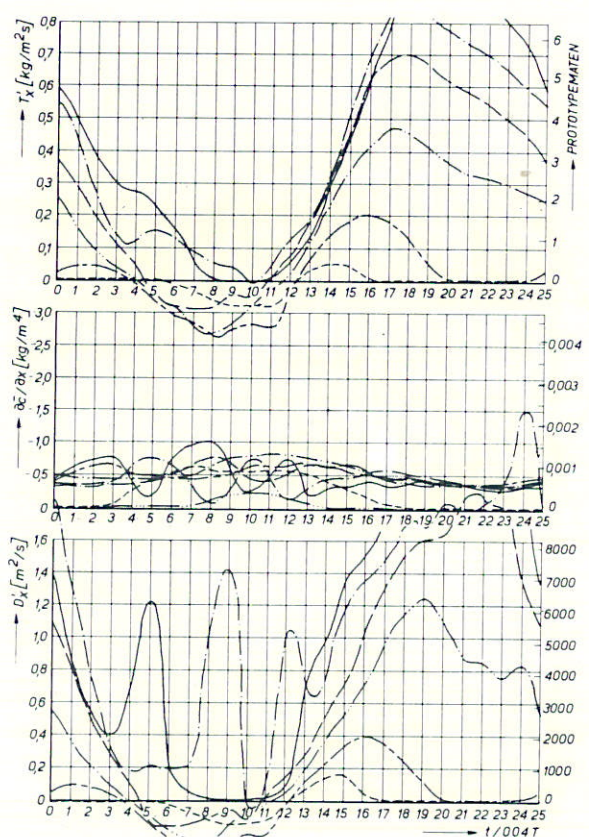
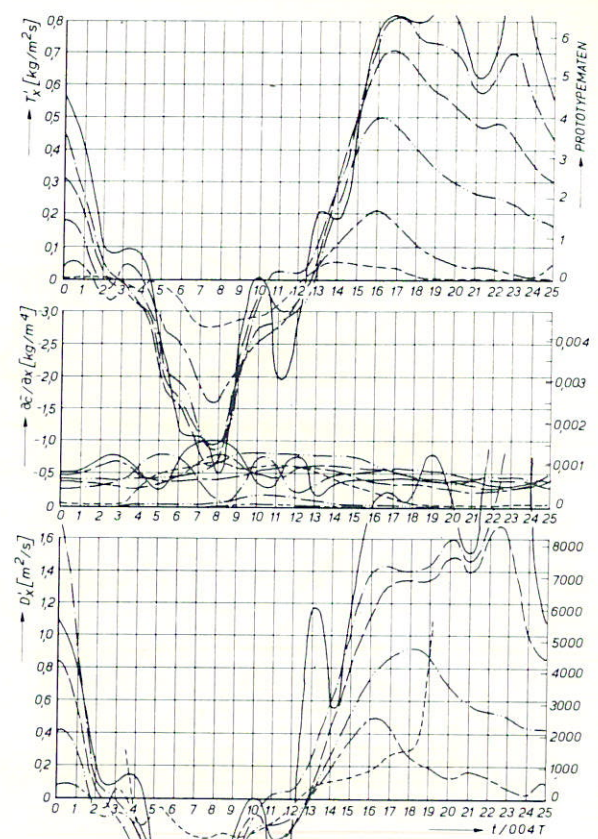
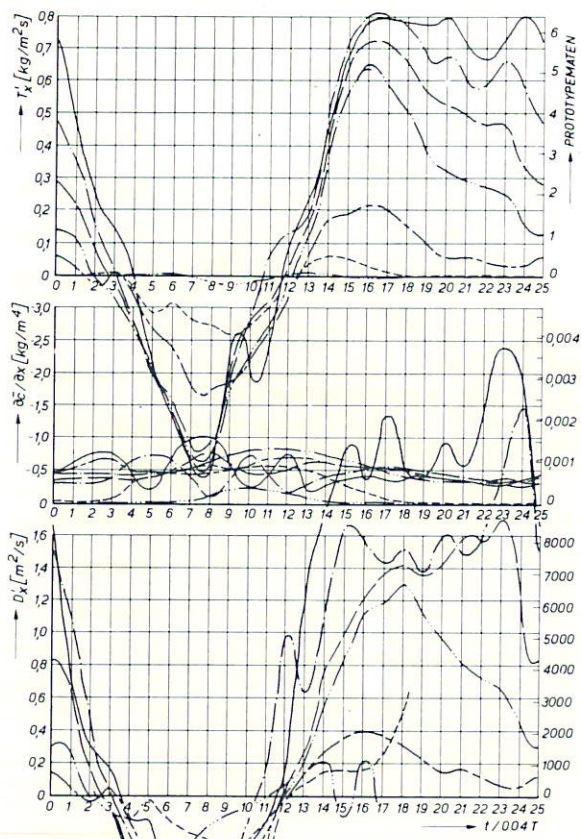
1'' INVLOED TYPE RUWHEID BJ VAR. h_0

SYSTEMATISCH ONDERZOEK ZOUTINDRINKING



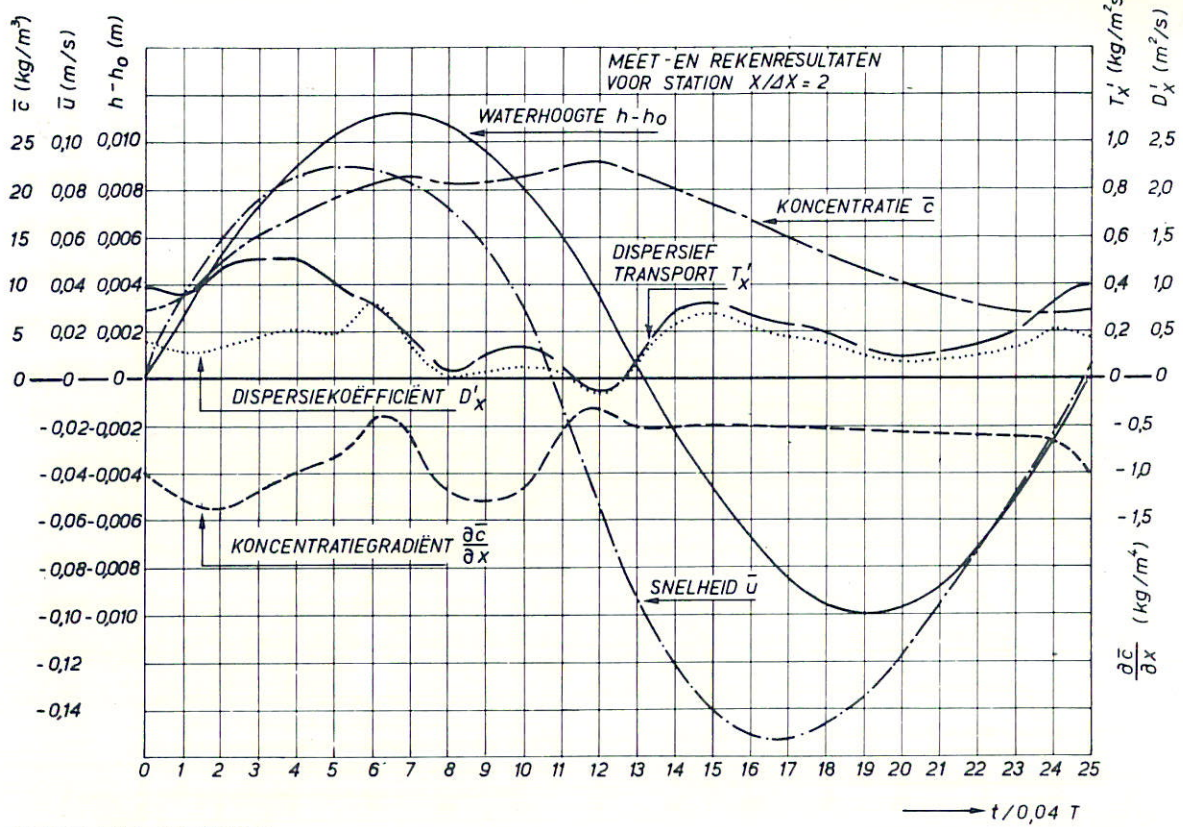
VERIFIKATIE REPRODUCERBAARHEID DISPERSIE

$\equiv \cdots \equiv$	$X/\Delta X = 2, 4, 6$	W
$\equiv \cdots \cdots \equiv$	$X/\Delta X = 8, 10, 12$	K
$\equiv \cdots \cdots \cdots \equiv$	$X/\Delta X = 14, 16$	A_4

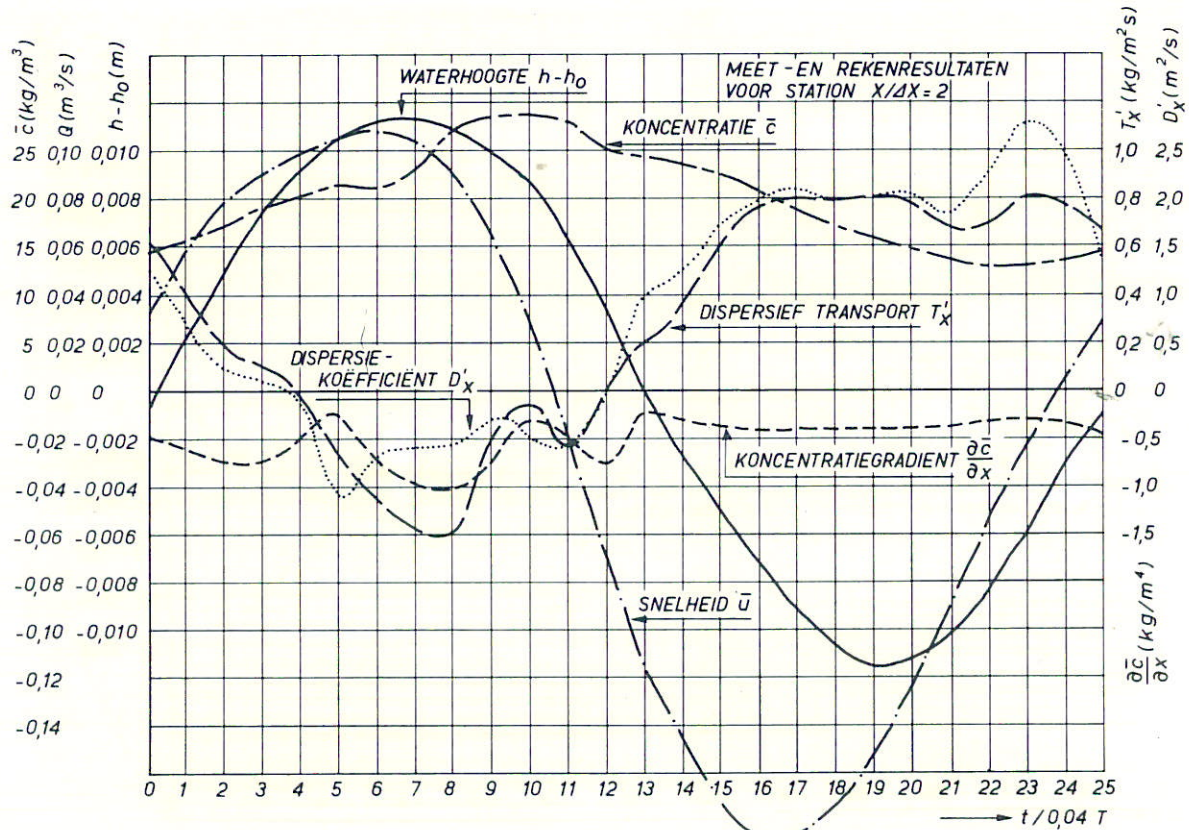


VERIFIKATIE REPRODUCERBAARHEID DISPERSIE

$\rule{0pt}{1.2em}\rule{0pt}{1.2em}$	$X/\Delta X = 2, 4, 6$	W
$\rule{0pt}{1.2em}\rule{0pt}{1.2em}$	$X/\Delta X = 8, 10, 12$	K
$\rule{0pt}{1.2em}\rule{0pt}{1.2em}$	$X/\Delta X = 14, 16$	A_4



PROEVEN T3/T3B

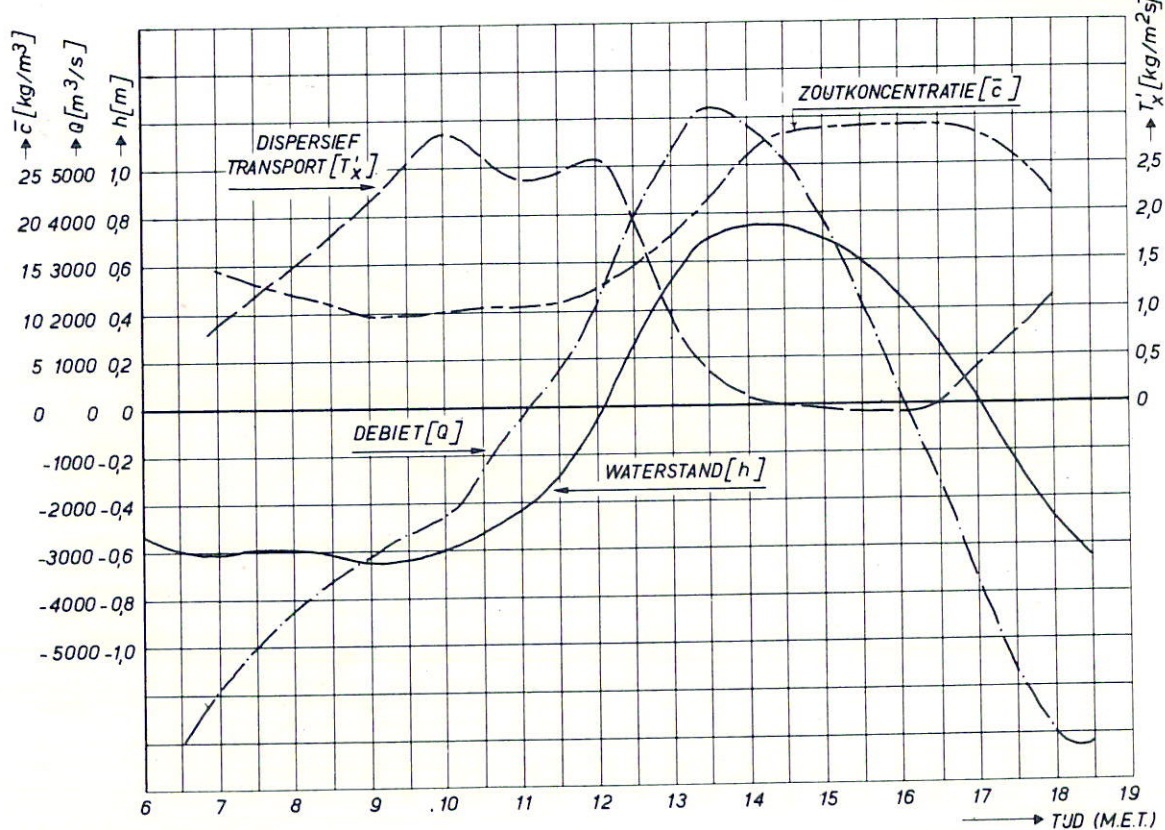


PROEVEN T 145 / T 146

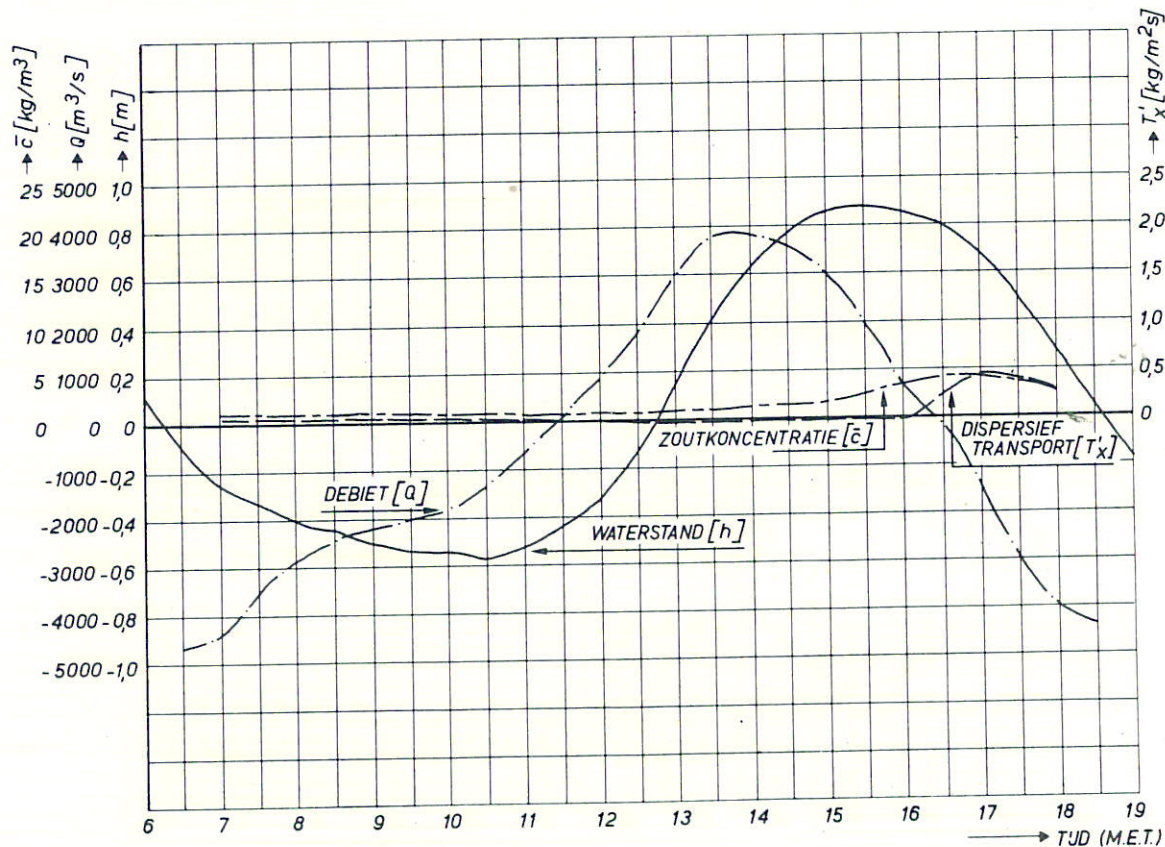
KARAKTERISTIEKE RESULTATEN GET'JGOOTONDERZOEK

W
K

A 4



DWARSPROFIEL kmr. 1030



DWARSPROFIEL kmr. 1013

DISPERSIEGEGEVENS ROTTERDAMSE WATERWEG

DWARSPROFIEL ZIE FIG. 1

W
K

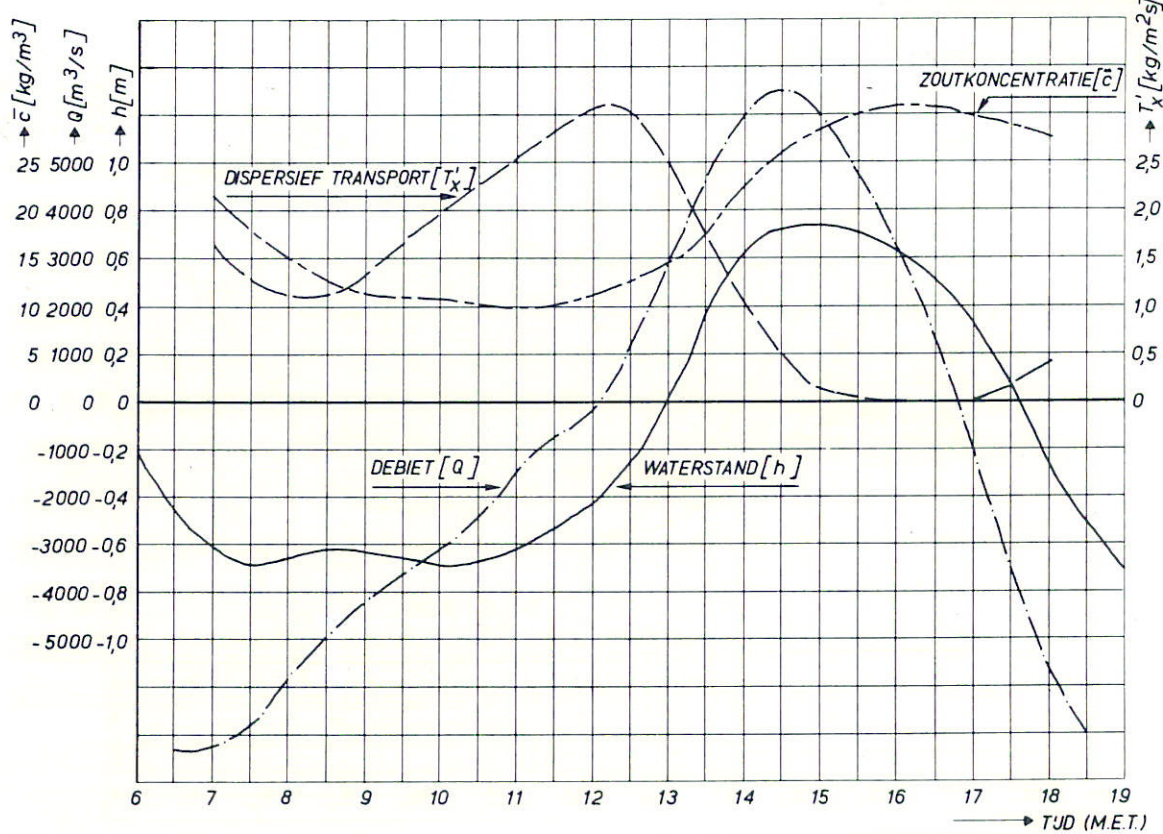
METING 21 JUNI 1956

A 4

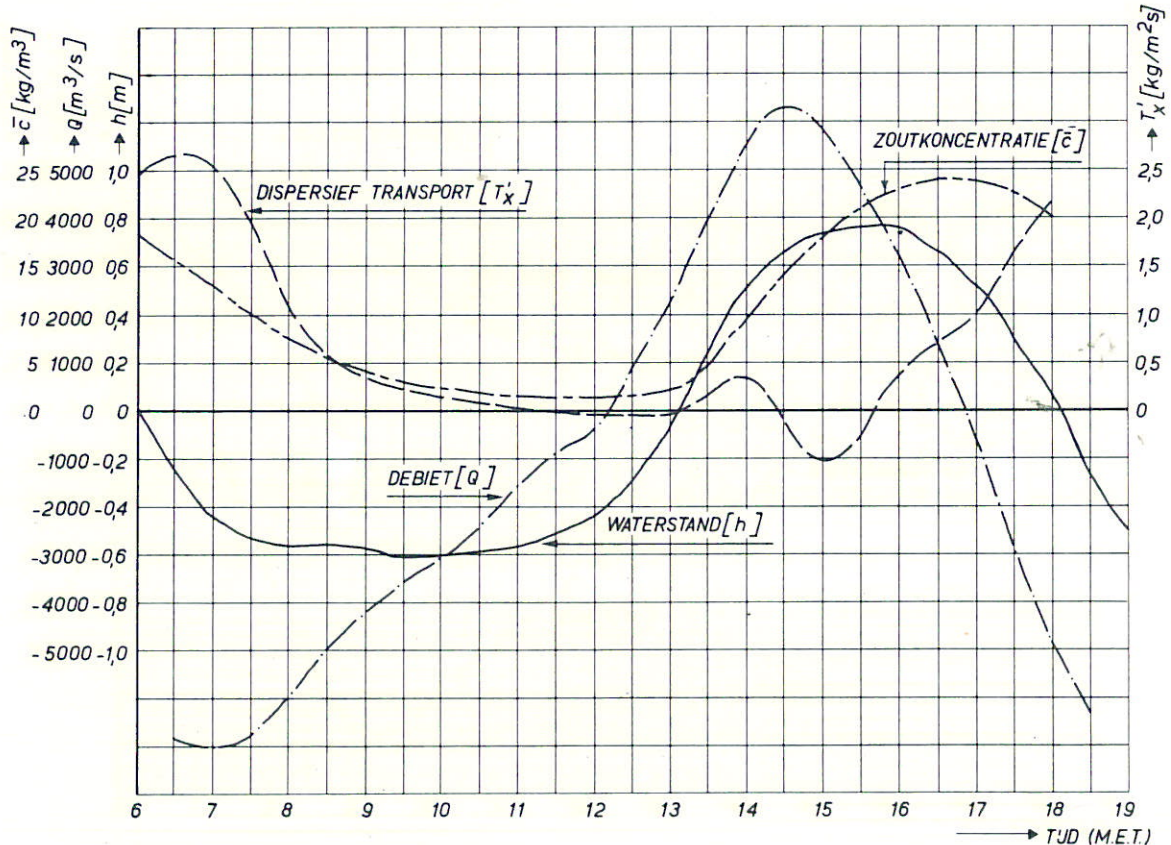
WATERLOOPKUNDIG LABORATORIUM

M. 896- 2059

FIG. 11



DWARS profiel kmr. 1030



DWARS profiel kmr. 1023,5

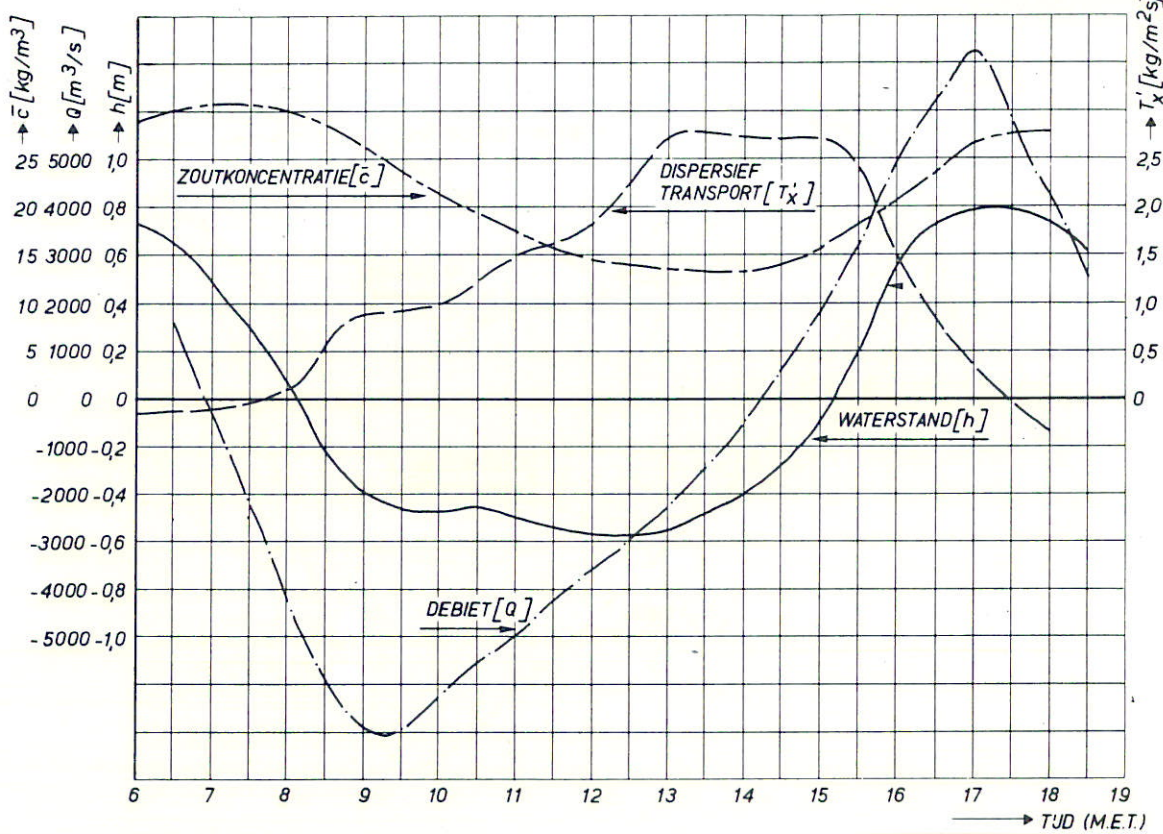
DISPERSIEGEVEVENS ROTTERDAMSE WATERWEG

DWARS profiel zie fig. 1

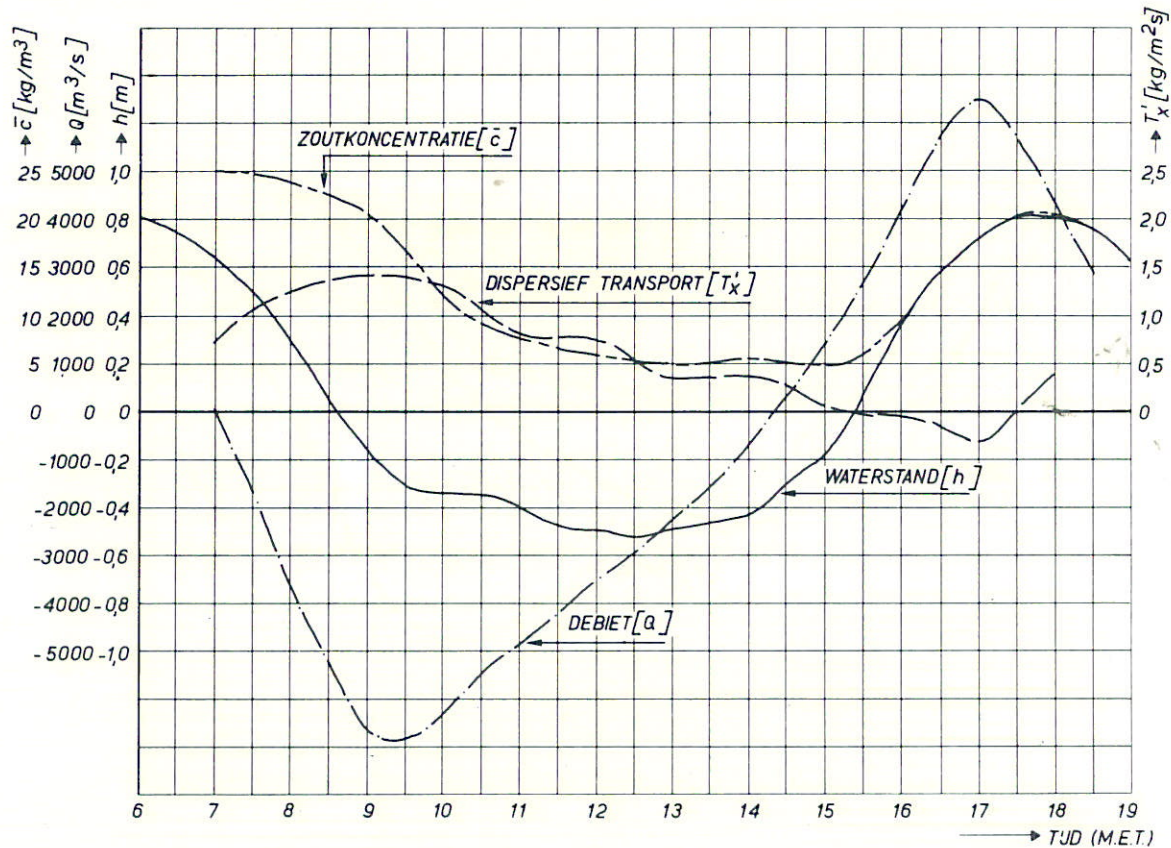
W
K

METING 22 JUNI 1956

A 4



DWARSPROFIEL kmr 1030



DWARSPROFIEL kmr 1023,5

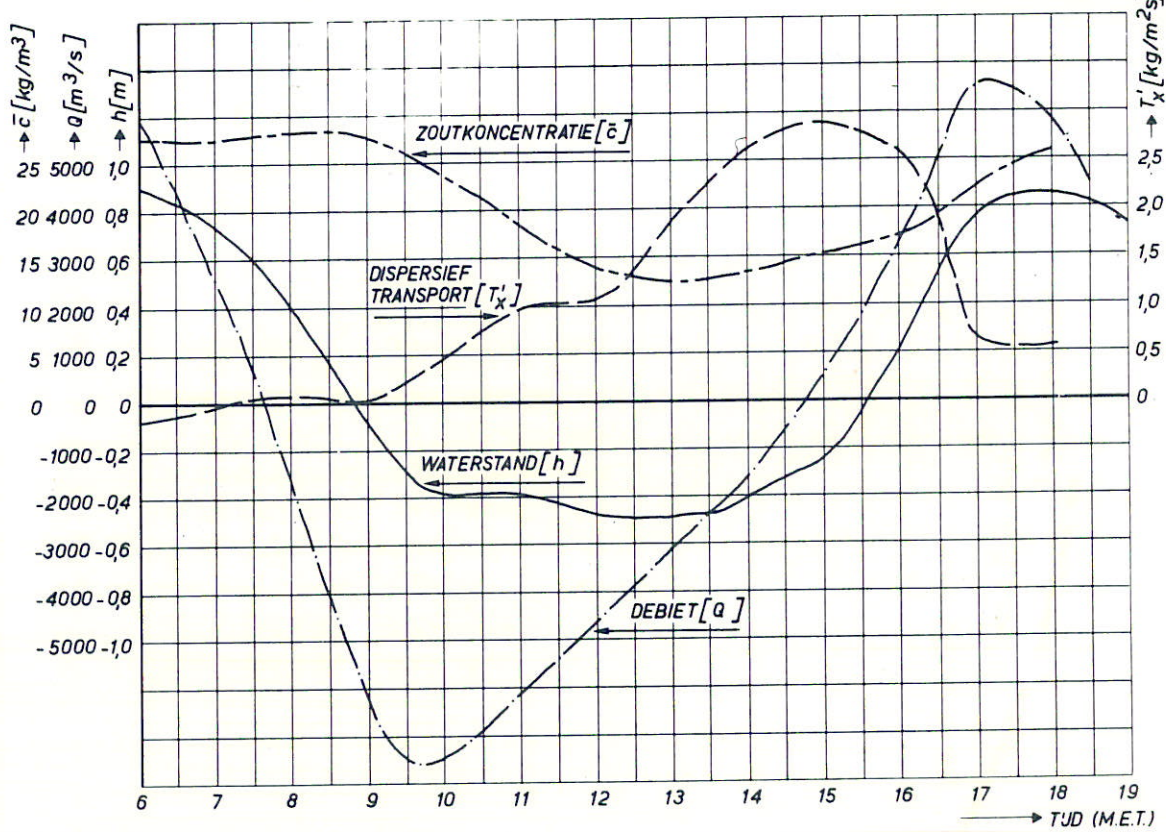
DISPERSIEGEGEVENS ROTTERDAMSE WATERWEG

DWARSPROFIEL ZIE FIG. 1

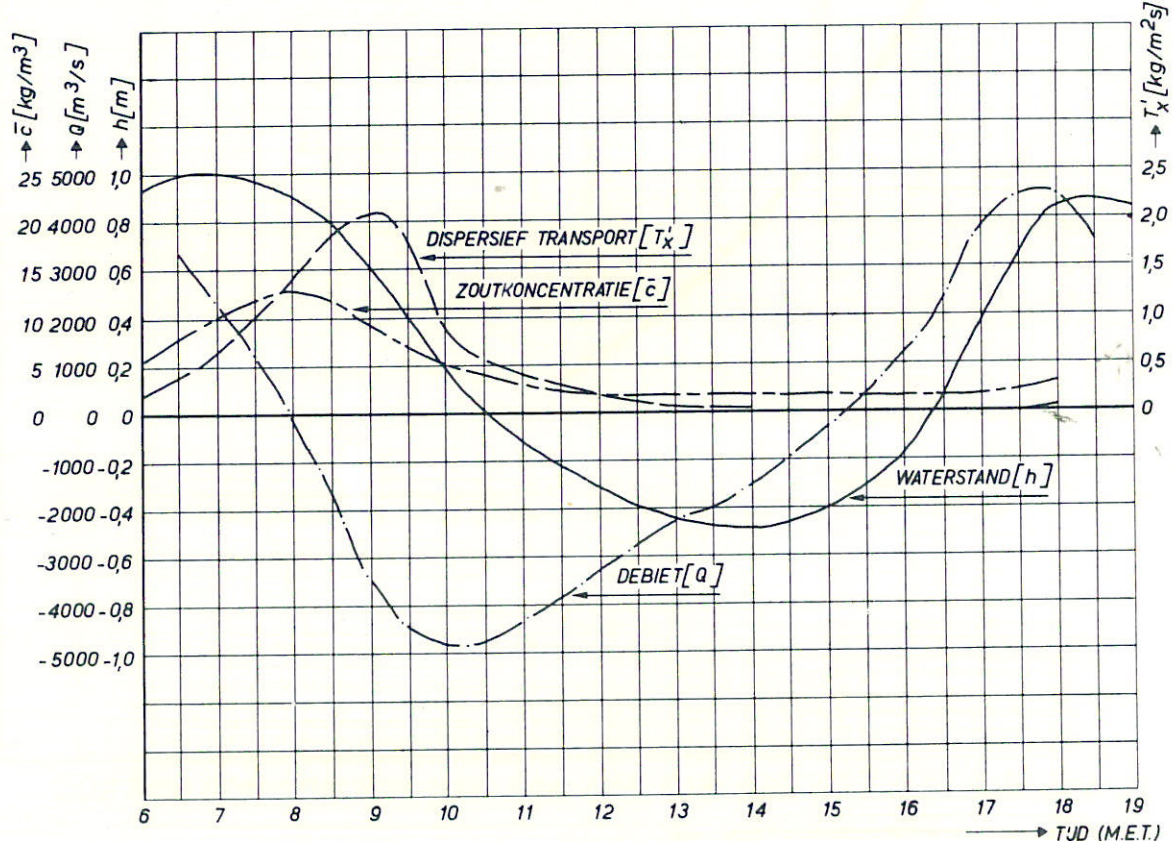
W
K

METING 26 JUNI 1956

A 4



DWARS profiel kmr. 1030



DWARS profiel kmr. 1013

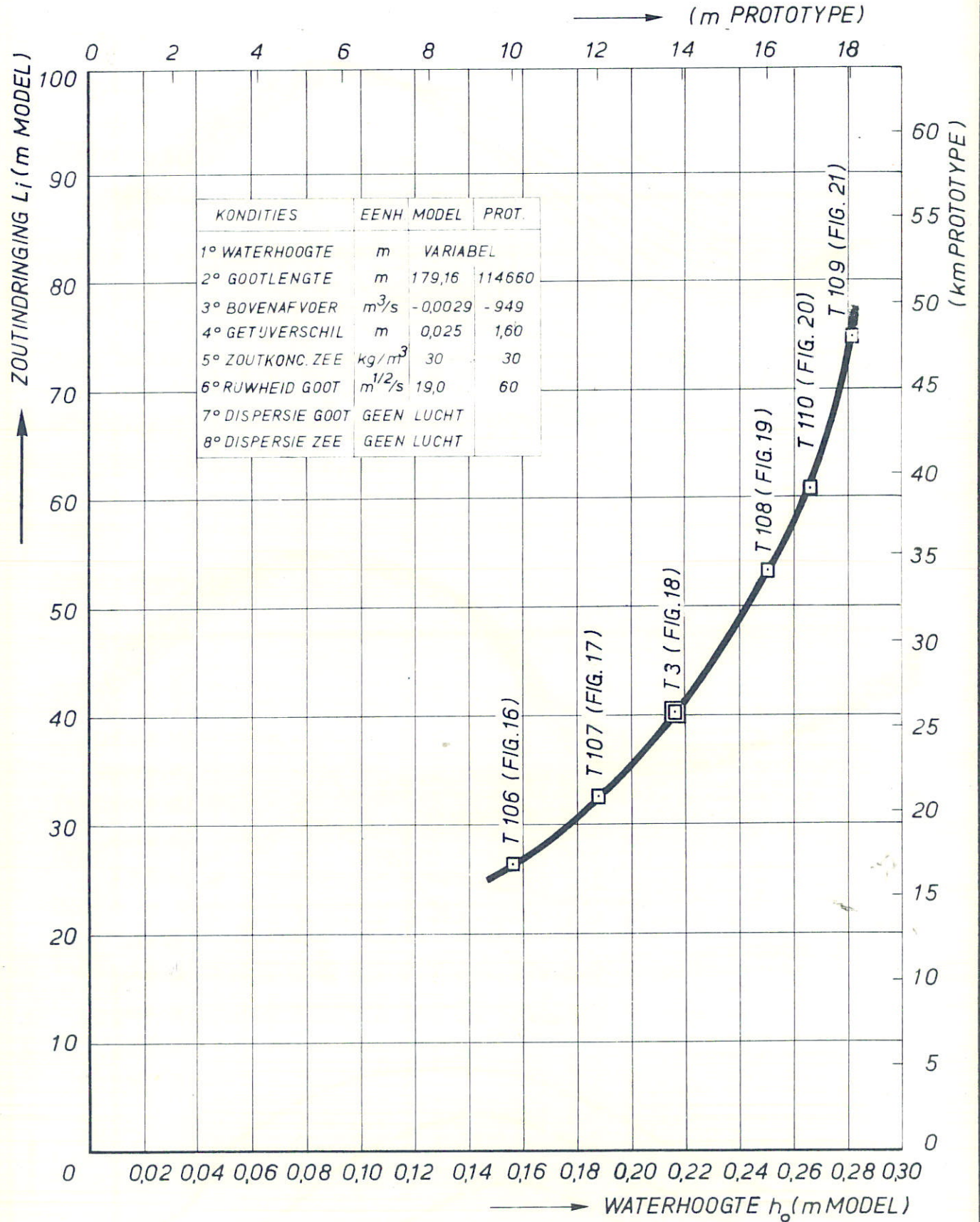
DISPERSIEGEGEVENS ROTTERDAMSE WATERWEG

DWARS profiel zie fig. 1

W
K

METING 27 JUNI 1956

A 4



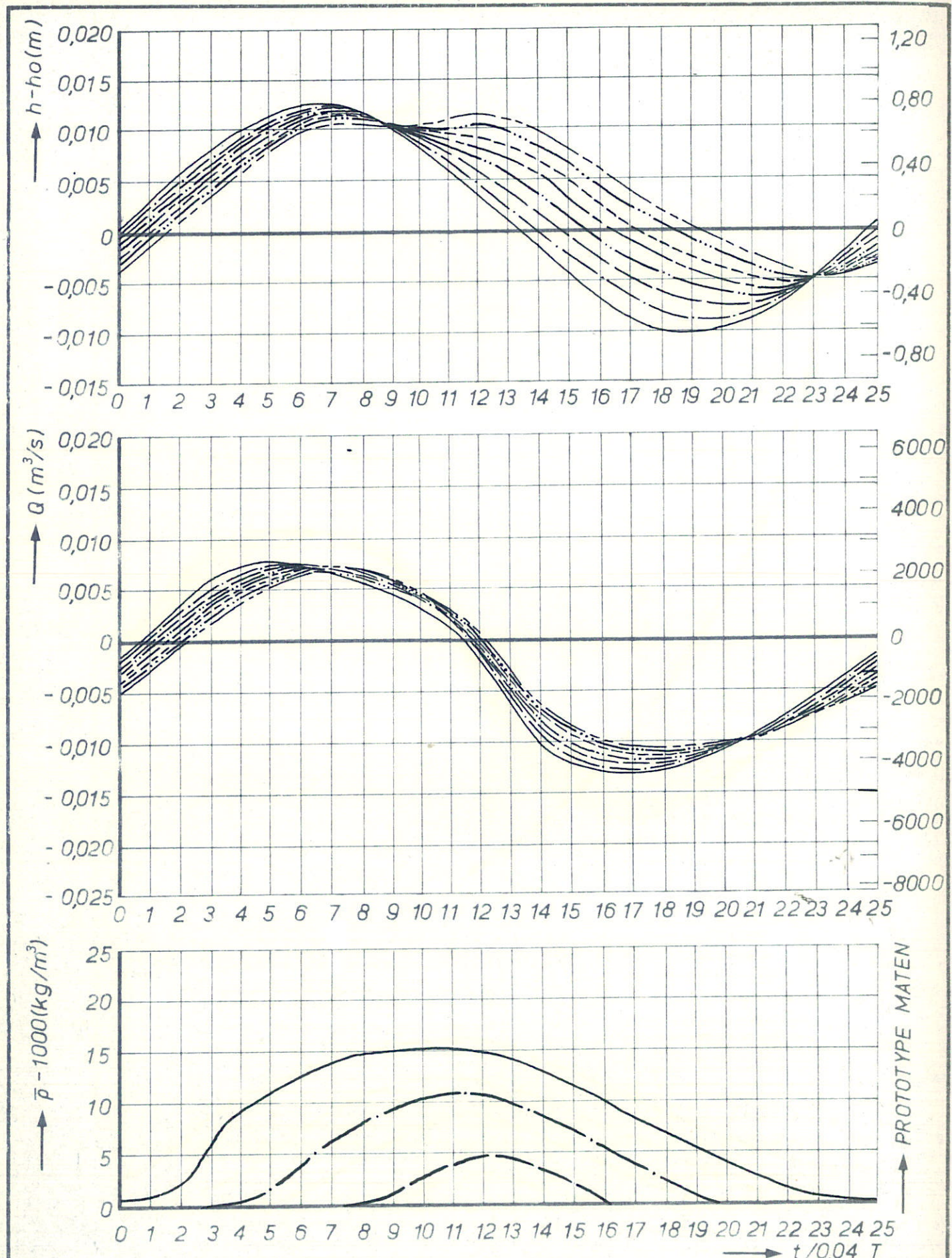
ZOUTINDRINGING BIJ VARIATIE WATERHOOGTE

MEETRESULTATEN

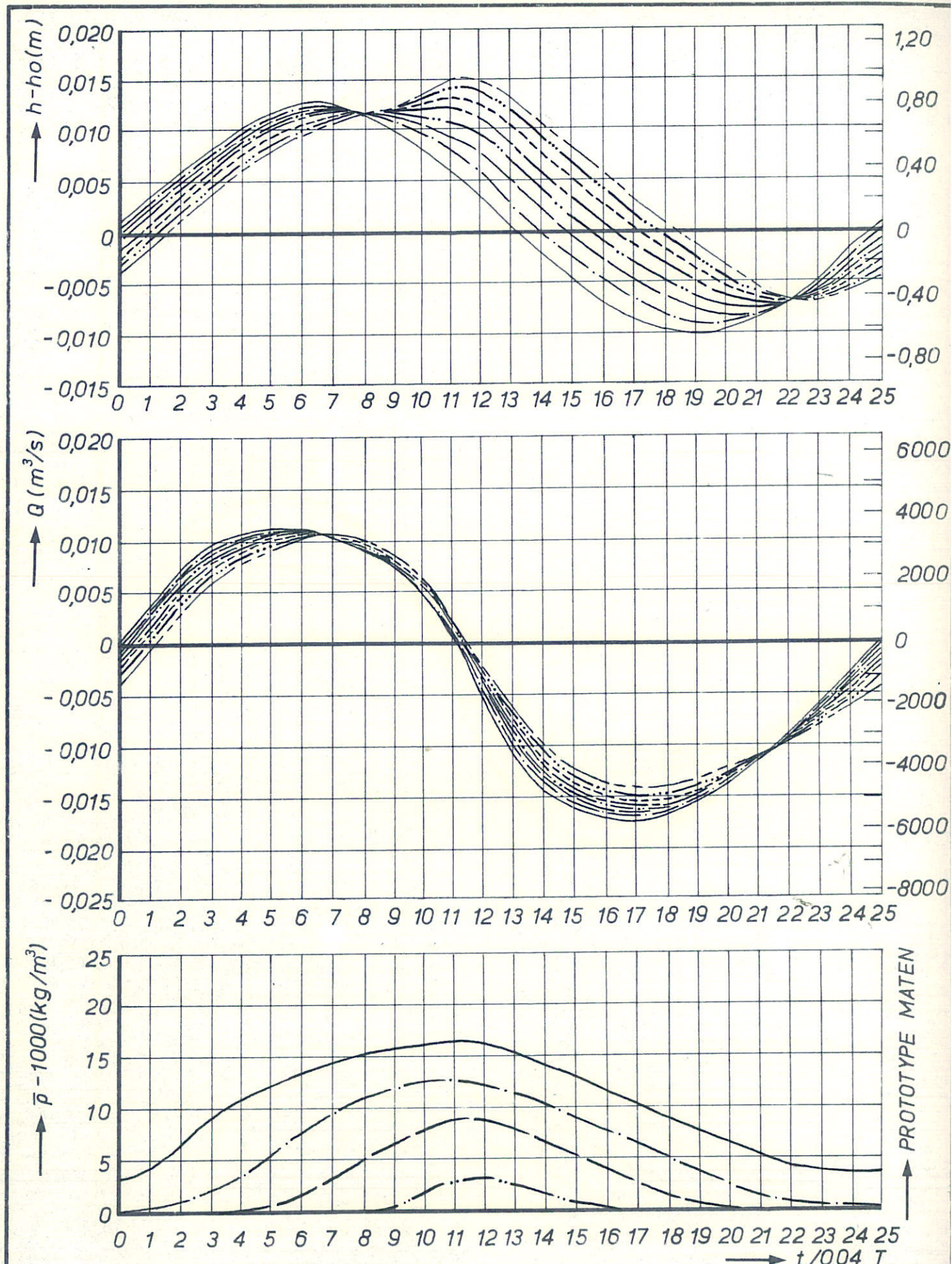
P

REFERENTIE PROEF
ROTTERD. WATERWEG

A4

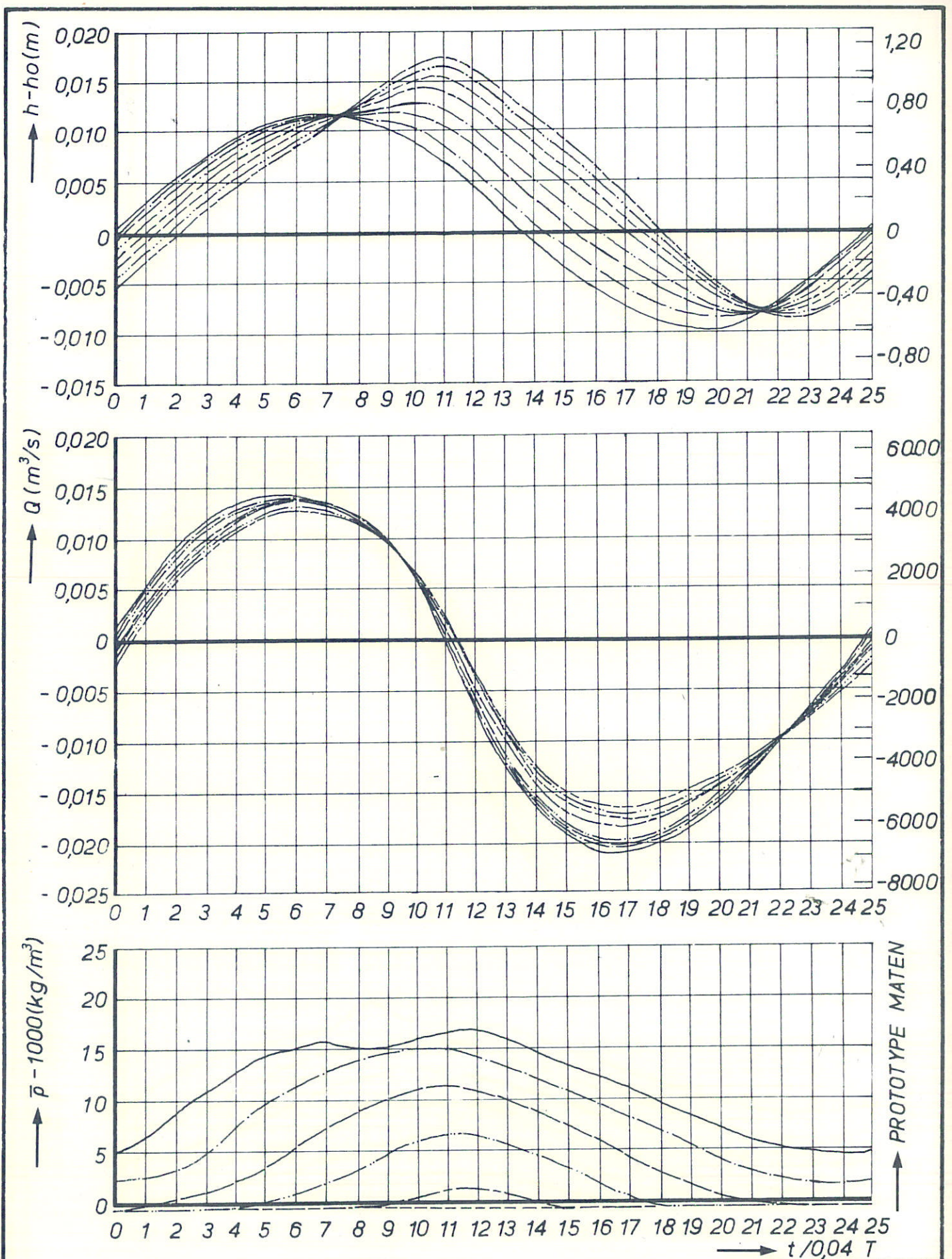


ONDERZOEK VARIATIE WATERHOOGTE
PROEF T 106 ($h_0 = 10 m$ PROTOTYPE)



ONDERZOEK VARIATIE WATERHOOGTE
PROEF T 107 ($h_0 = 12 \text{ m}$ PROTOTYPE)

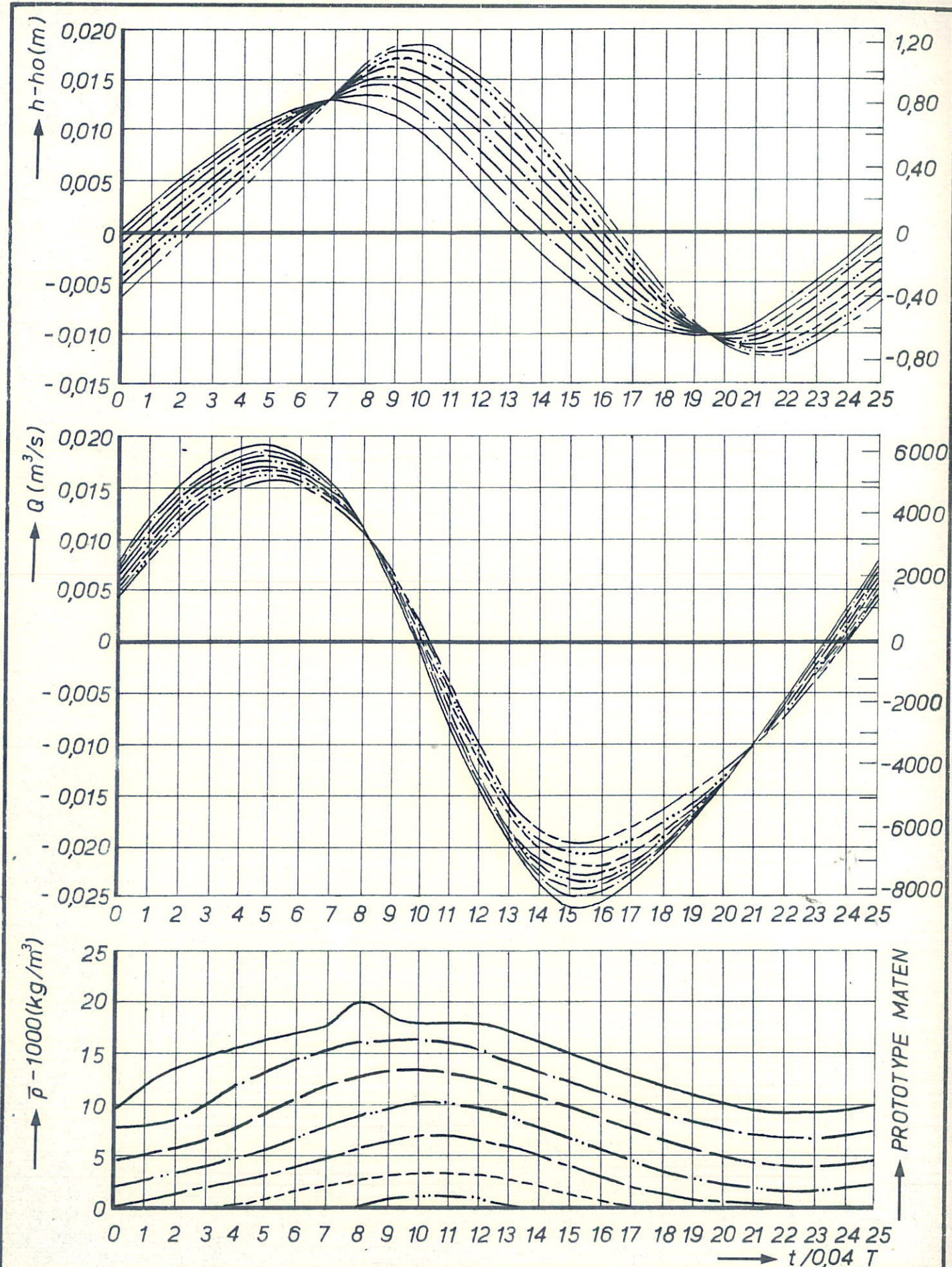
$X/\Delta X = 2, 4, 6$	WK
$X/\Delta X = 8, 10, 12$	
$X/\Delta X = 14, 16$	A4



ONDERZOEK VARIATIE WATERHOOGTE
PROEF T3 ($h_0 = 13,8 \text{ m}$ PROTOTYPE)

$X/\Delta X = 2, 4, 5,$
 $X/\Delta X = 8, 10, 12,$
 $X/\Delta X = 14, 16.$

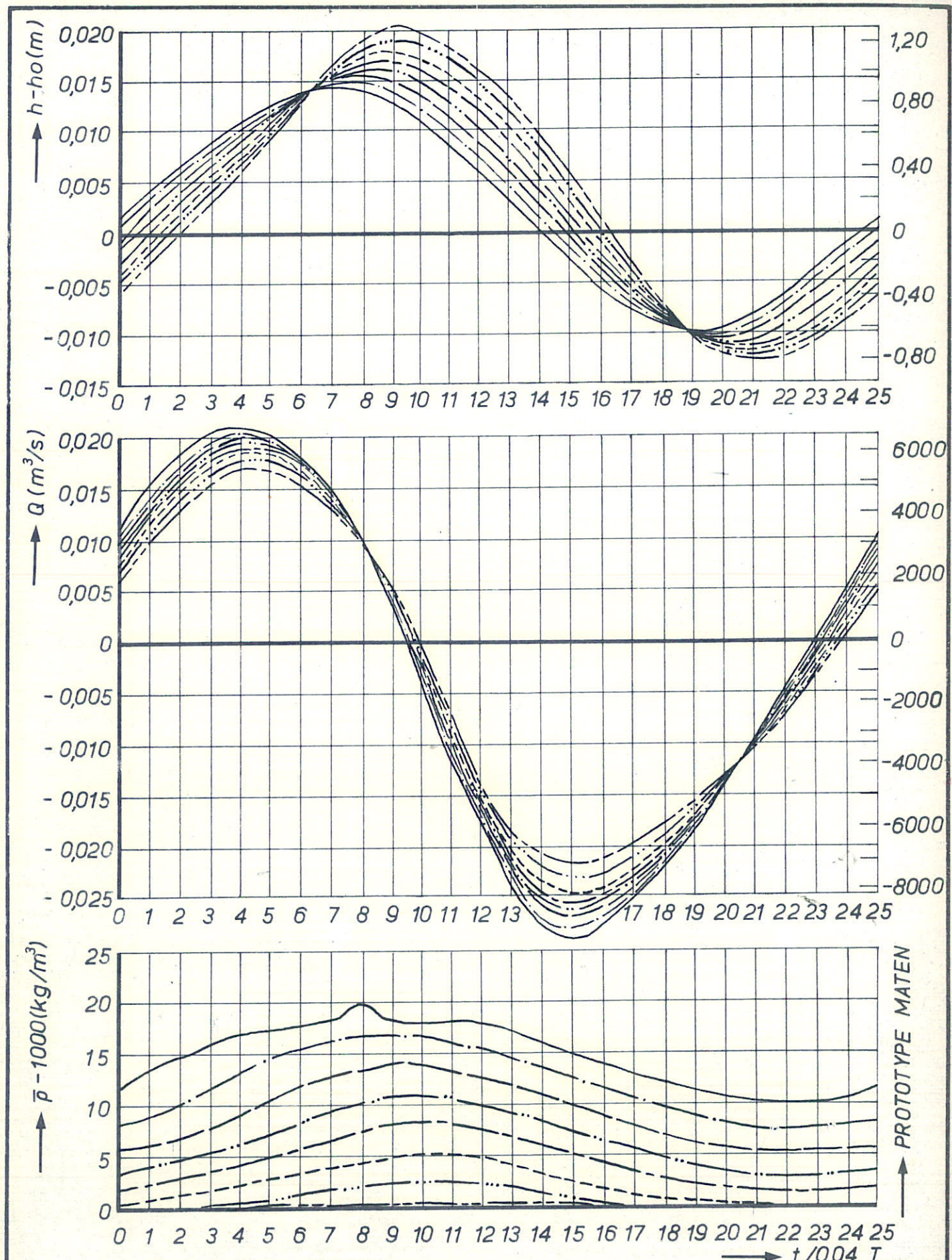
WK
A4



ONDERZOEK VARIATIE WATERHOOGTE
PROEFT 108 ($h_0 = 16$ m PROTOTYPE)

$X/\Delta X = 2, 4, 6$,
 $X/\Delta X = 8, 10, 12$,
 $X/\Delta X = 14, 16$.

WK
A4

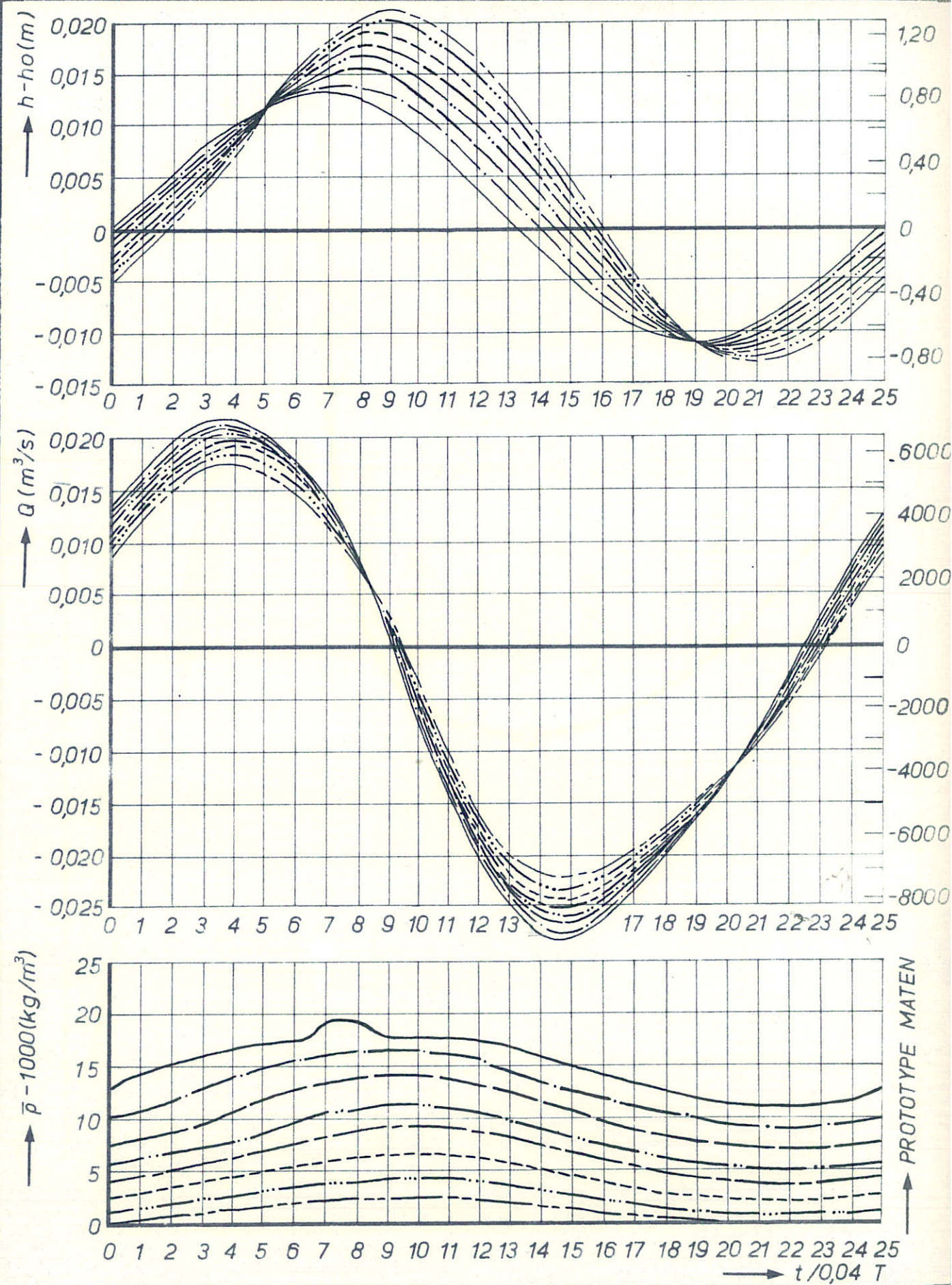


ONDERZOEK VARIATIE WATERHOOGTE PROEF T110 ($h_0 = 17 \text{ m}$ PROTOTYPE)

$$\begin{array}{l} \text{--- --- } X/\Delta X = 2, 4, 6, \\ \text{--- --- } X/\Delta X = 8, 10, 12, \\ \text{--- --- } X/\Delta X = 14, 16. \end{array}$$

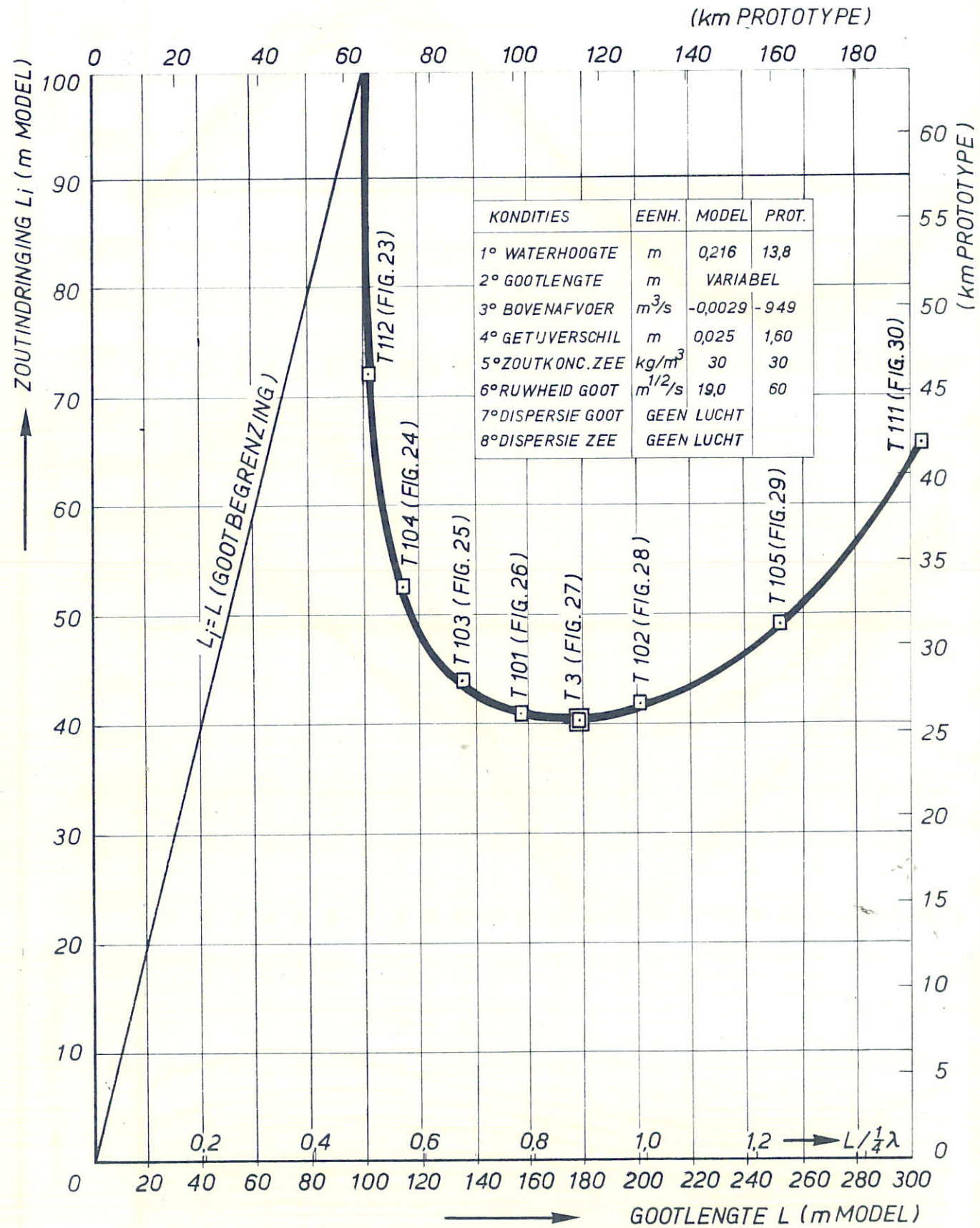
WK

A4

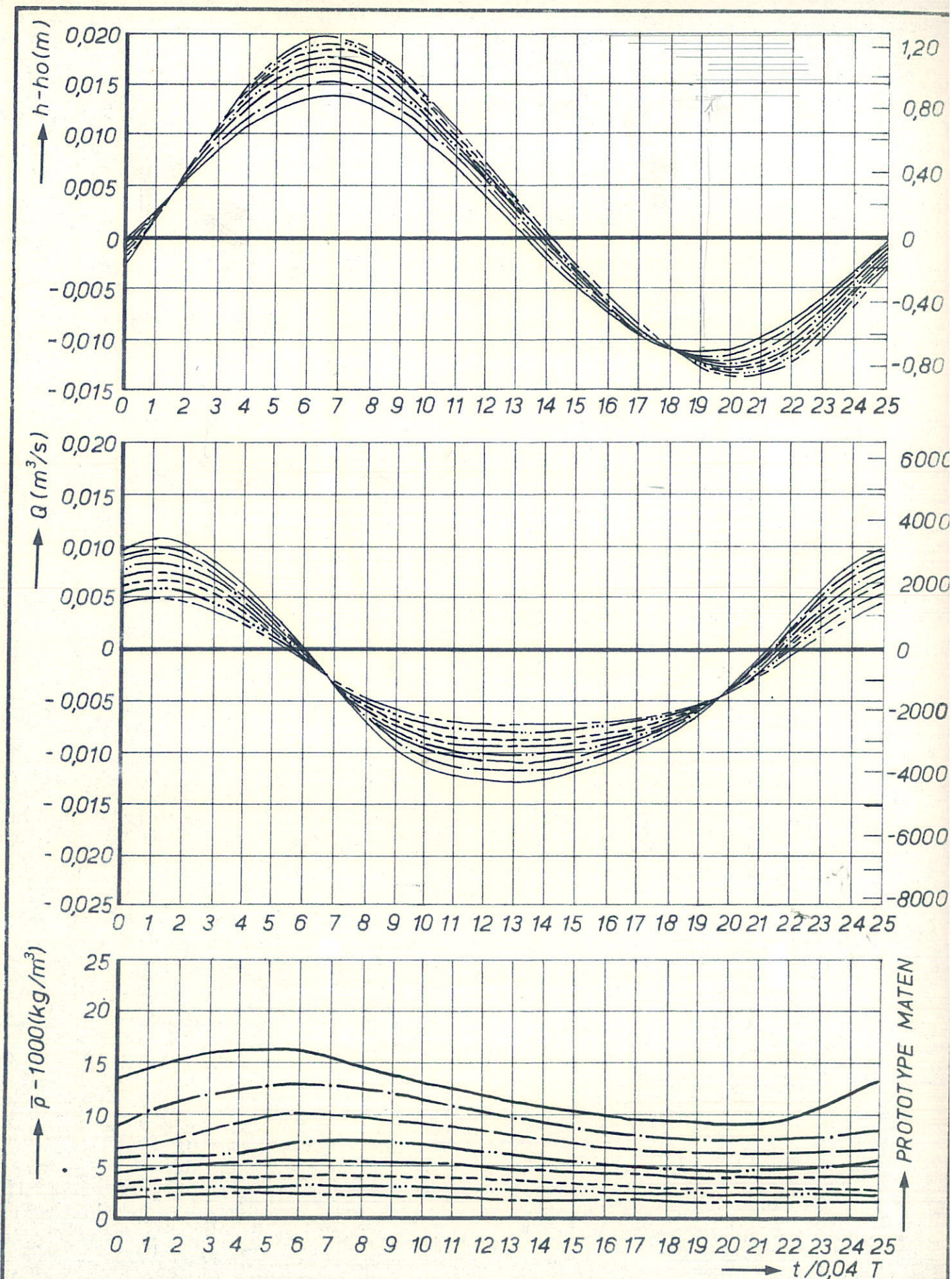


ONDERZOEK VARIATIE WATERHOOGTE
PROEF T 109 ($h_0 = 18 m$ PROTOTYPE)

$X/X_0 = 2, 4, 6$	WK
$X/X_0 = 8, 10, 12$	
$X/X_0 = 14, 16$	A4



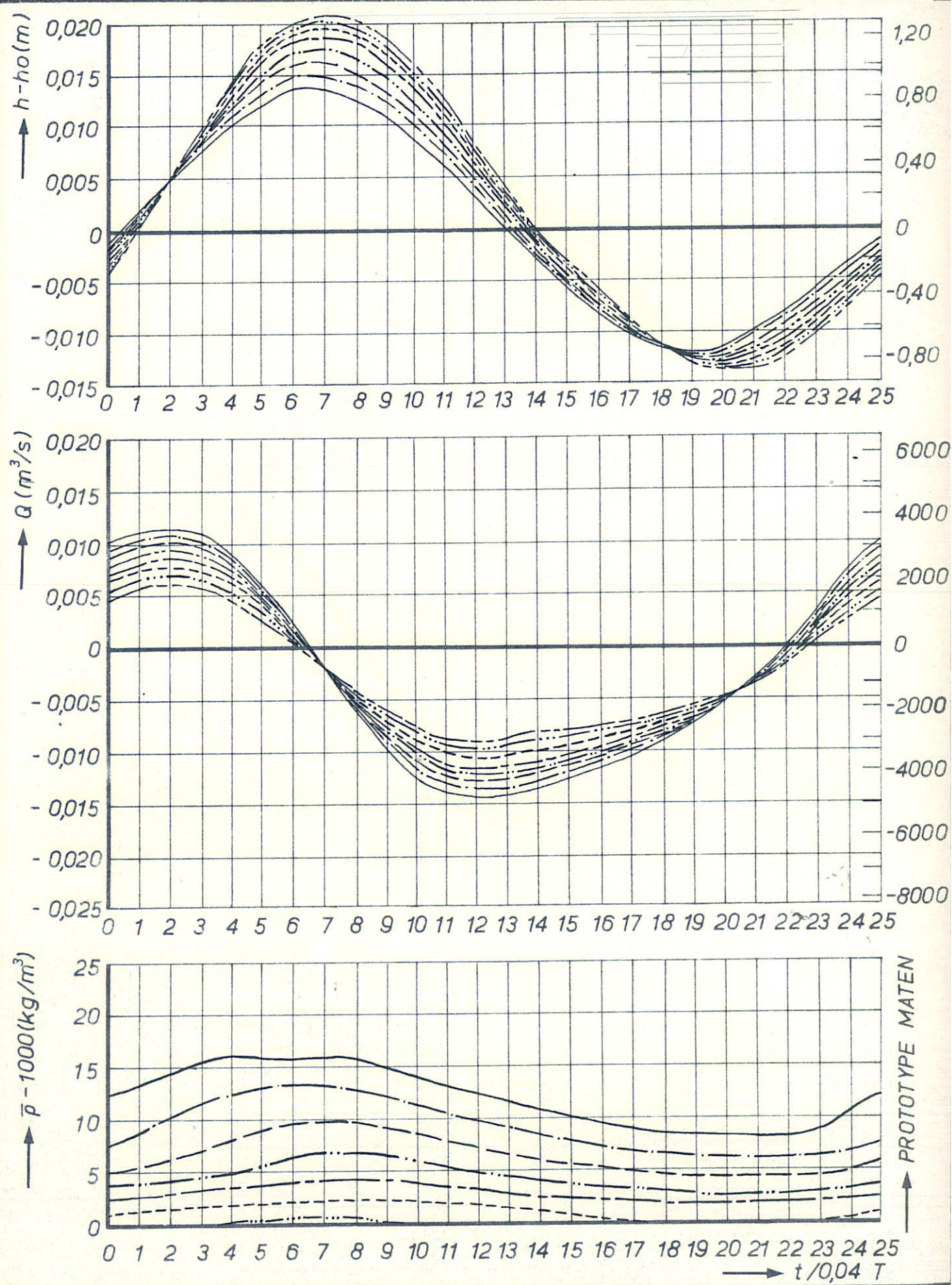
ZOUTINDRINGING BIJ VARIATIE GOOTLENGTE



ONDERZOEK VARIATIE GOOTLENGTE
PROEF T112 ($L/1/4\lambda = 0,522$)

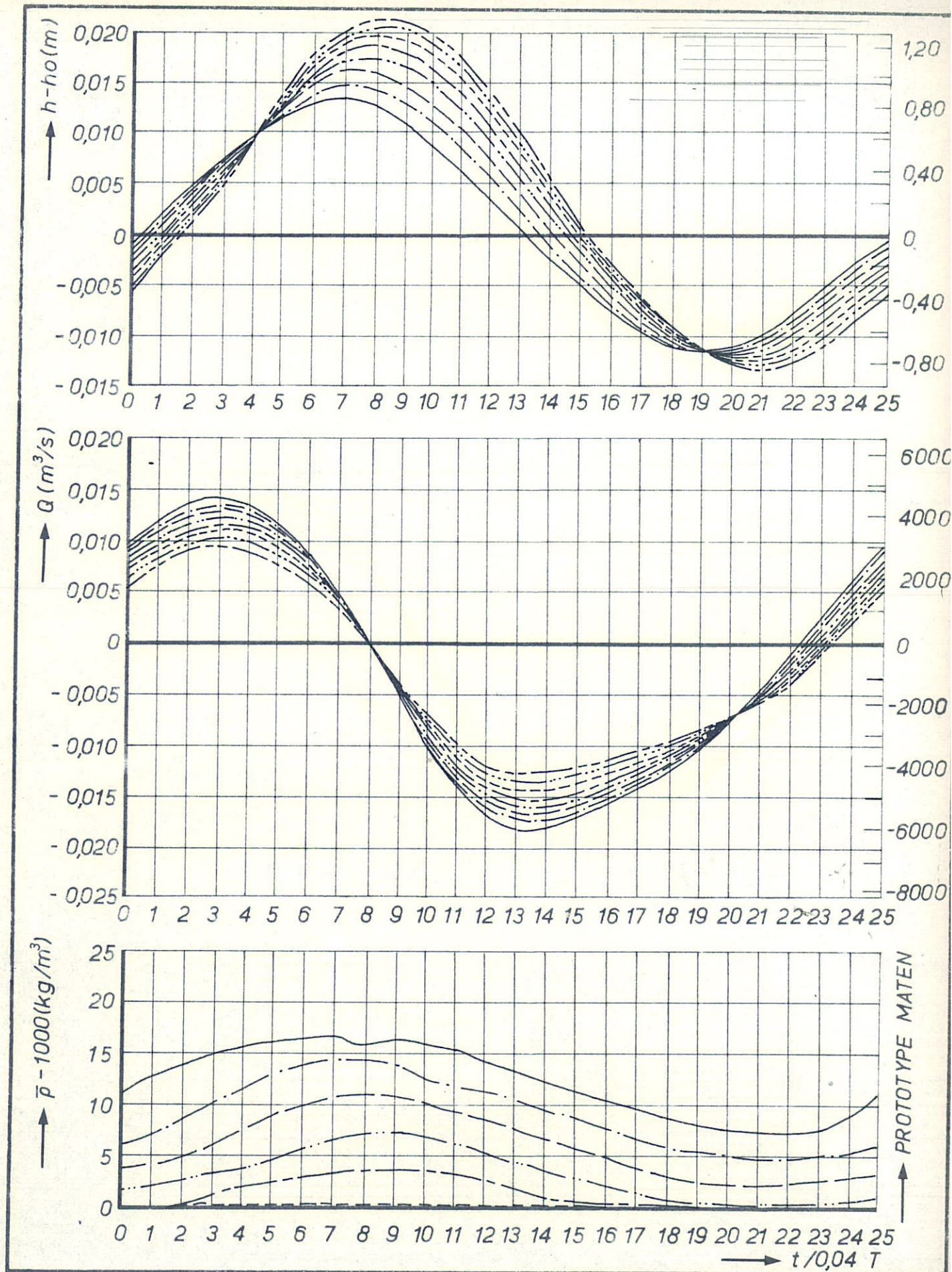
==== $X/\Delta X = 2, 4, 5,$
===== $X/\Delta X = 8, 10, 12,$
===== $X/\Delta X = 14, 16.$

WK
A4



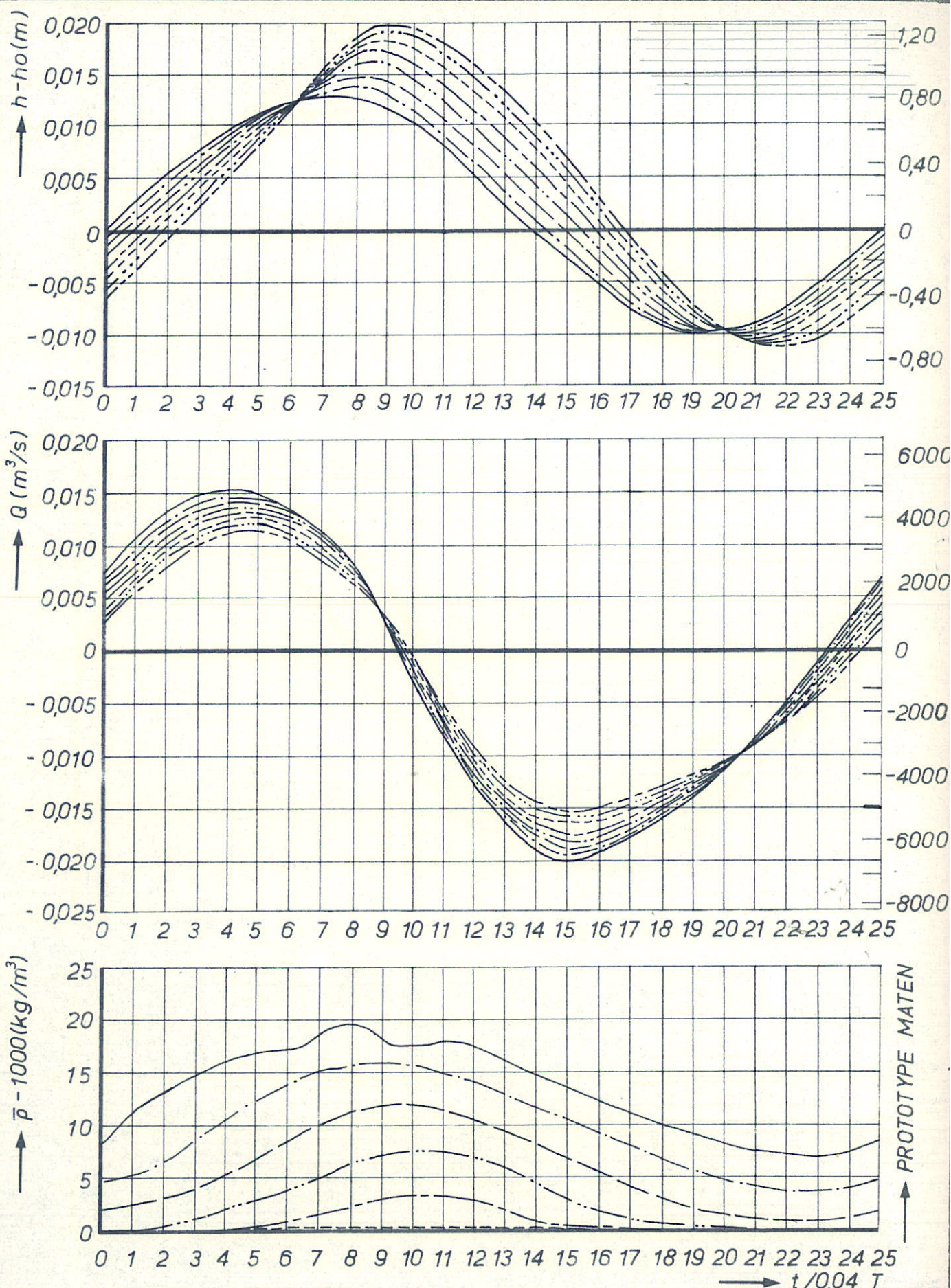
ONDERZOEK VARIATIE GOOTLENGTE
PROEF T 104 ($L^{1/4} \lambda = 0,558$)

WK
A4



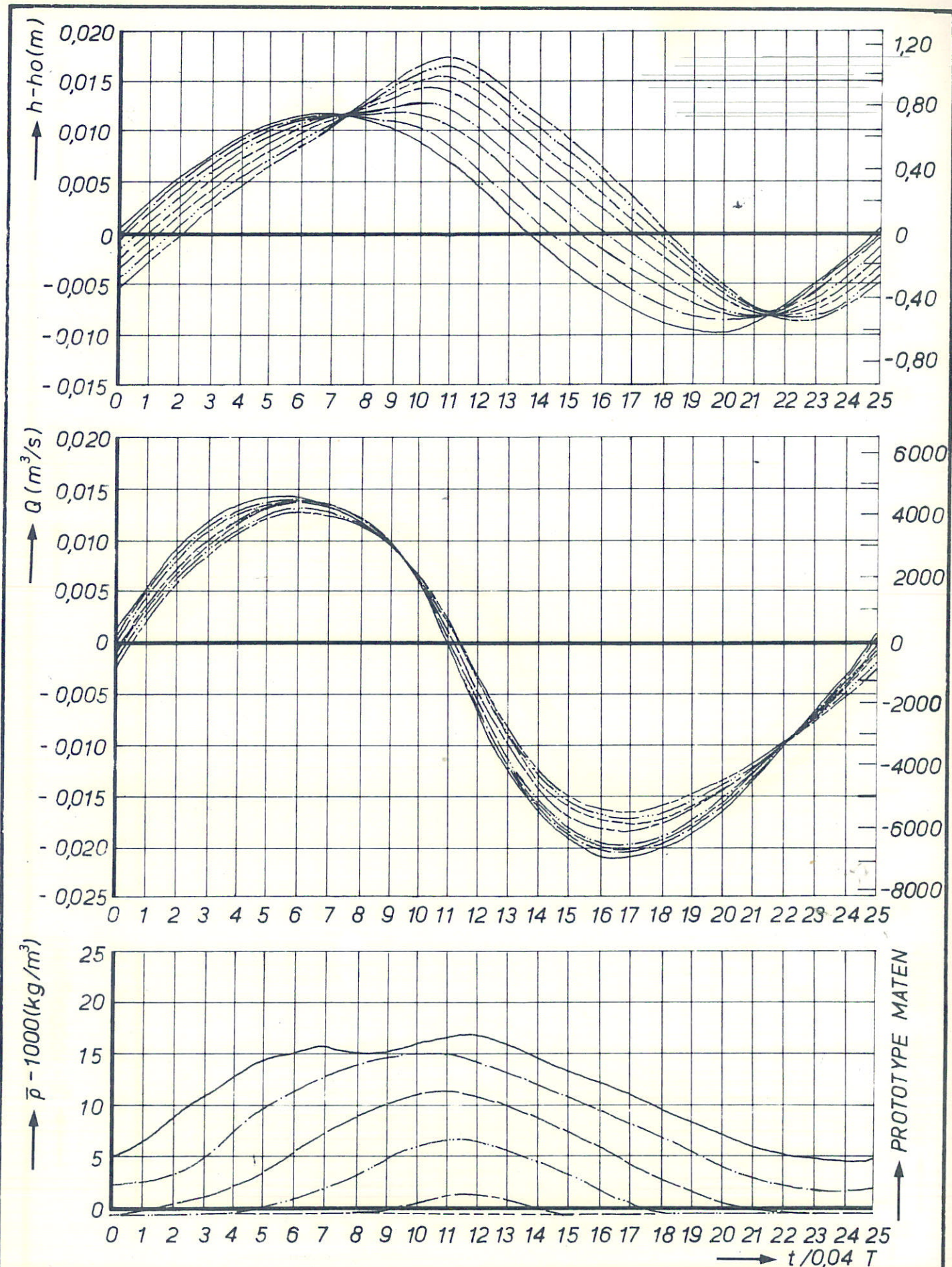
ONDERZOEK VARIATIE GOOTLENGTE
PROEFT 103 ($L^{1/4}\lambda = 0,666$)

WK
A4



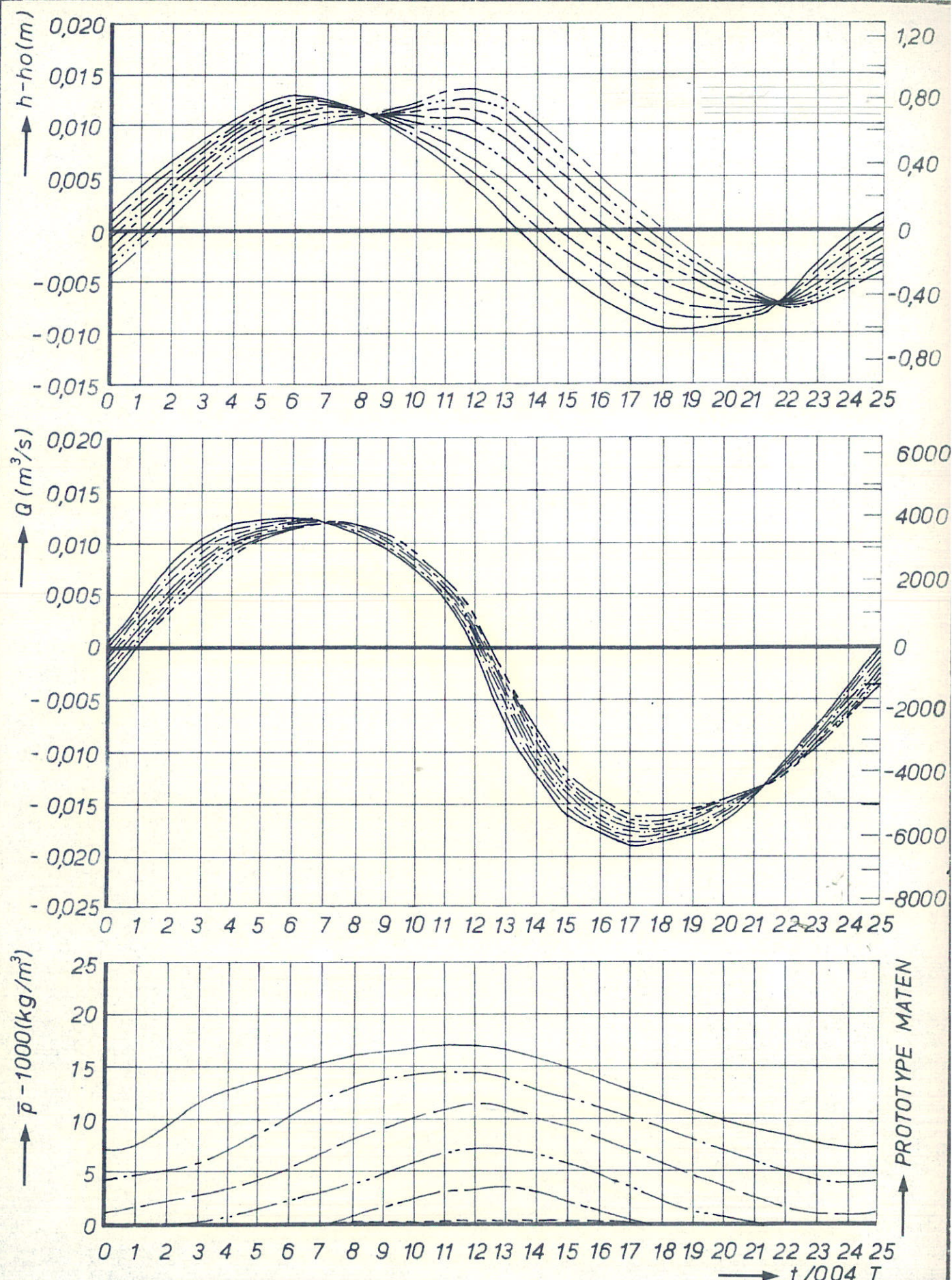
ONDERZOEK VARIATIE GOOTLENGTE
PROEF T 101 ($L^{1/4} \lambda = 0,774$)

$X/\Delta X = 2, 4, 5,$	WK
$X/\Delta X = 8, 10, 12,$	
$X/\Delta X = 14, 16.$	A4



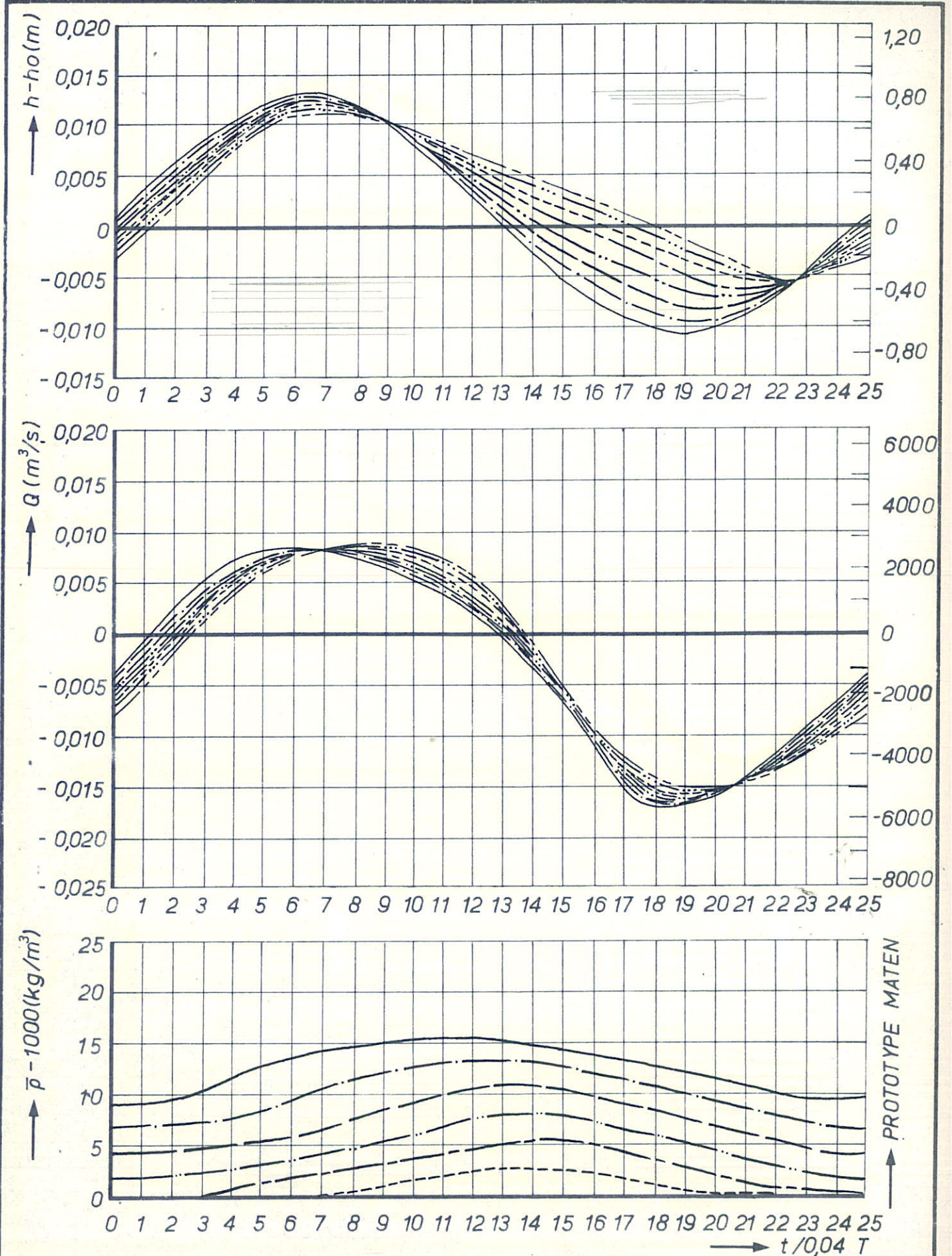
ONDERZOEK VARIATIE GOOTLENGTE
PROEF T3 ($L^{1/4} \lambda = 0,882$)

WK
A4



ONDERZOEK VARIATIE GOOTLENGTE
PROEF T 102 ($L^{1/4}\lambda = 0,990$)

$X/\Delta X = 2, 4, 6, \dots$	WK
$X/\Delta X = 8, 10, 12, \dots$	
$X/\Delta X = 14, 16, \dots$	A4

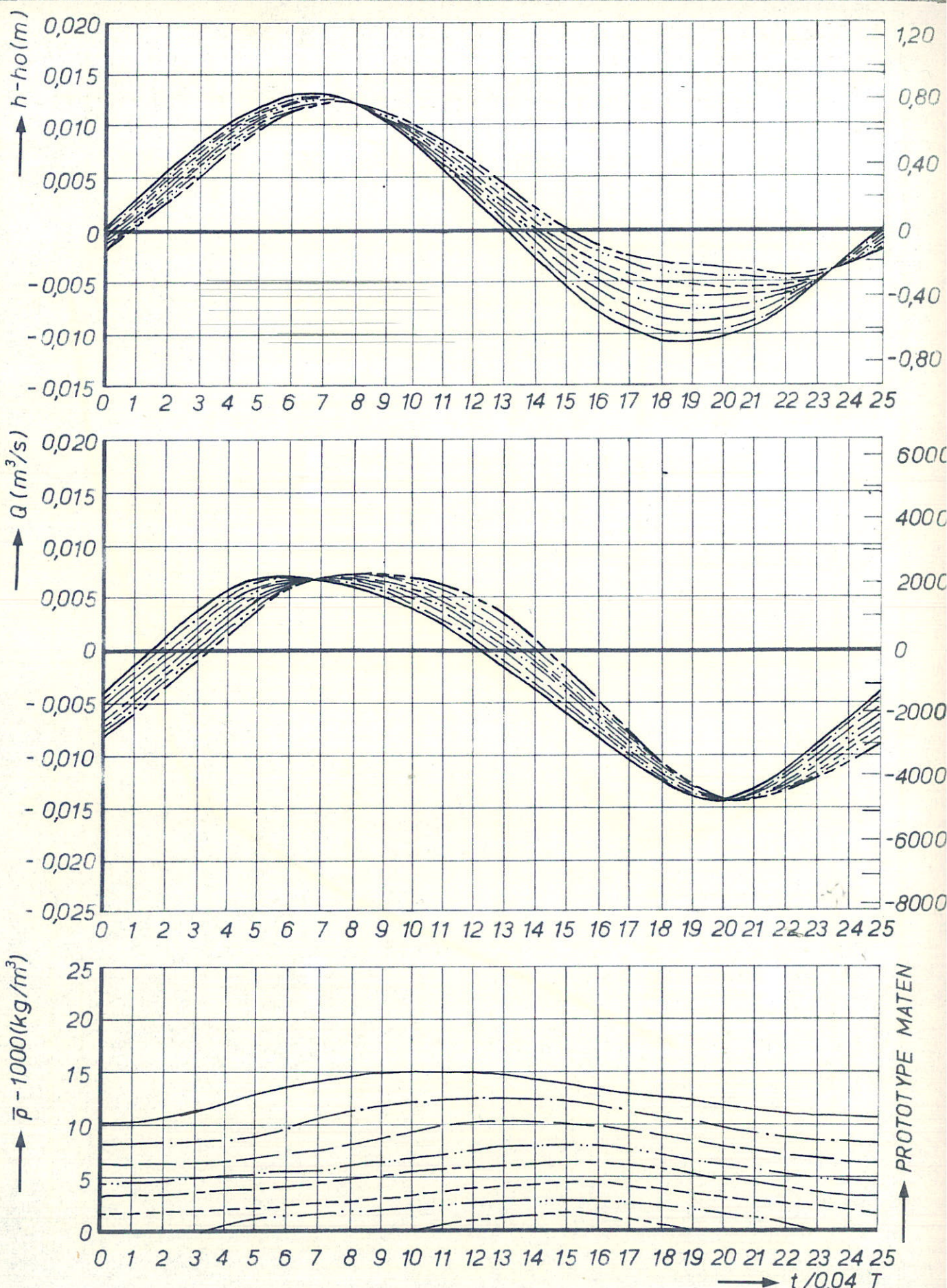


ONDERZOEK VARIATIE GOOTLENGTE
PROEF T 105 ($L^{1/4}\lambda = 1,242$)

$X/\Delta X = 2, 4, 6$,
 $X/\Delta X = 8, 10, 12$,
 $X/\Delta X = 14, 16$.

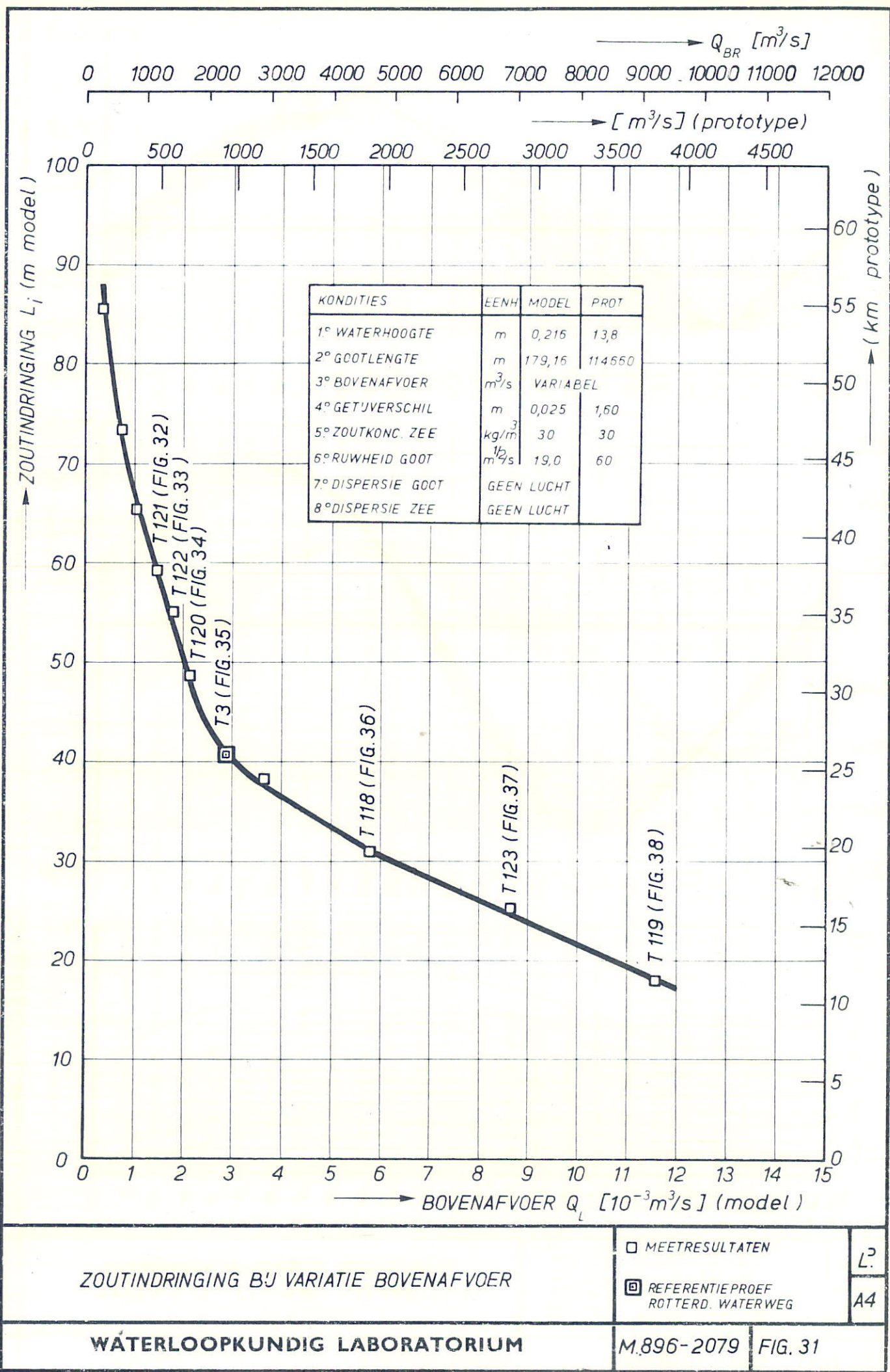
WK

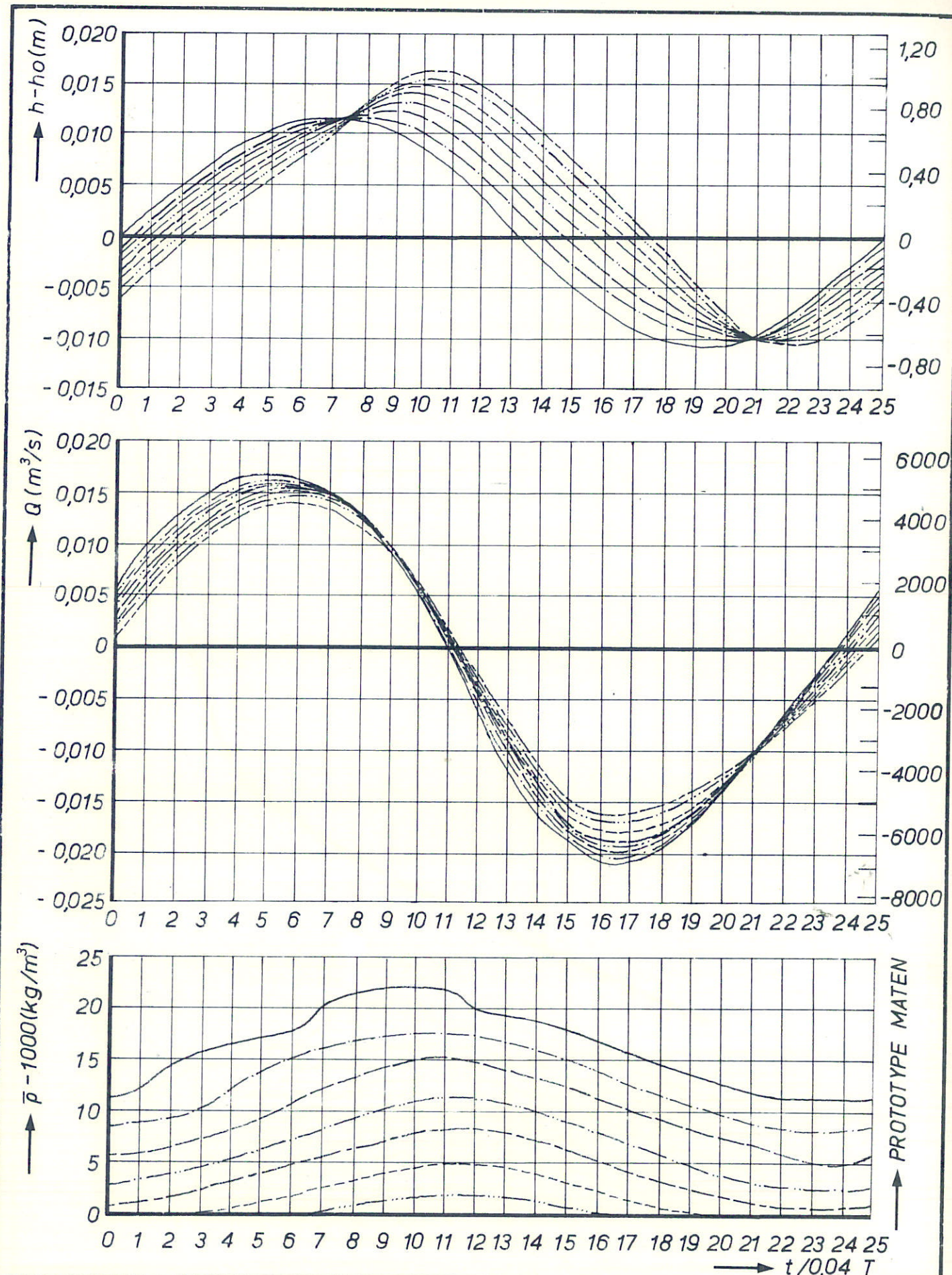
A4



ONDERZOEK VARIATIE GOOTLENGTE
PROEF T 111 ($L^{1/4}\lambda = 1,494$)

$\cdots\cdots$	$X/\Delta X = 2, 4, 6,$	WK
$- - - -$	$X/\Delta X = 8, 10, 12,$	
$====$	$X/\Delta X = 14, 16.$	A4

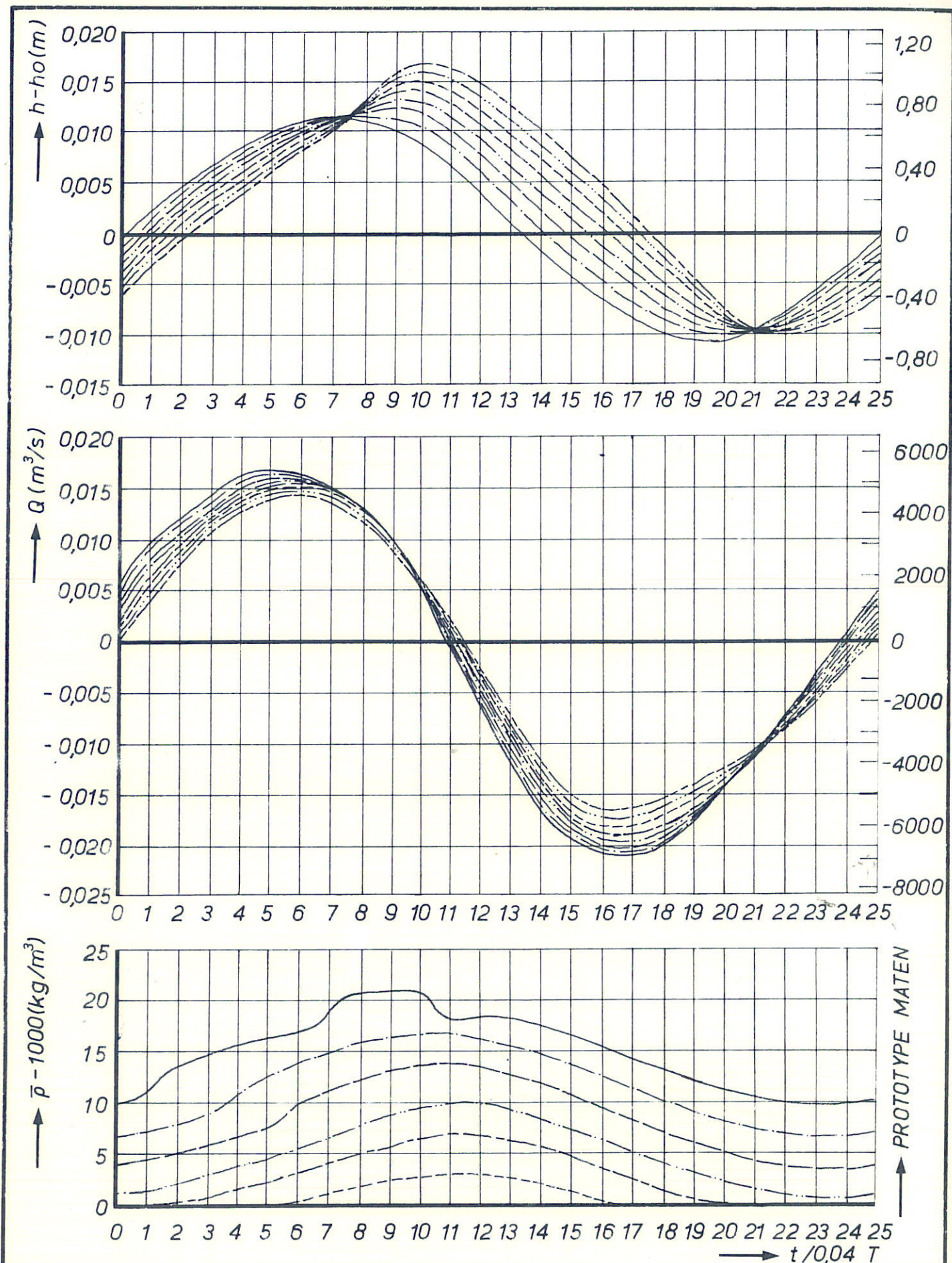




ONDERZOEK VARIATIE BOVENAFVOER
PROEF T 121 ($Q_L = 475 m^3/s$ PROTOTYPE)

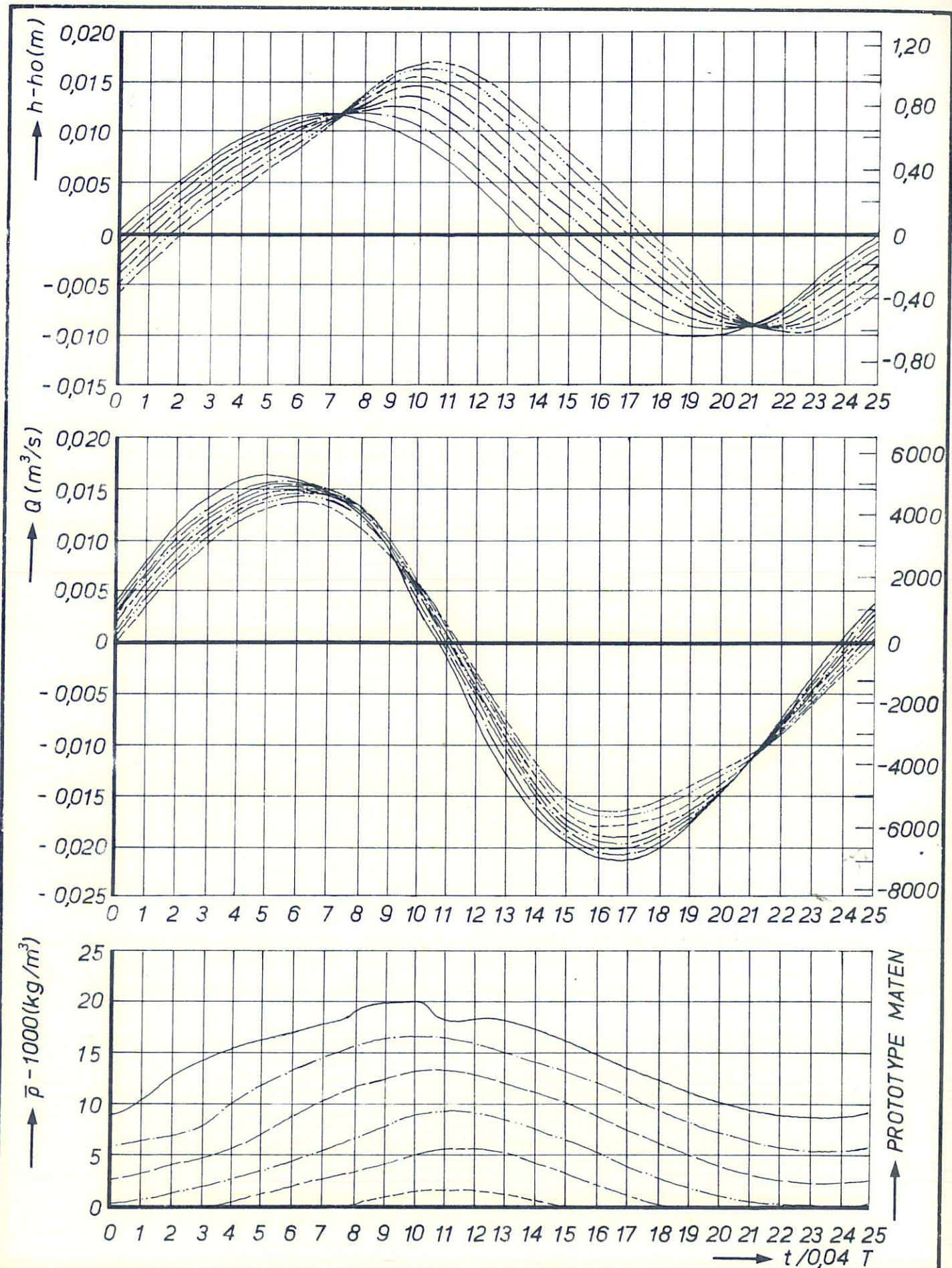
$X/\Delta X = 2, 4, 6$,
 $X/\Delta X = 8, 10, 12$,
 $X/\Delta X = 14, 16$.

WK
A4



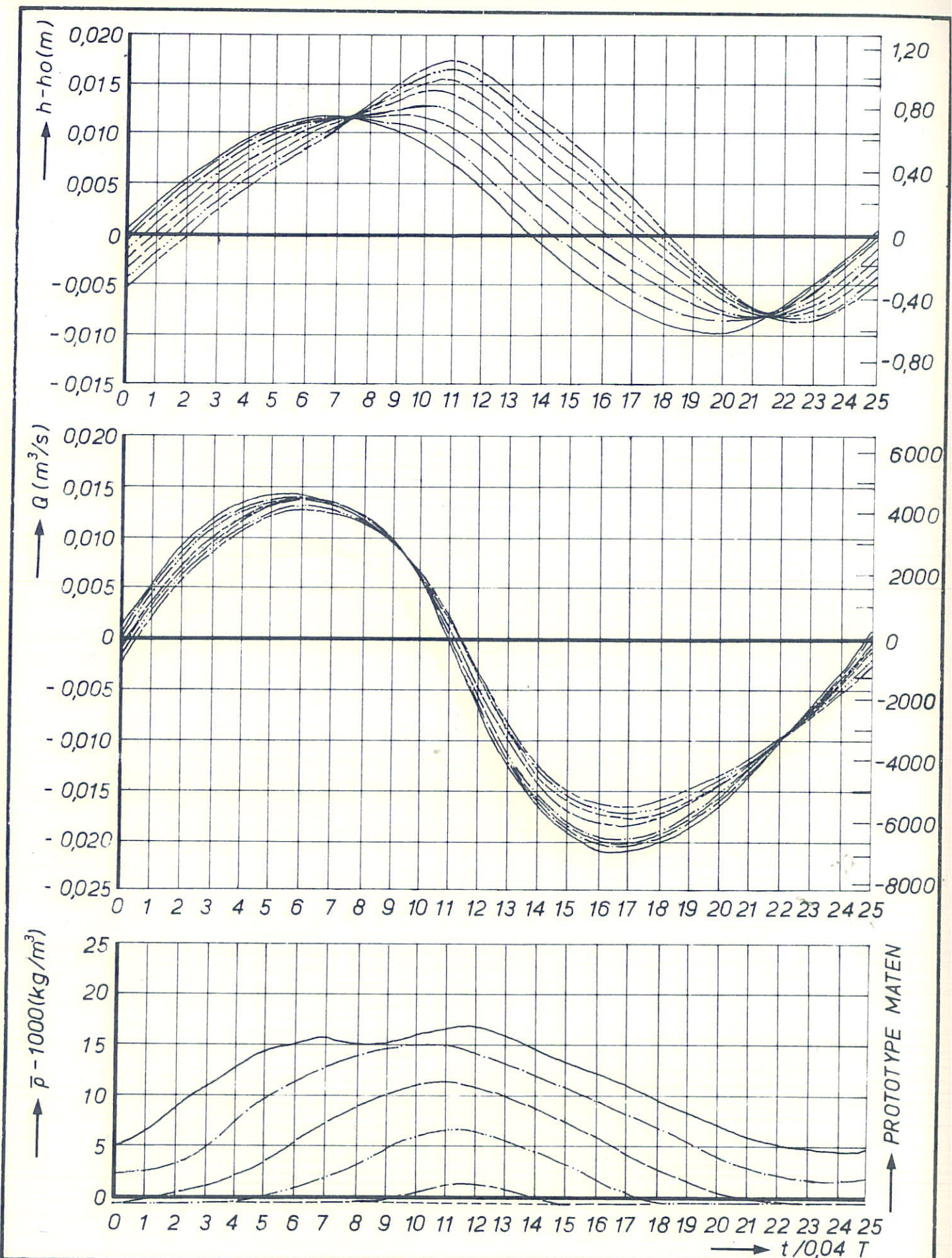
ONDERZOEK VARIATIE BOVENAFVOER
PROEF T122 ($Q_L = 593 m^3/s$ PROTOTYPE)

$x/\Delta x = 2, 4, 5$	WK
$x/\Delta x = 8, 10, 12$	
$x/\Delta x = 14, 16$	A4



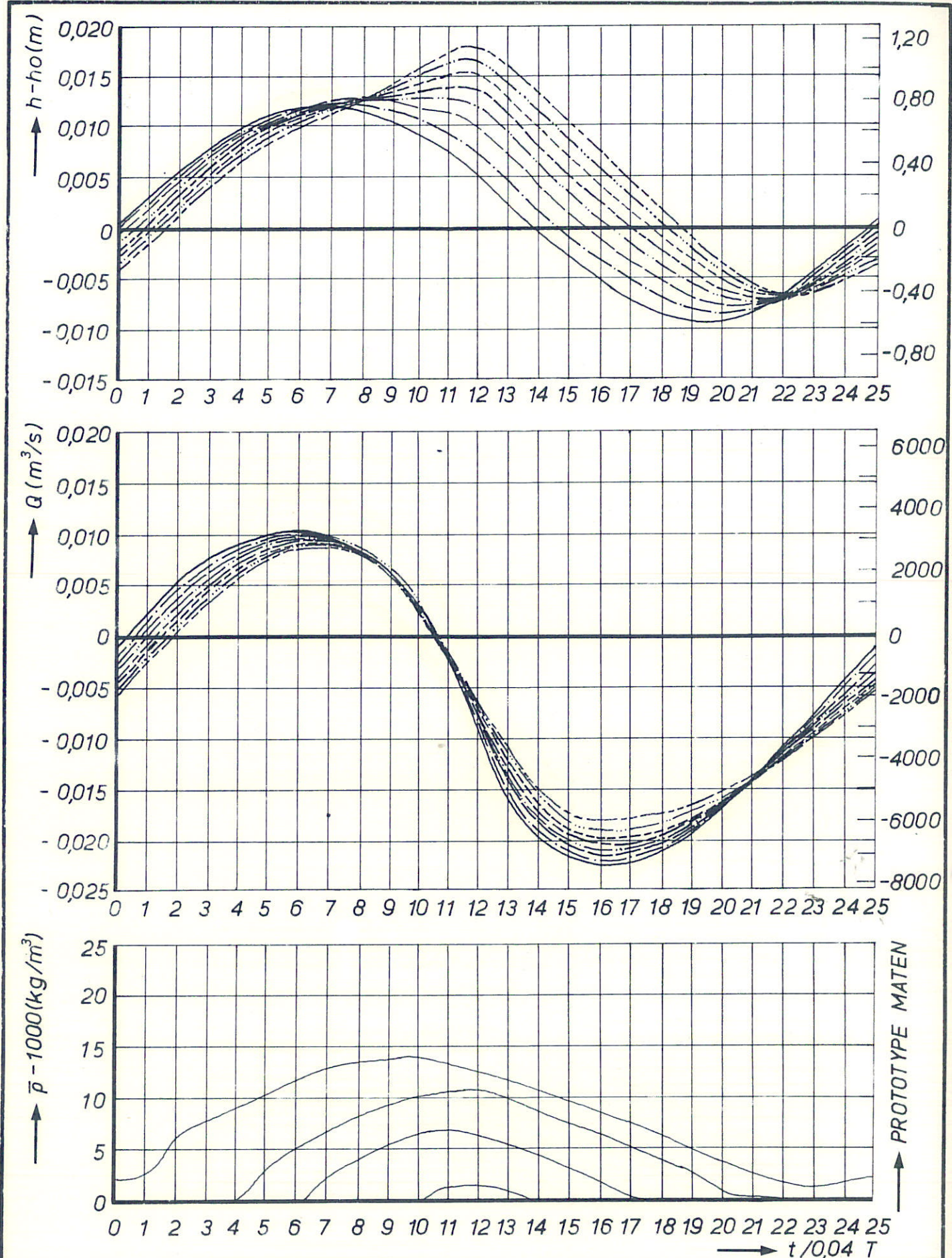
ONDERZOEK VARIATIE BOVENAFVOER
PROEFT 120 ($Q_L = 712 m^3/s$ PROTOTYPE)

$X/\Delta X = 2, 4, 5,$
 $X/\Delta X = 8, 10, 12,$
 $X/\Delta X = 14, 16.$



ONDERZOEK VARIATIE BOVENAFVOER
PROEFT 3 ($Q_L = 949 \text{ m}^3/\text{s}$ PROTOTYPE)

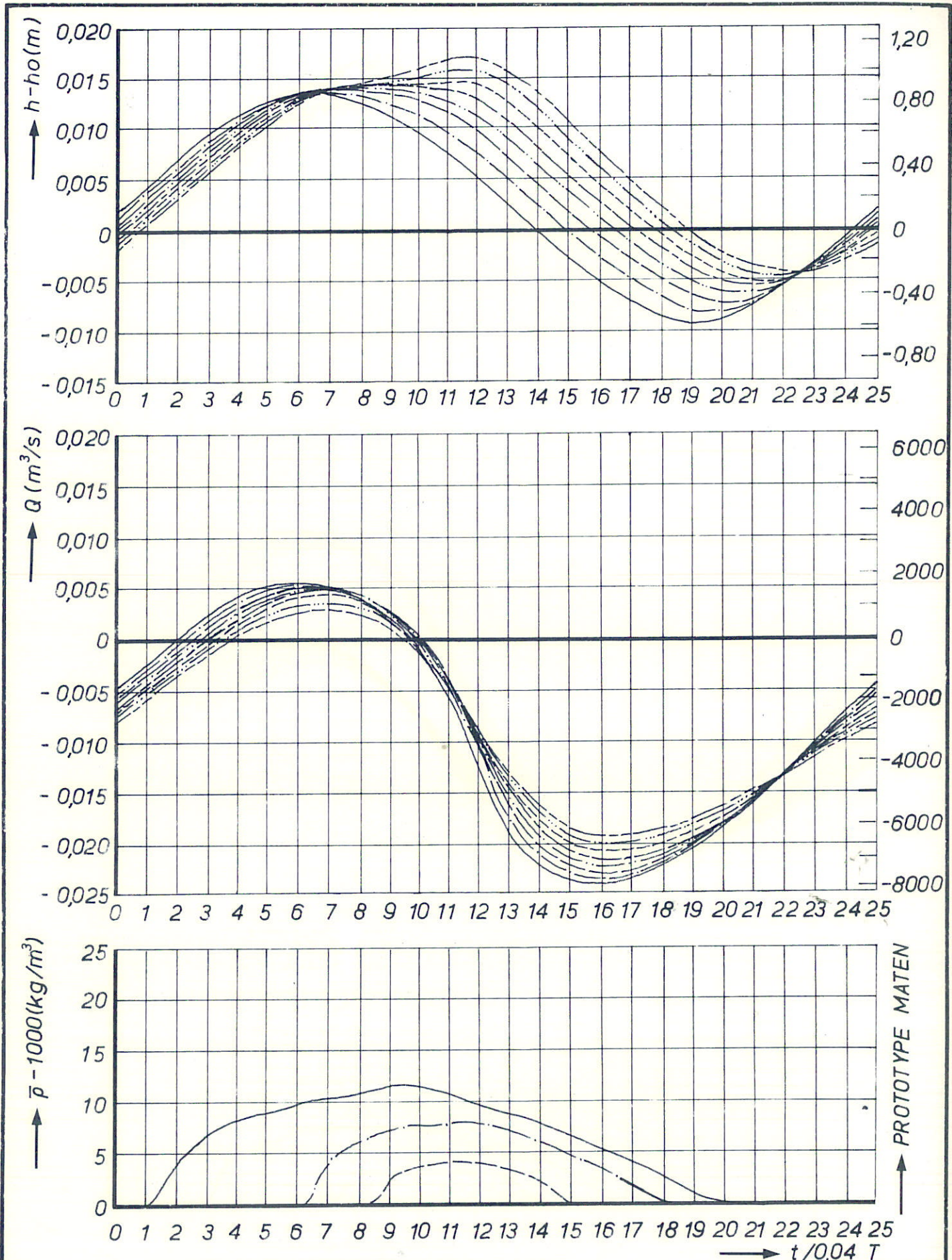
$\cdots\cdots$	$X/dx = 2, 4, 5,$	WK
$- - - -$	$X/dx = 8, 10, 12,$	
$---$	$X/dx = 14, 16.$	A4



ONDERZOEK VARIATIE BOVENAFVOER
PROEFT 118 ($Q_L = 1899 \text{ m}^3/\text{s}$ PROTOTYPE)

$\equiv \equiv \equiv \quad X/\Delta X = 2, 4, 5$,
 $\equiv \equiv \equiv \quad X/\Delta X = 8, 10, 12$,
 $\equiv \equiv \equiv \quad X/\Delta X = 14, 16$.

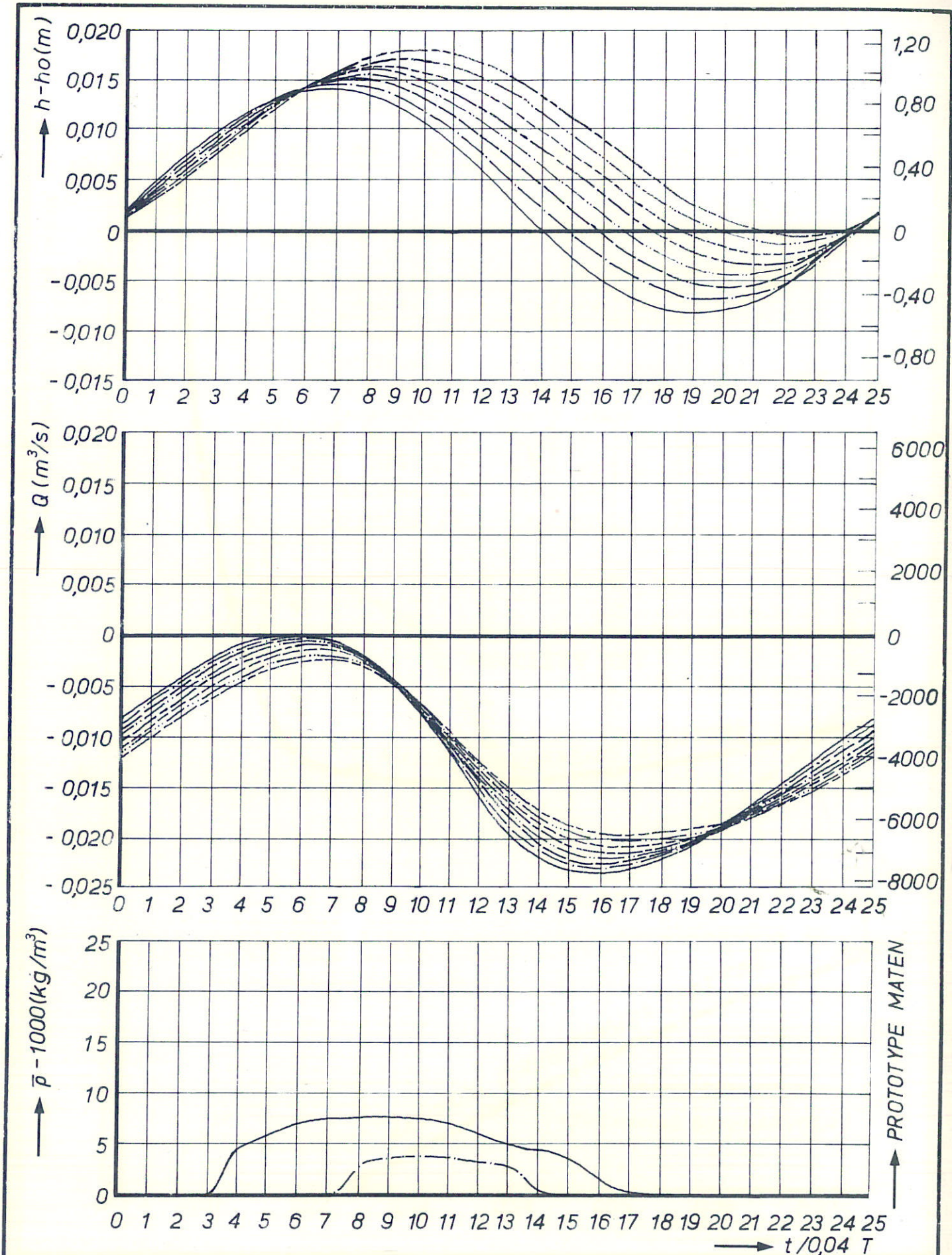
PROTOTYPE MAREN



ONDERZOEK VARIATIE BOVENAFVOER
PROEFT 123 ($Q_L = 2848 \text{ m}^3/\text{s}$ PROTOTYPE)

$X/\Delta X = 2, 4, 6$
 $X/\Delta X = 8, 10, 12$
 $X/\Delta X = 14, 16$

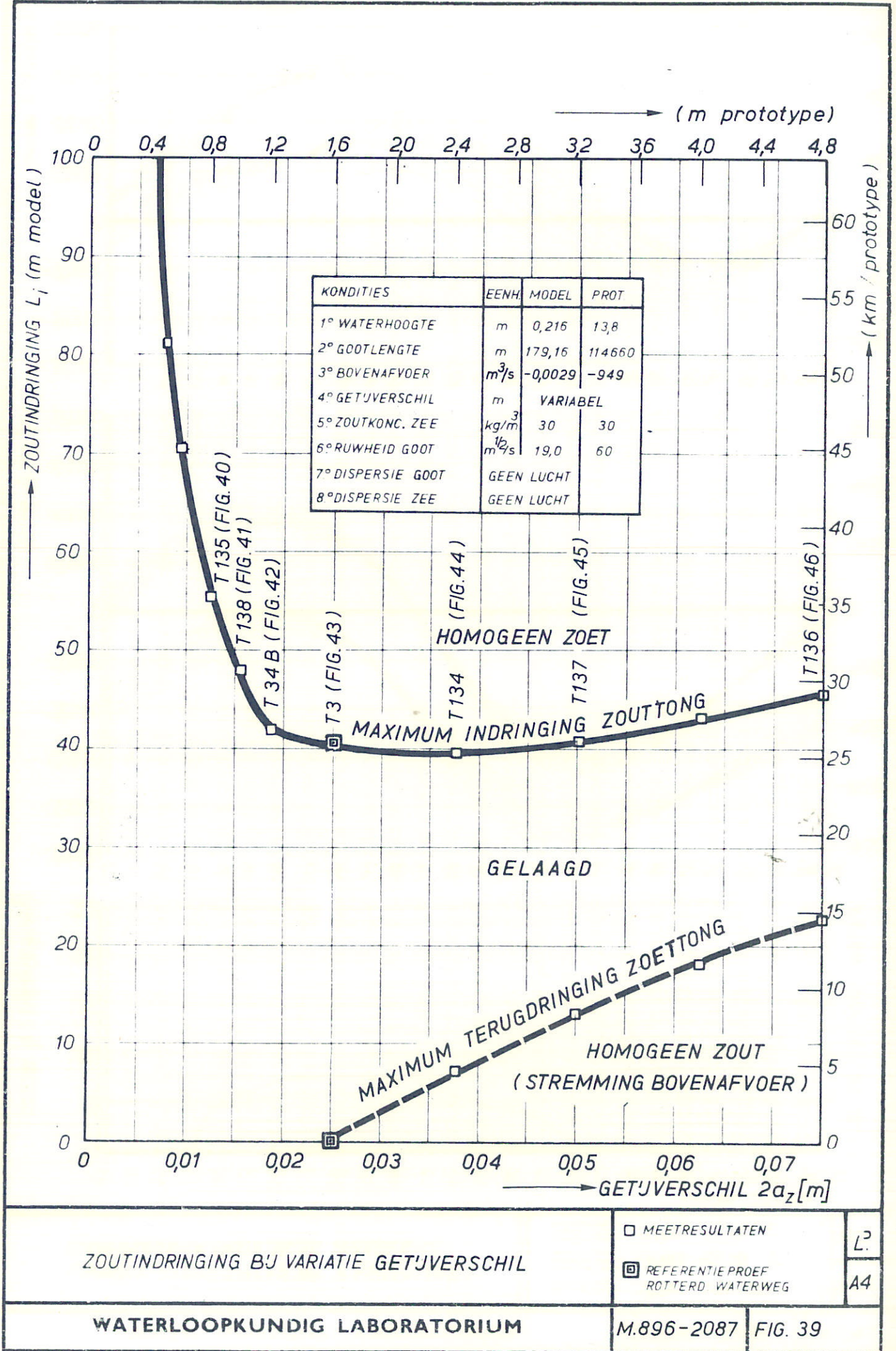
WK
A4

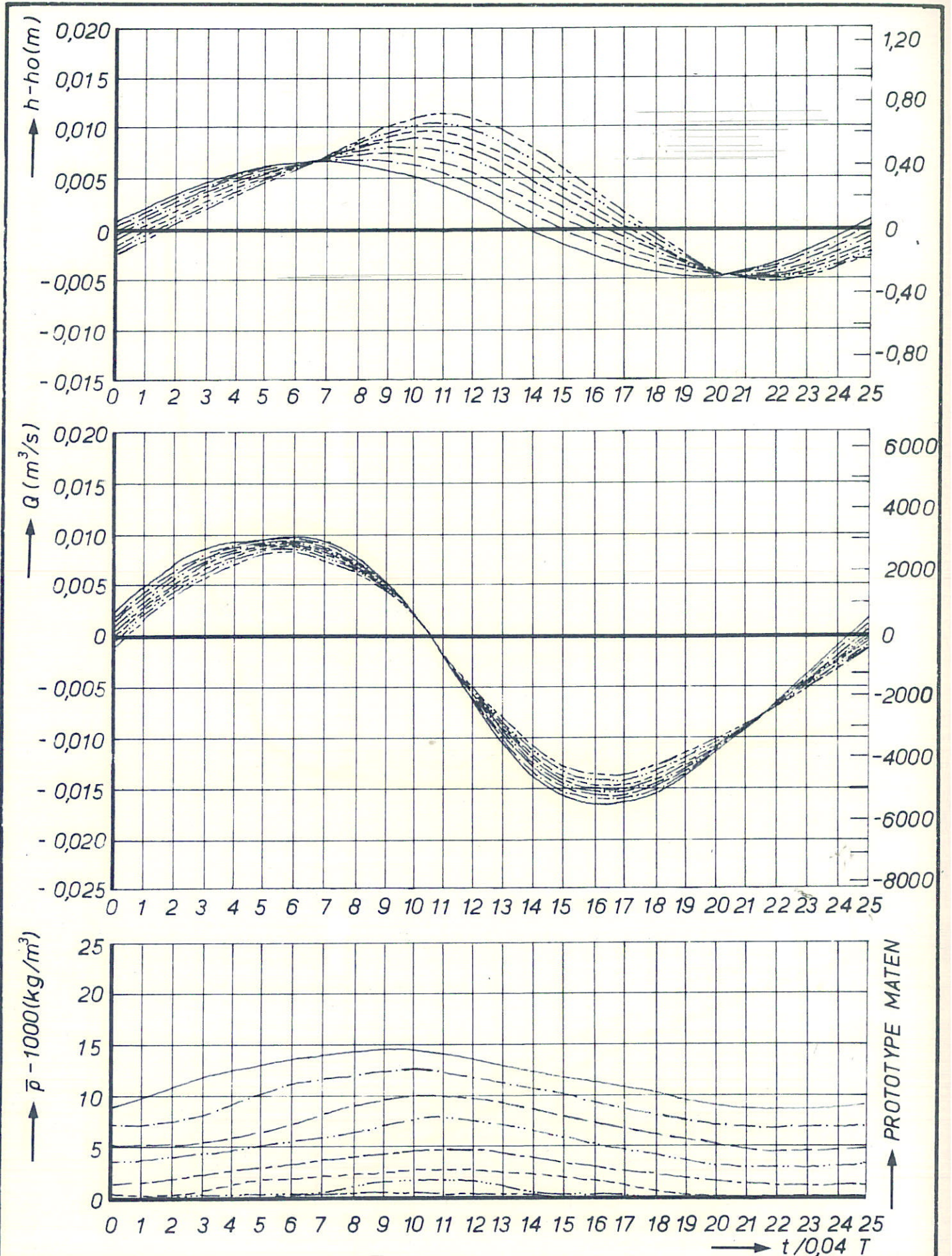


ONDERZOEK VARIATIE BOVENAFVOER
PROEFT 119 ($Q_L = 3798 \text{ m}^3/\text{s}$ PROTOTYPE)

$X/\Delta X = 2, 4, 6$,
 $X/\Delta X = 8, 10, 12$,
 $X/\Delta X = 14, 16$.

WK
A4

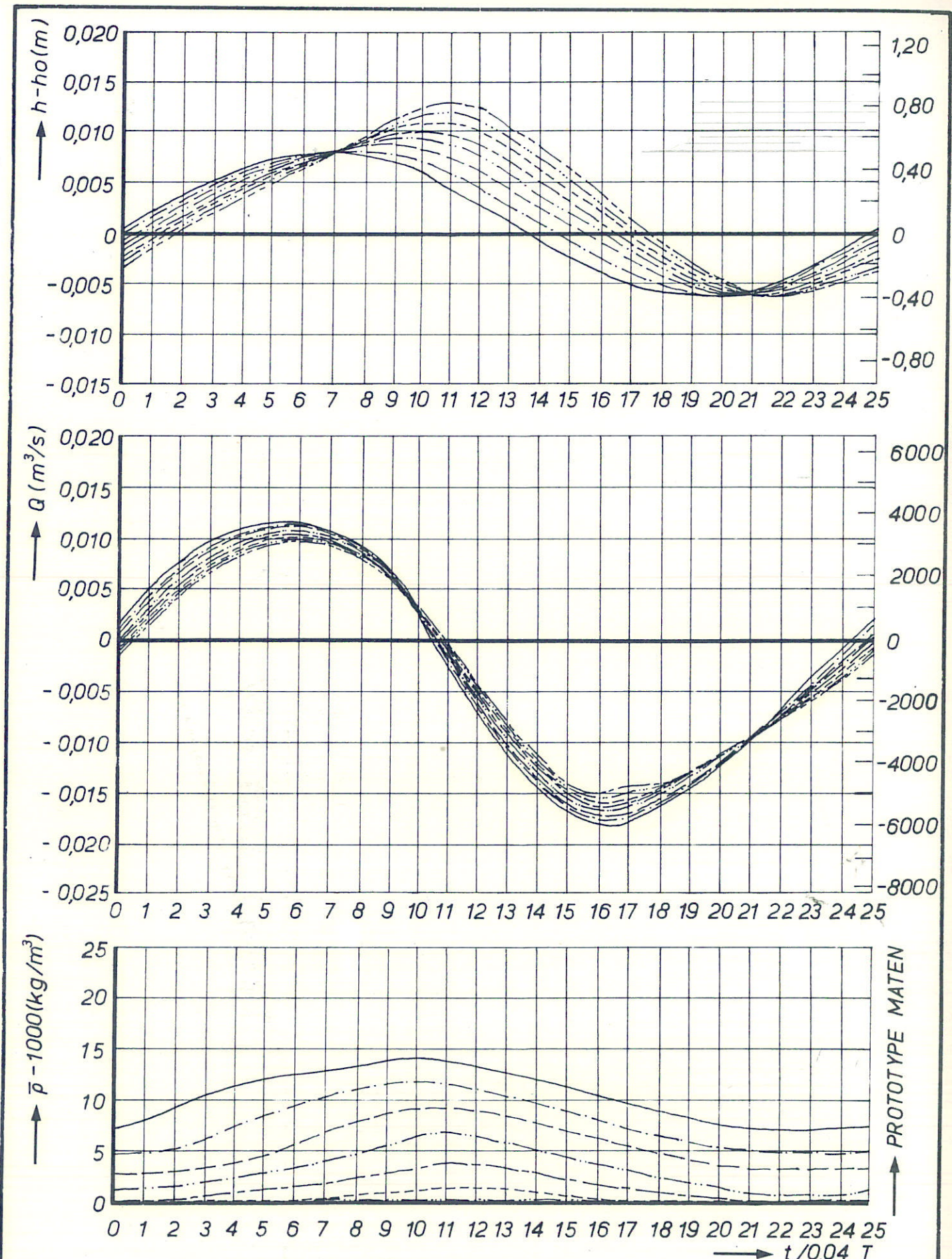




ONDERZOEK VARIATIE GETUVERSCHIL
PROEF T135 ($2\alpha_z = 0,80 m$ PROTOTYPE)

$X/\Delta X = 2, 4, 5$,
 $X/\Delta X = 8, 10, 12$,
 $X/\Delta X = 14, 16$.

WK
A4

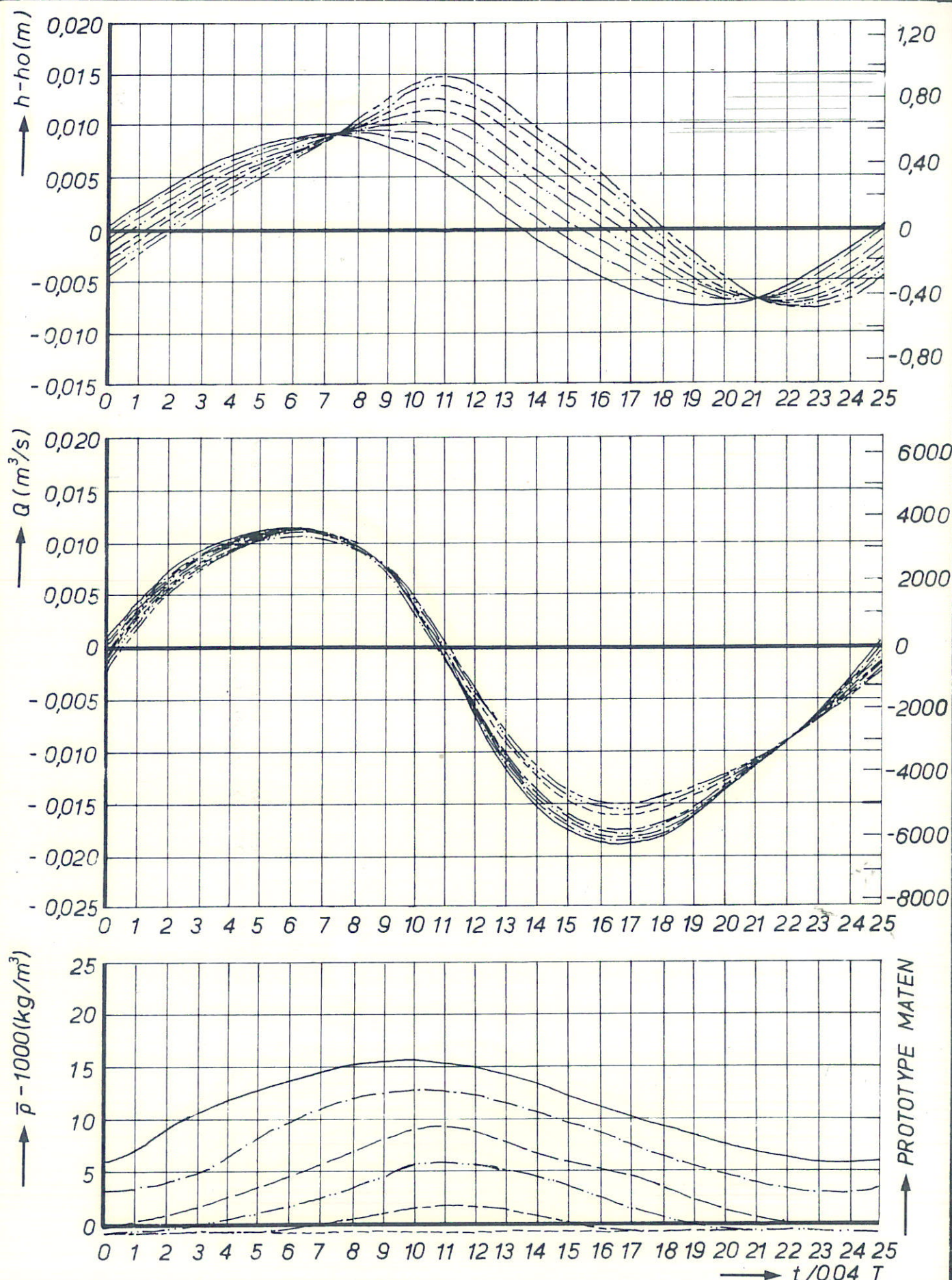


ONDERZOEK VARIATIE GETIJVERSCHIL
PROEFT 138 (2 $a_z = 1,00 m$ PROTOTYPE)

$X/\Delta X = 2, 4, 6,$
 $X/\Delta X = 8, 10, 12,$
 $X/\Delta X = 14, 16.$

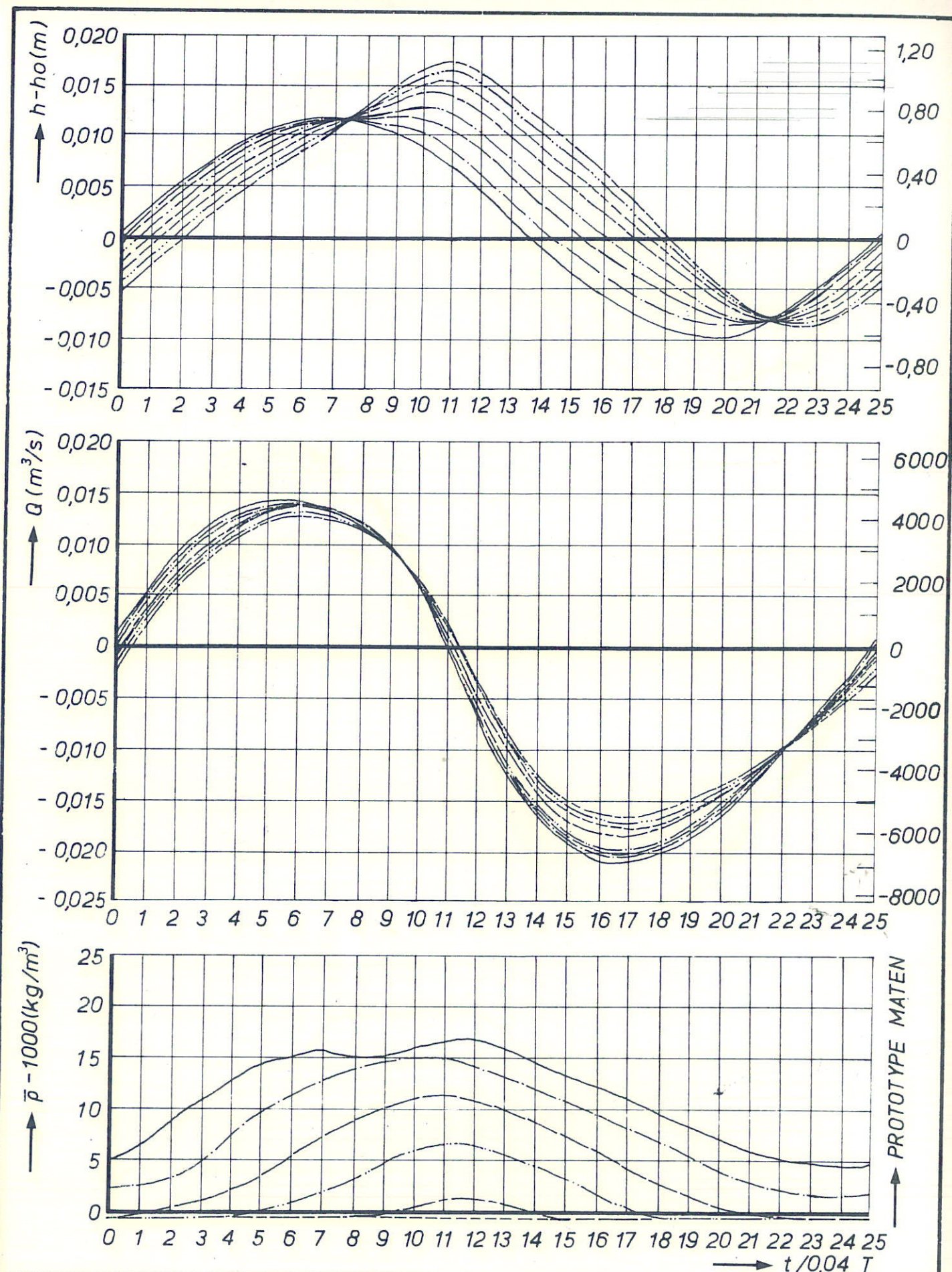
WK

A4



ONDERZOEK VARIATIE GETUVERSCHIL
PROEF T 34B (2 a_z = 1,20 m PROTOTYPE)

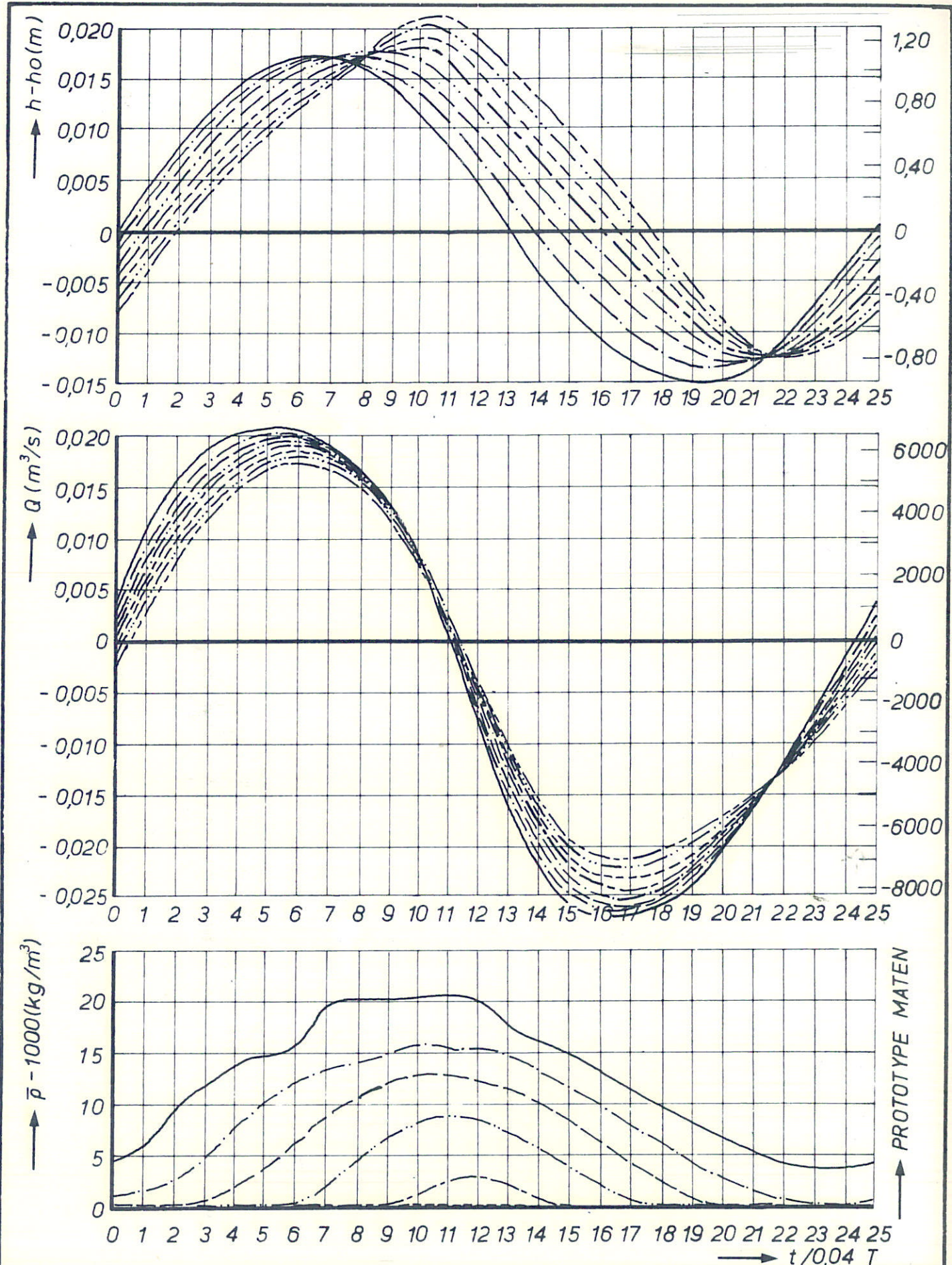
WK
A4



ONDERZOEK VARIATIE GETIJVERSCHIL
PROEF T3 ($2a_z = 1,60 m$ PROTOTYPE)

$X/\Delta X = 2, 4, 5,$
 $X/\Delta X = 8, 10, 12,$
 $X/\Delta X = 14, 16.$

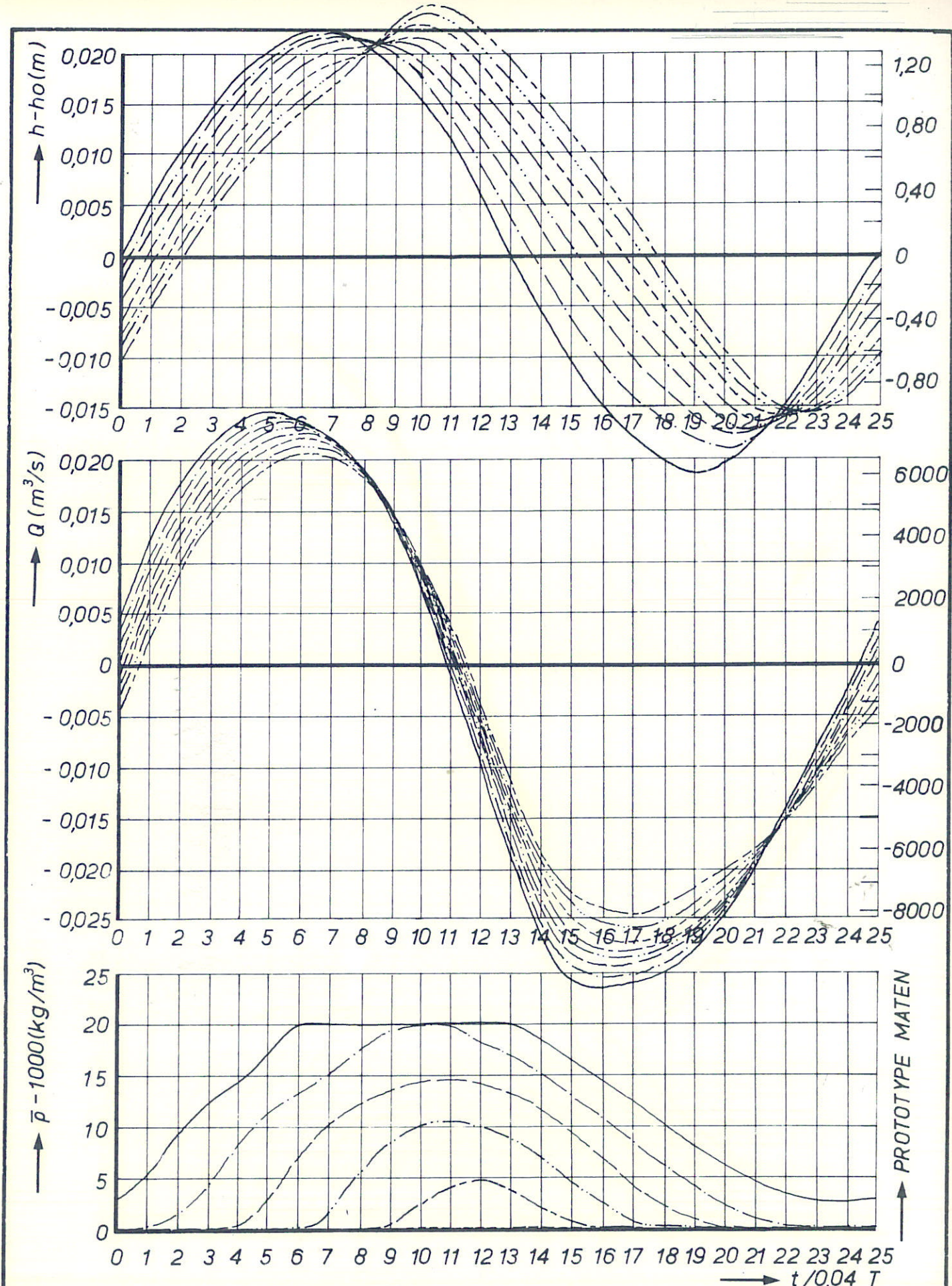
WK
A4



ONDERZOEK VARIATIE GETUVERSCHIL
PROEFT 134 ($2a_z = 2,40 \text{ m}$ PROTOTYPE)

— $X/\Delta X = 2, 4, 6,$
- - - $X/\Delta X = 8, 10, 12,$
--- $X/\Delta X = 14, 16.$

WK
A4

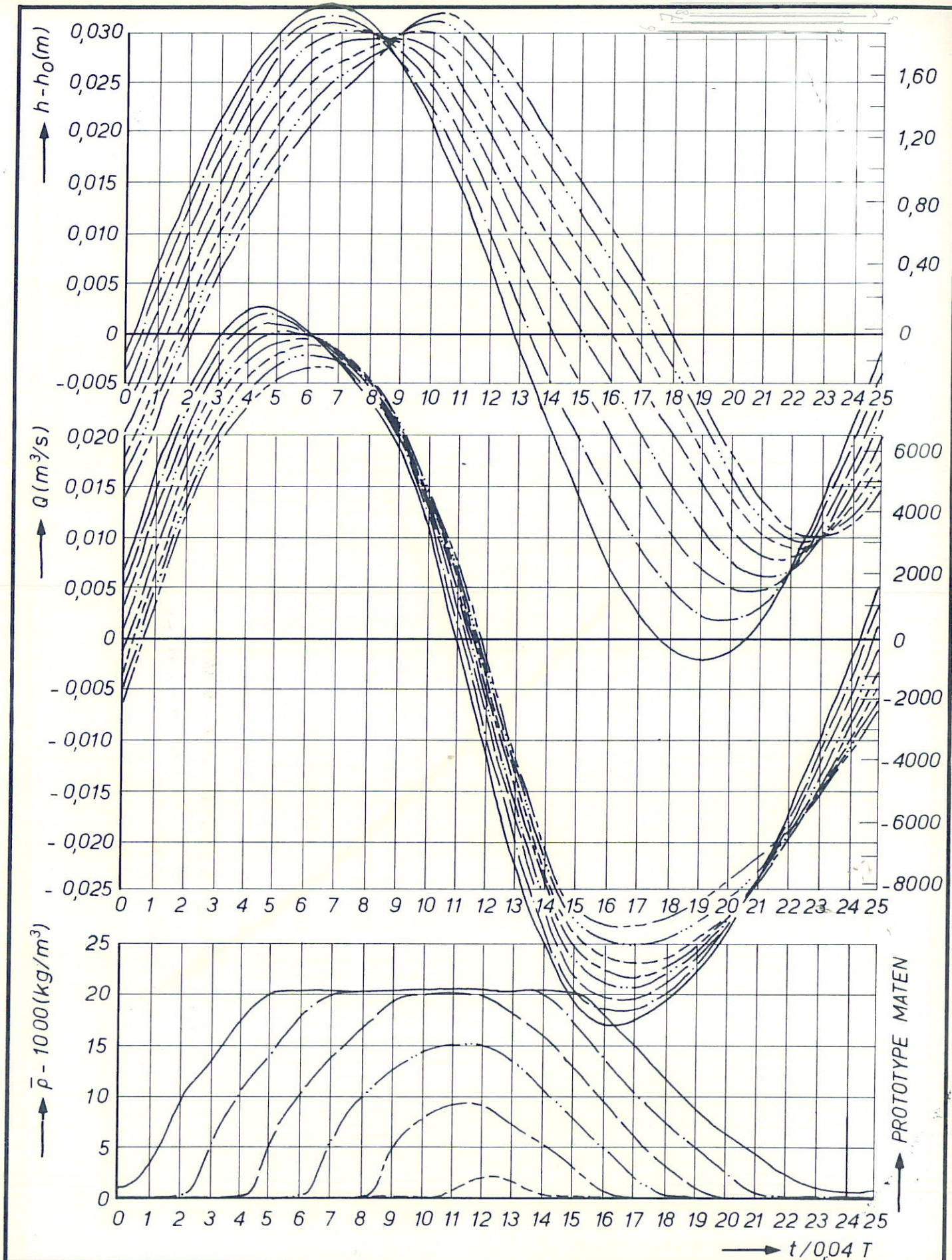


ONDERZOEK VARIATIE GETIJVERSCHIL
PROEFT 137 ($2a_z = 3,20 \text{ m}$ PROTOTYPE)

$X/\Delta X = 2, 4, 6$,
 $X/\Delta X = 8, 10, 12$,
 $X/\Delta X = 14, 16$.

WK

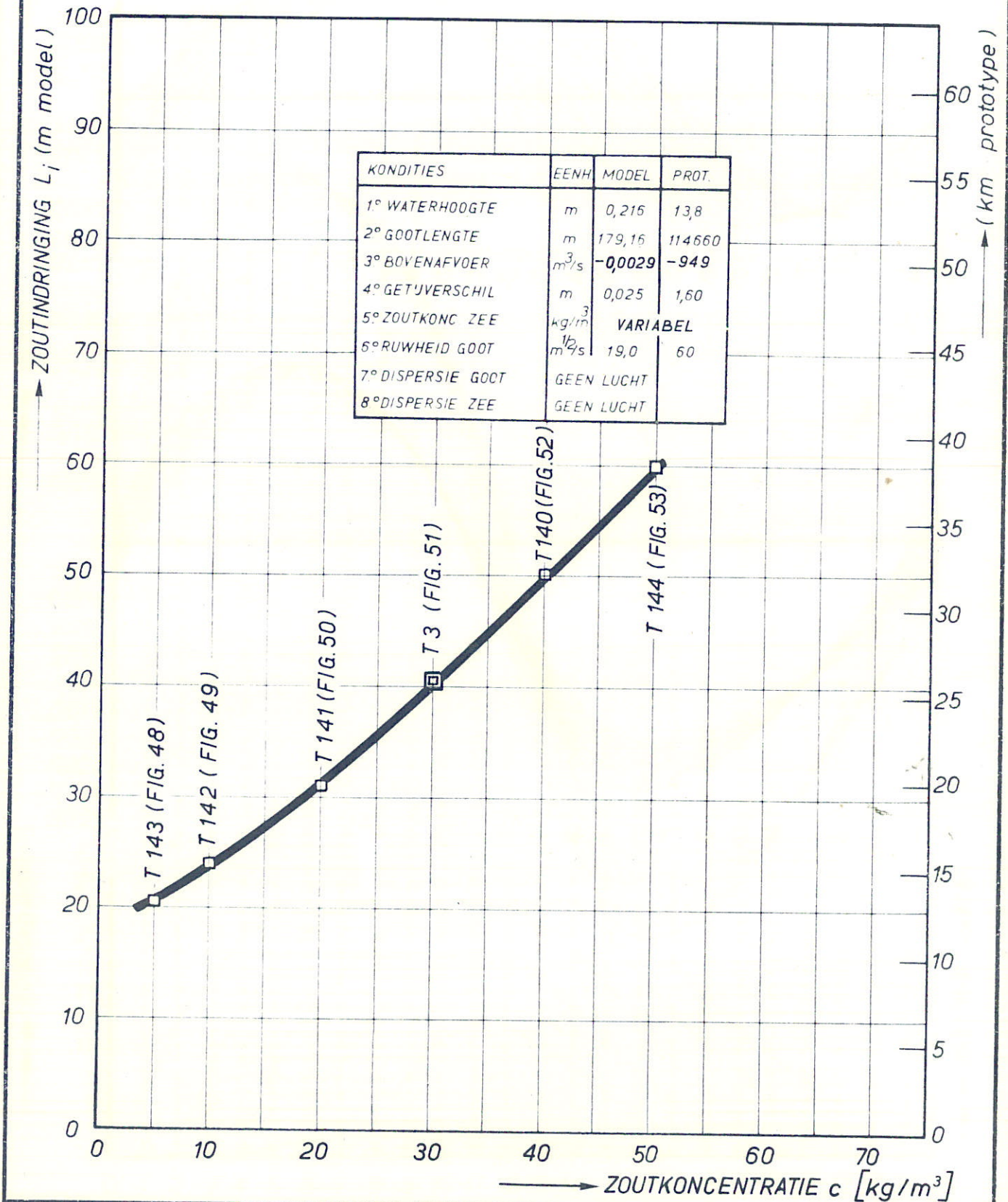
A4



ONDERZOEK VARIATIE GETIJVERSCHIL

PROEF T 136 ($2a_z = 4,80 \text{ m}$ PROTOTYPE)

$X/\Delta X = 2, 4, 6$	WK
$X/\Delta X = 8, 10, 12$	
$X/\Delta X = 14, 16$	A4



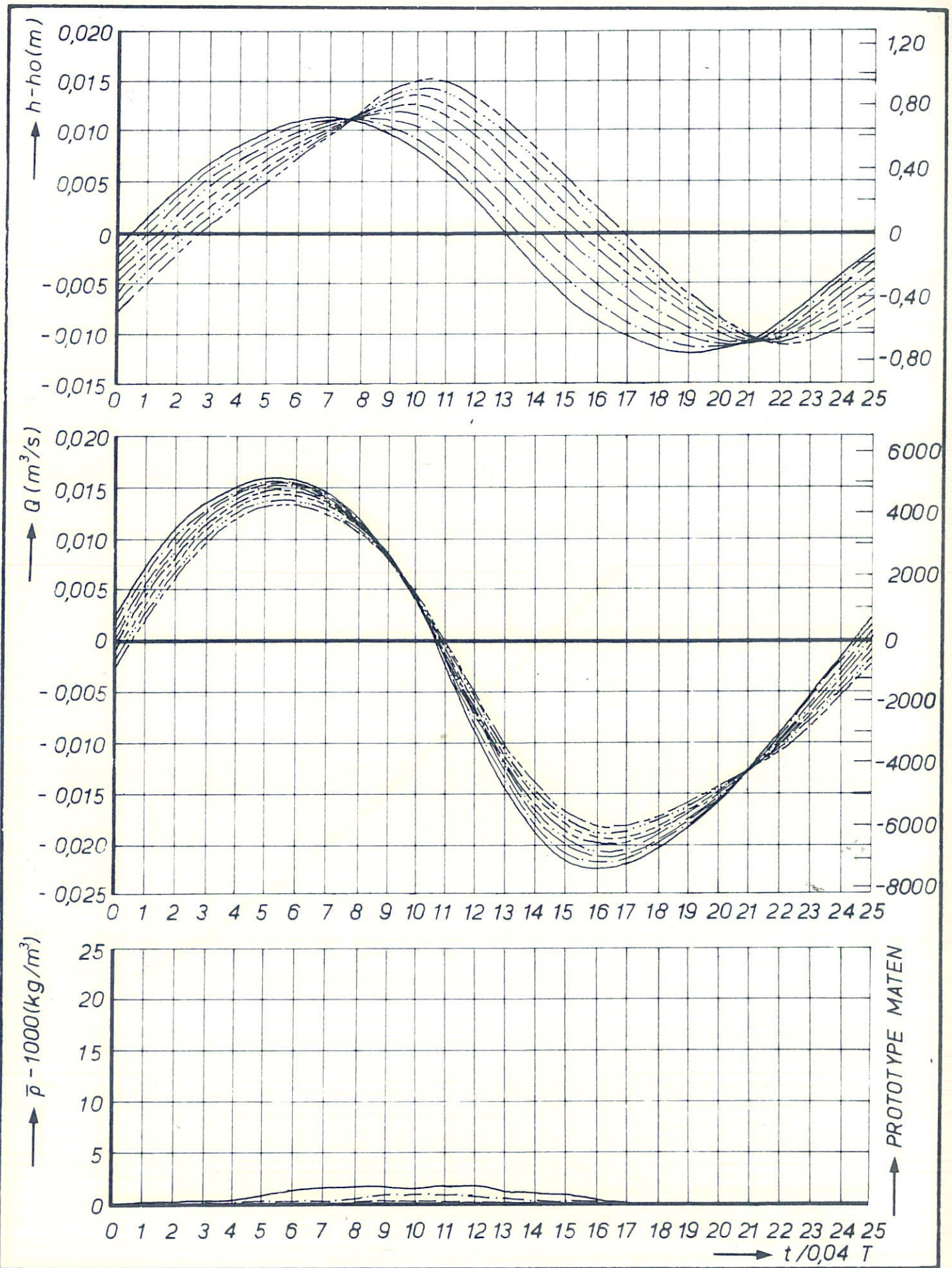
ZOUTINDRIVING BIJ VARIATIE ZOUTKONCENTRATIE ZEE

MEETRESULTATEN

REFERENTIE PROEF
ROTTERD. WATERWEG

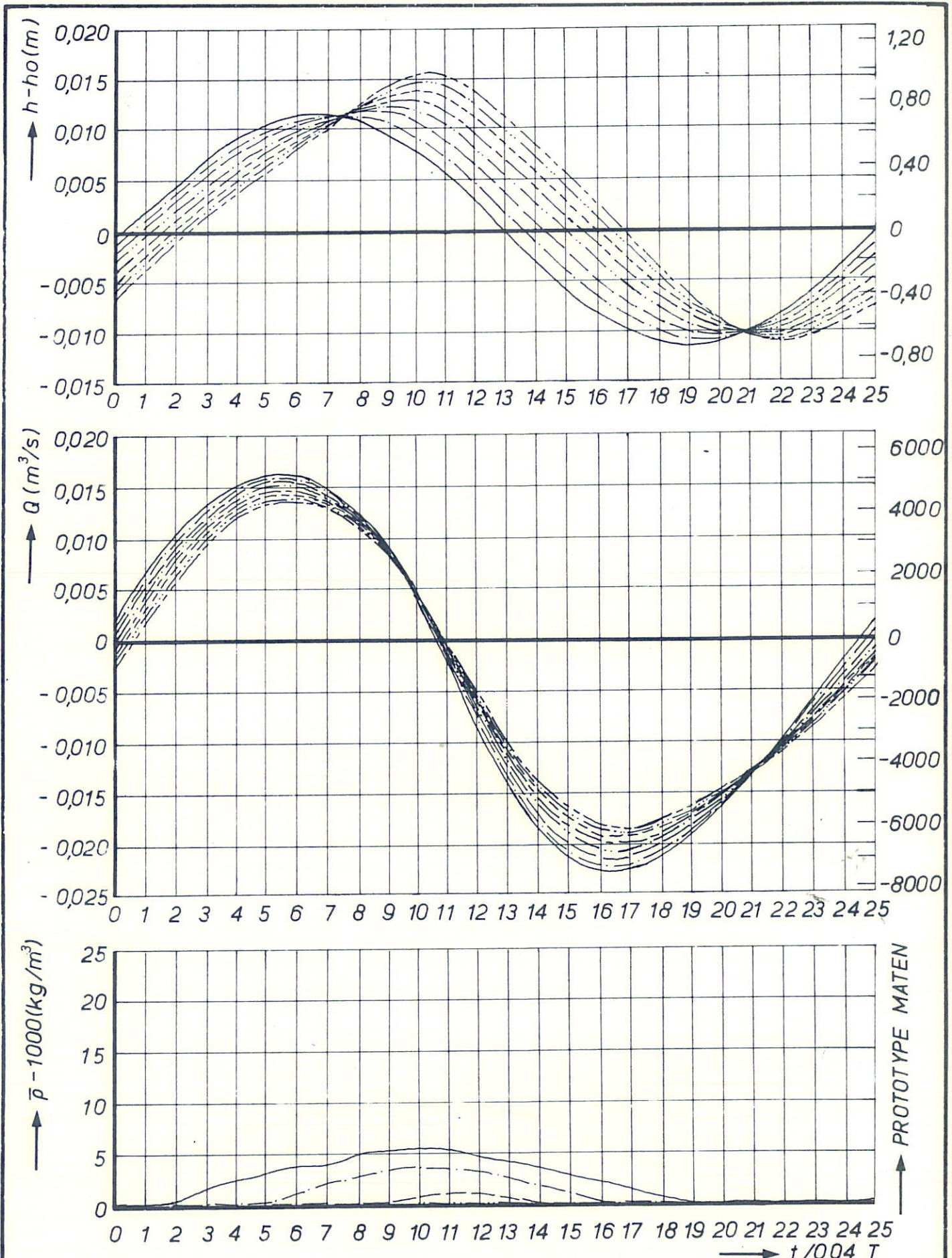
L_i

A4



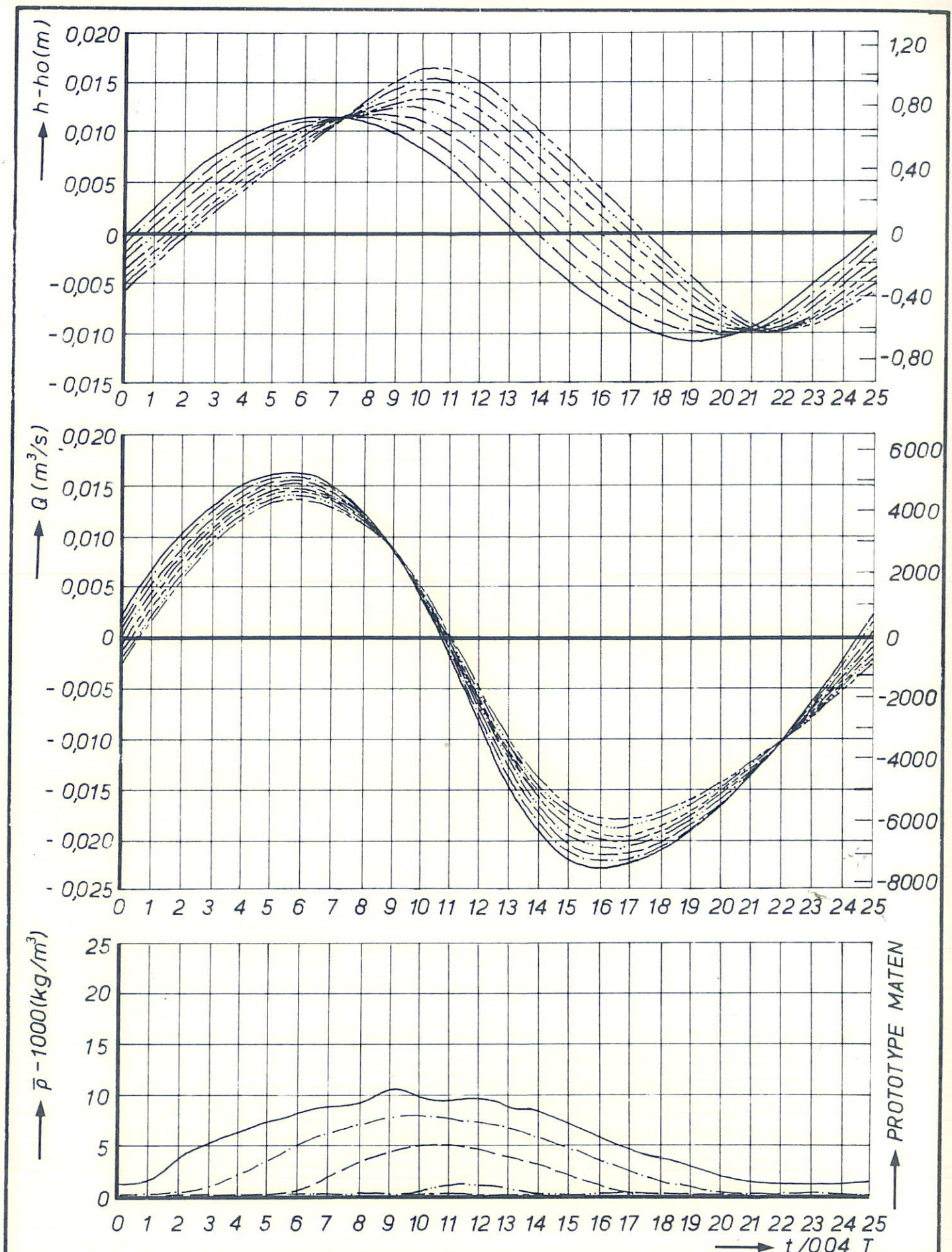
ONDERZOEK VARIATIE ZOUTKONC. ZEE
PROEF T 143 ($c_z = 5 \text{ kg/m}^3$)

$X/\Delta X = 2, 4, 6,$	WK
$X/\Delta X = 8, 10, 12,$	
$X/\Delta X = 14, 16.$	A4



ONDERZOEK VARIATIE ZOUTKONC. ZEE
PROEF T 142 ($c_z = 10 \text{ kg/m}^3$)

—	$X/\Delta X = 2, 4, 6,$	WK
---	$X/\Delta X = 8, 10, 12,$	
---	$X/\Delta X = 14, 16.$	A4

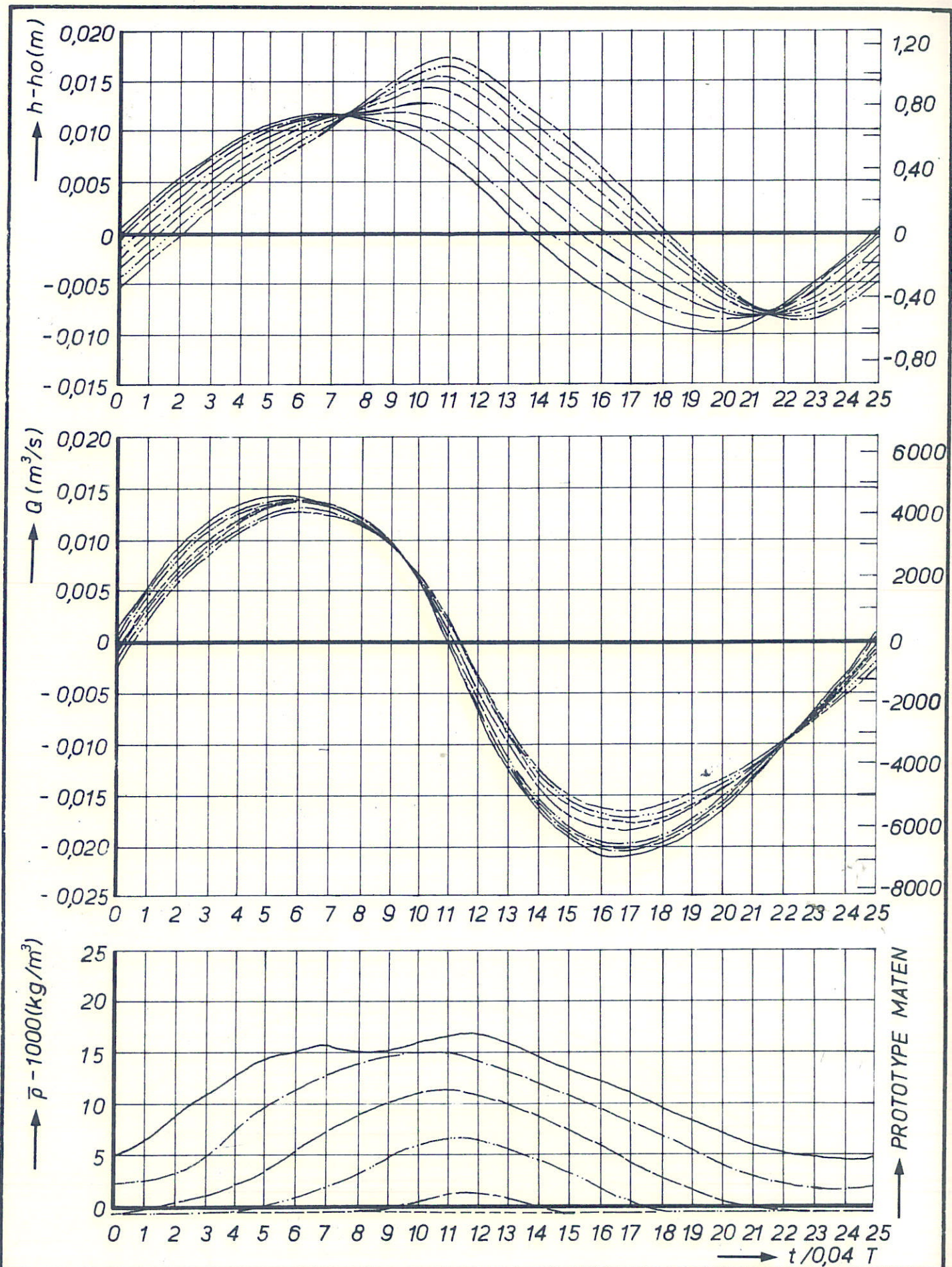


ONDERZOEK VARIATIE ZOUTKONC. ZEE
PROEF T 142 ($c_z = 20 \text{ kg/m}^3$)

$X/\Delta X = 2, 4, 6,$
 $X/\Delta X = 8, 10, 12,$
 $X/\Delta X = 14, 16.$

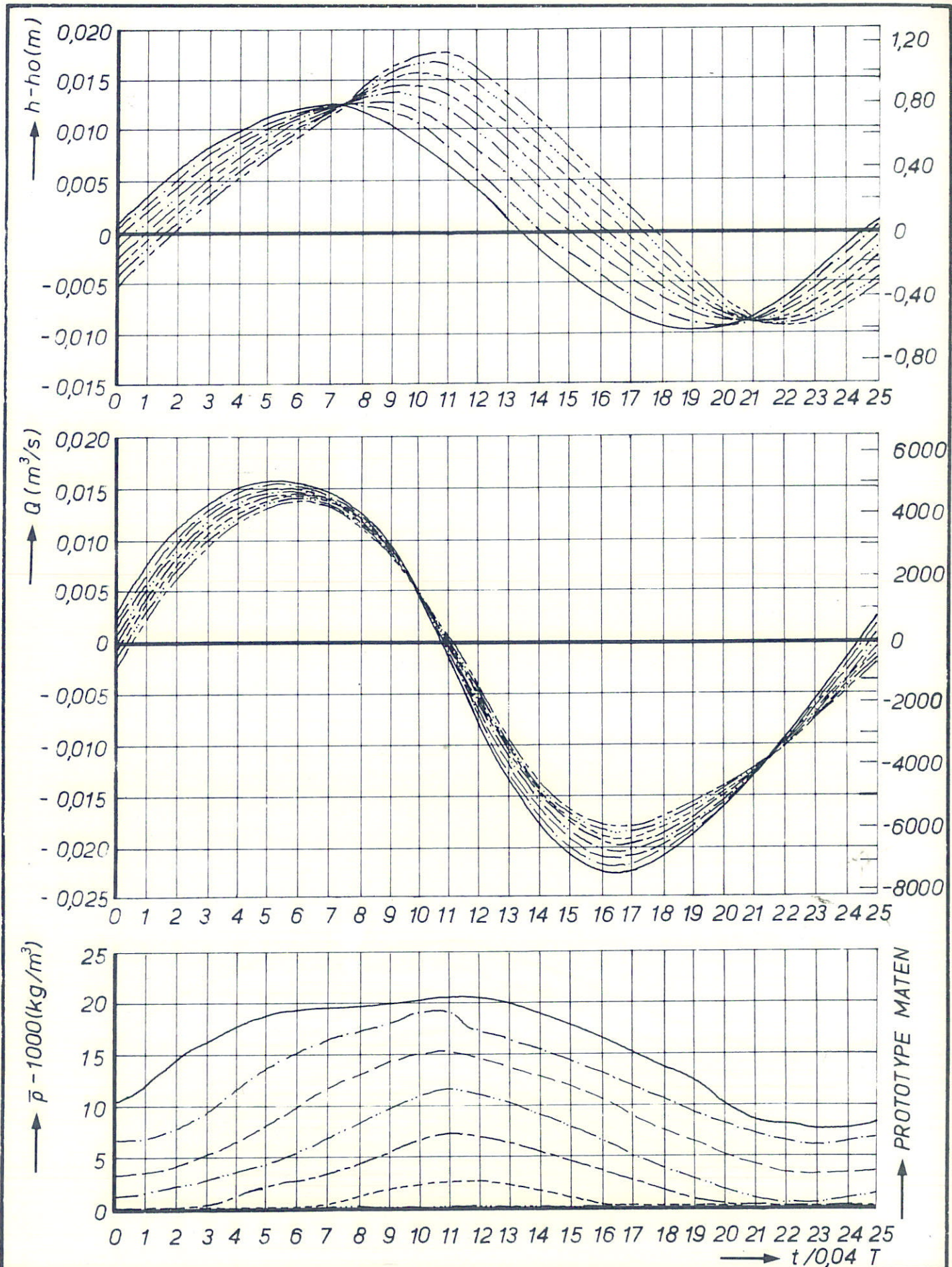
WK

A4



ONDERZOEK VARIATIE ZOUTKONC. ZEE
PROEF T3 ($C_z = 30 \text{ kg/m}^3$)

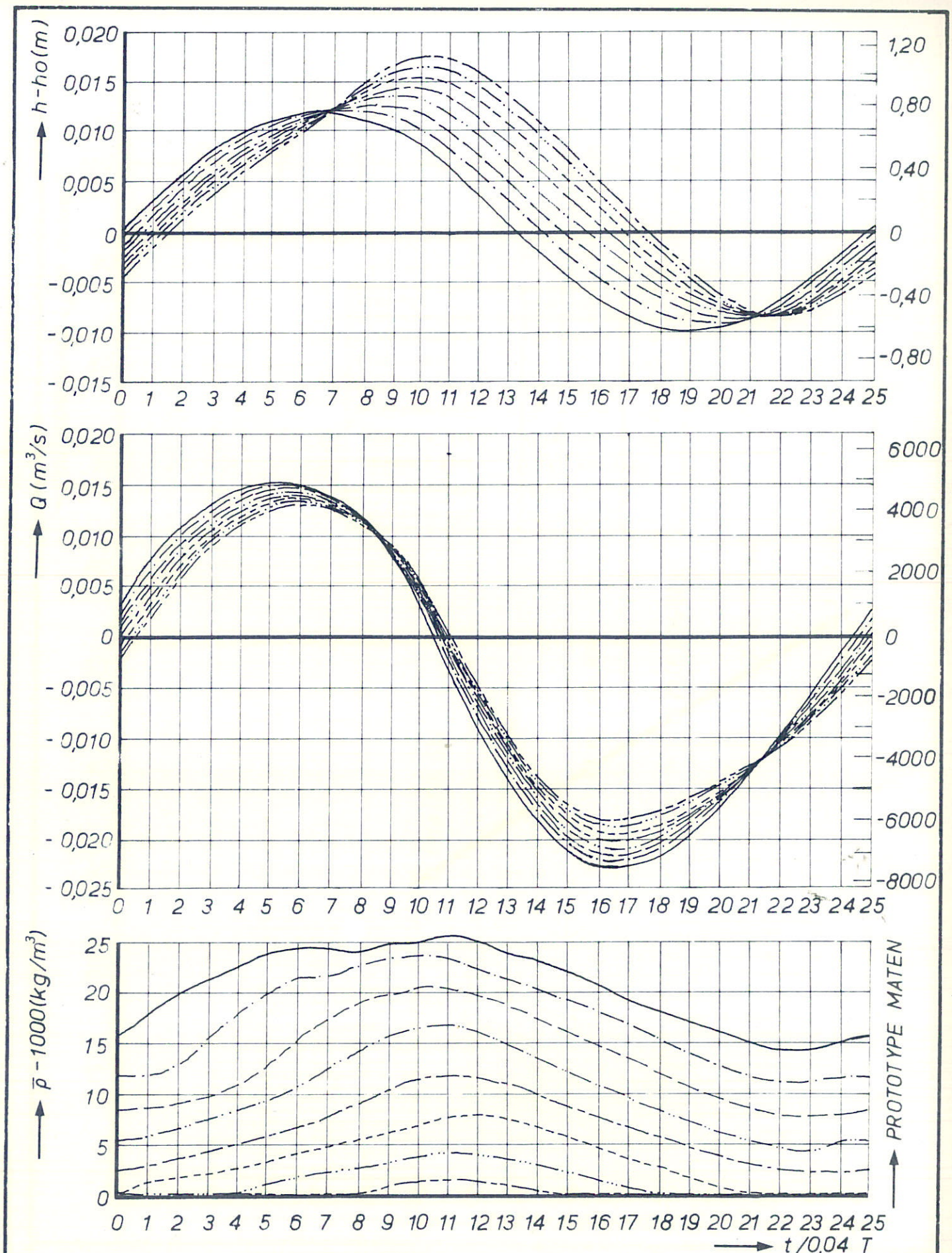
$X/\Delta X = 2, 4, 5,$	WK
$X/\Delta X = 8, 10, 12,$	
$X/\Delta X = 14, 16.$	A4



ONDERZOEK VARIATIE ZOUTKONC. ZEE
PROEF T 140 ($c_z = 40 \text{ kg/m}^3$)

$X/\Delta X = 2, 4, 5,$
 $X/\Delta X = 8, 10, 12,$
 $X/\Delta X = 14, 16.$

WK
A4

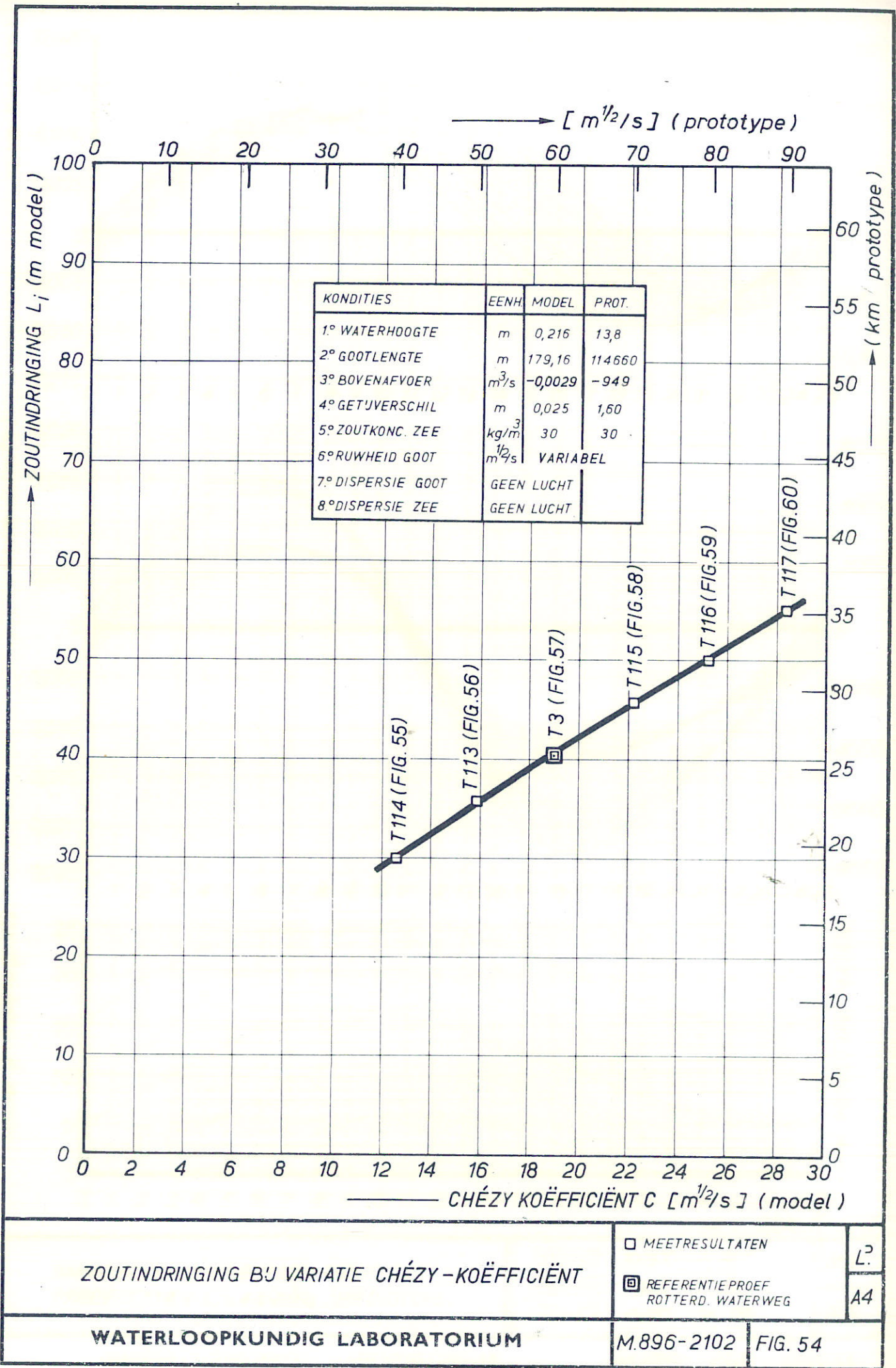


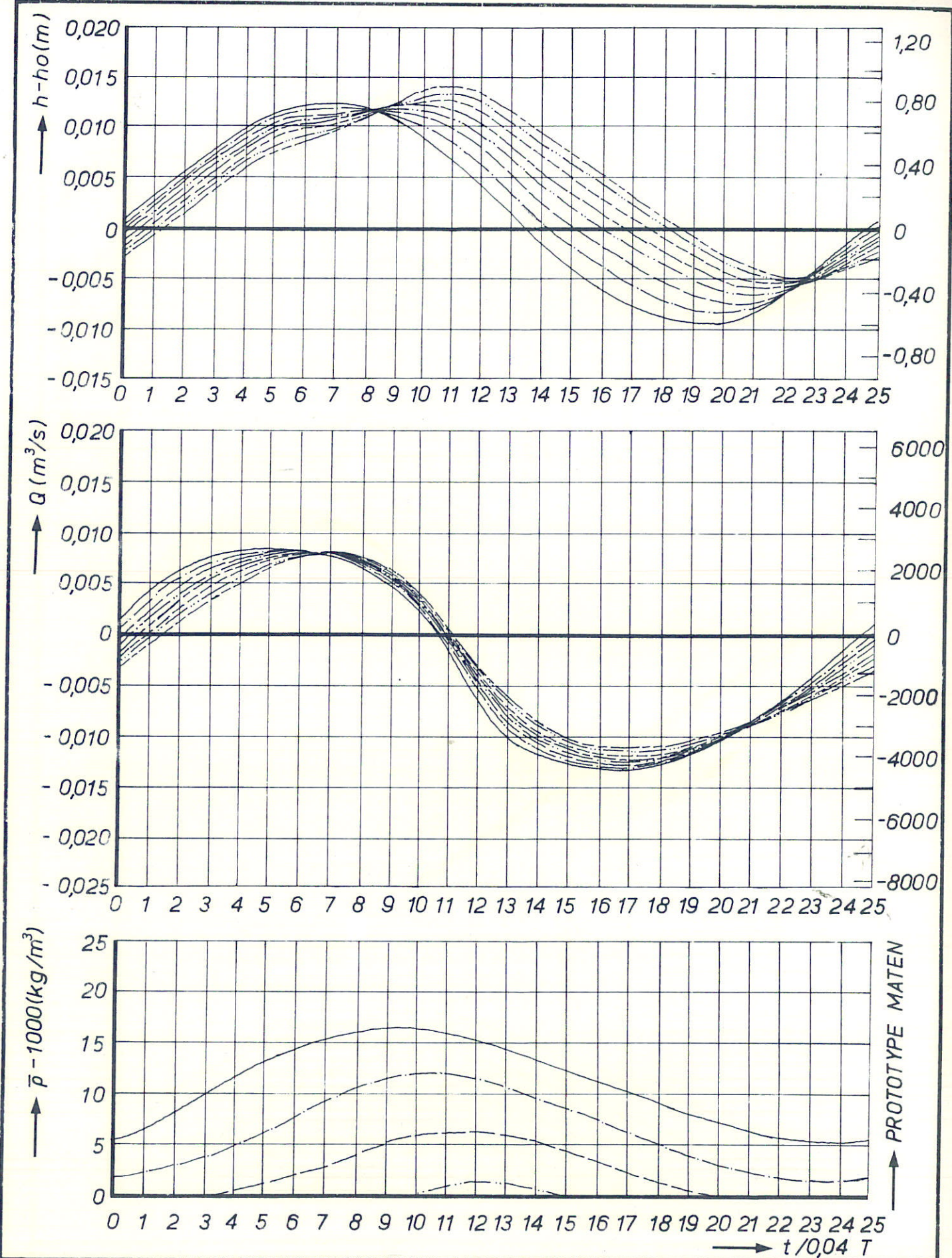
ONDERZOEK VARIATIE ZOUTKONC. ZEE
PROEF T 144 ($c_z = 50 \text{ kg/m}^3$)

— X/ΔX = 2, 4, 5,
— X/ΔX = 8, 10, 12,
— X/ΔX = 14, 16.

PROTOTYPE MATEREN

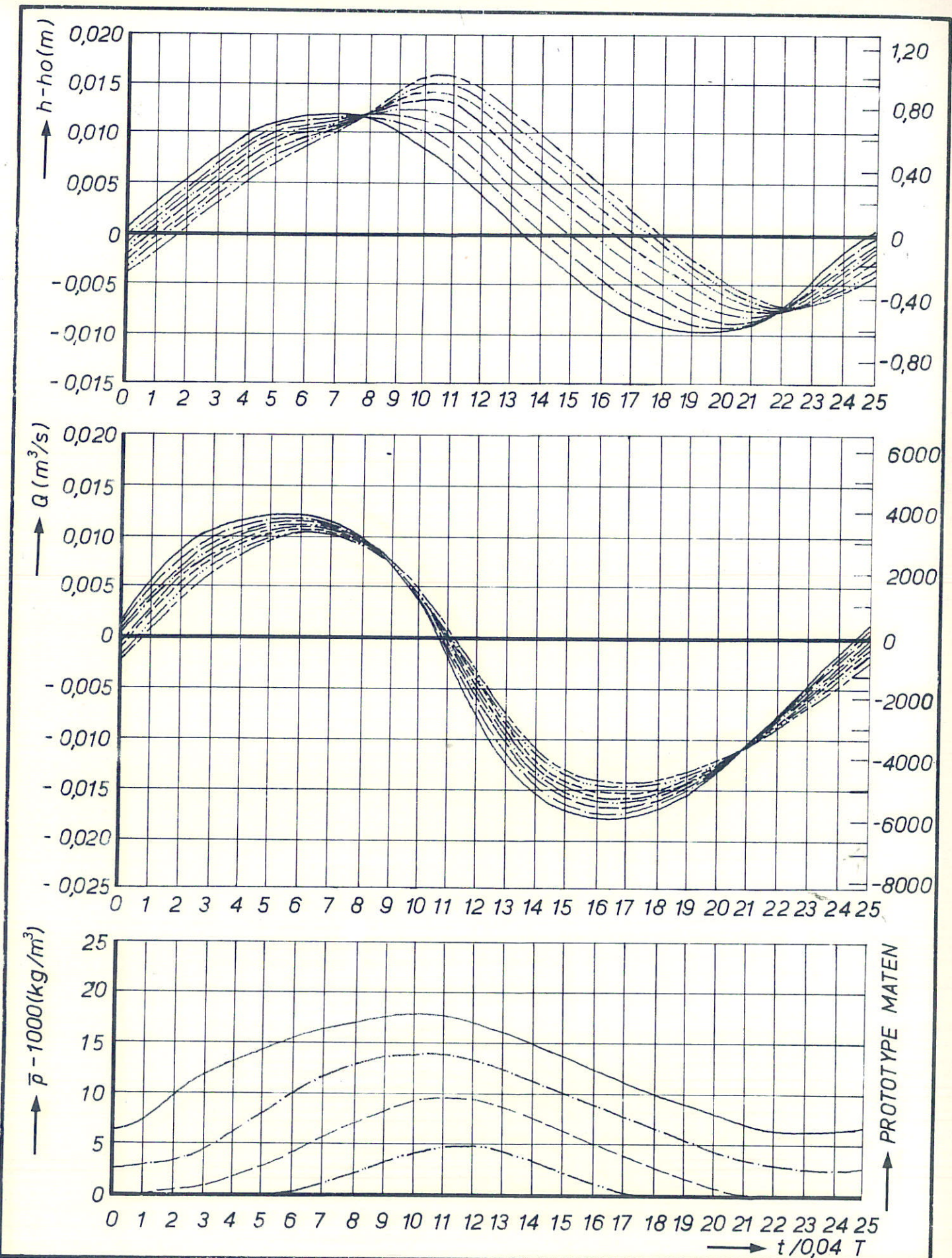
FIG. 53





ONDERZOEK VARIATIE RUWHEID
PROEF T 114 (C = 40 m^{1/2}/s PROTOTYPE)

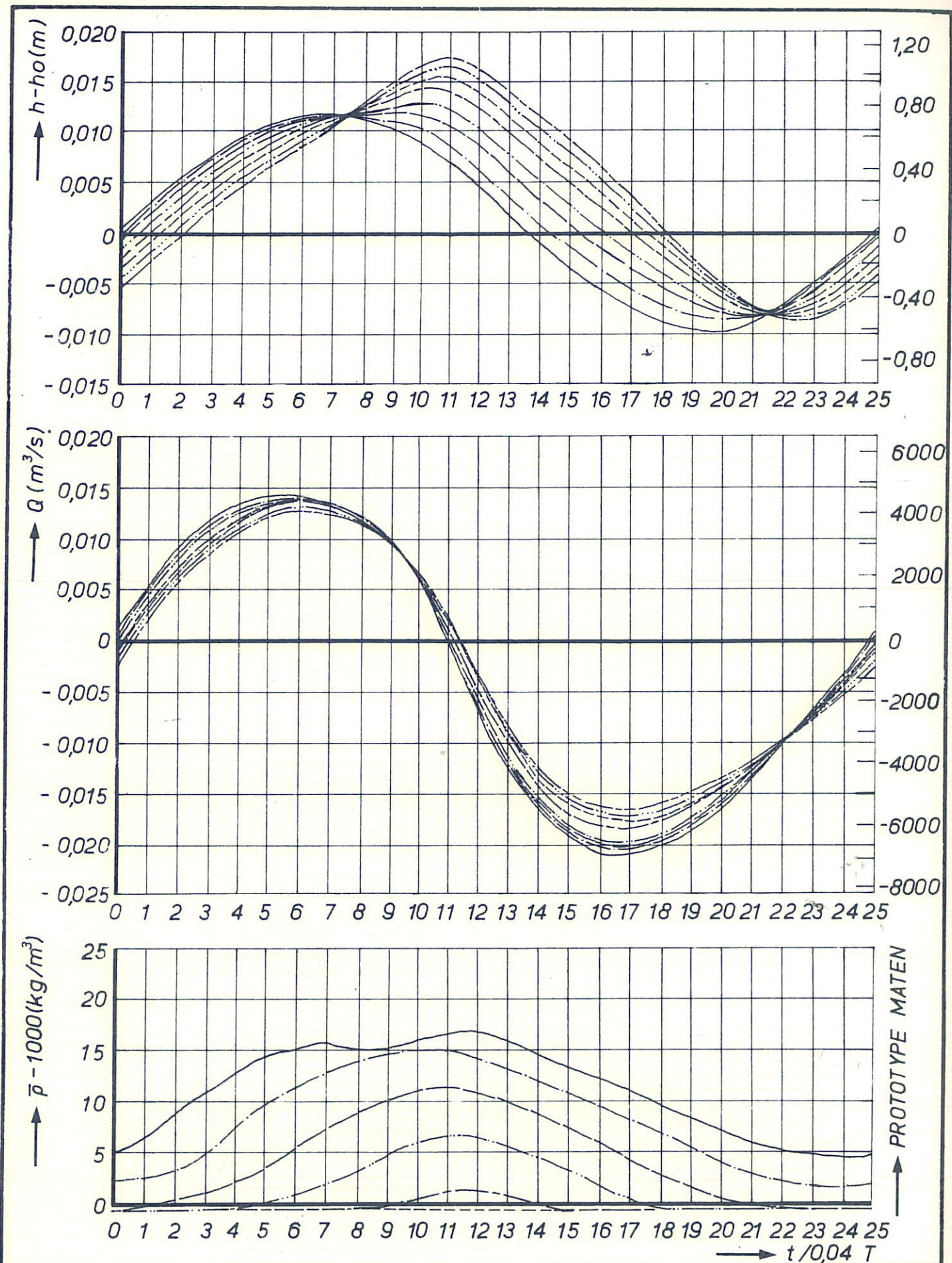
$X/\Delta X = 2, 4, 6$	WK
$X/\Delta X = 8, 10, 12$	
$X/\Delta X = 14, 16$	A4



ONDERZOEK VARIATIE RUWHEID
PROEF T 113 ($C = 50 \text{ m}^{1/2}/\text{s}$ PROTOTYPE)

$X/\Delta X = 2, 4, 6$,
 $X/\Delta X = 8, 10, 12$,
 $X/\Delta X = 14, 16$.

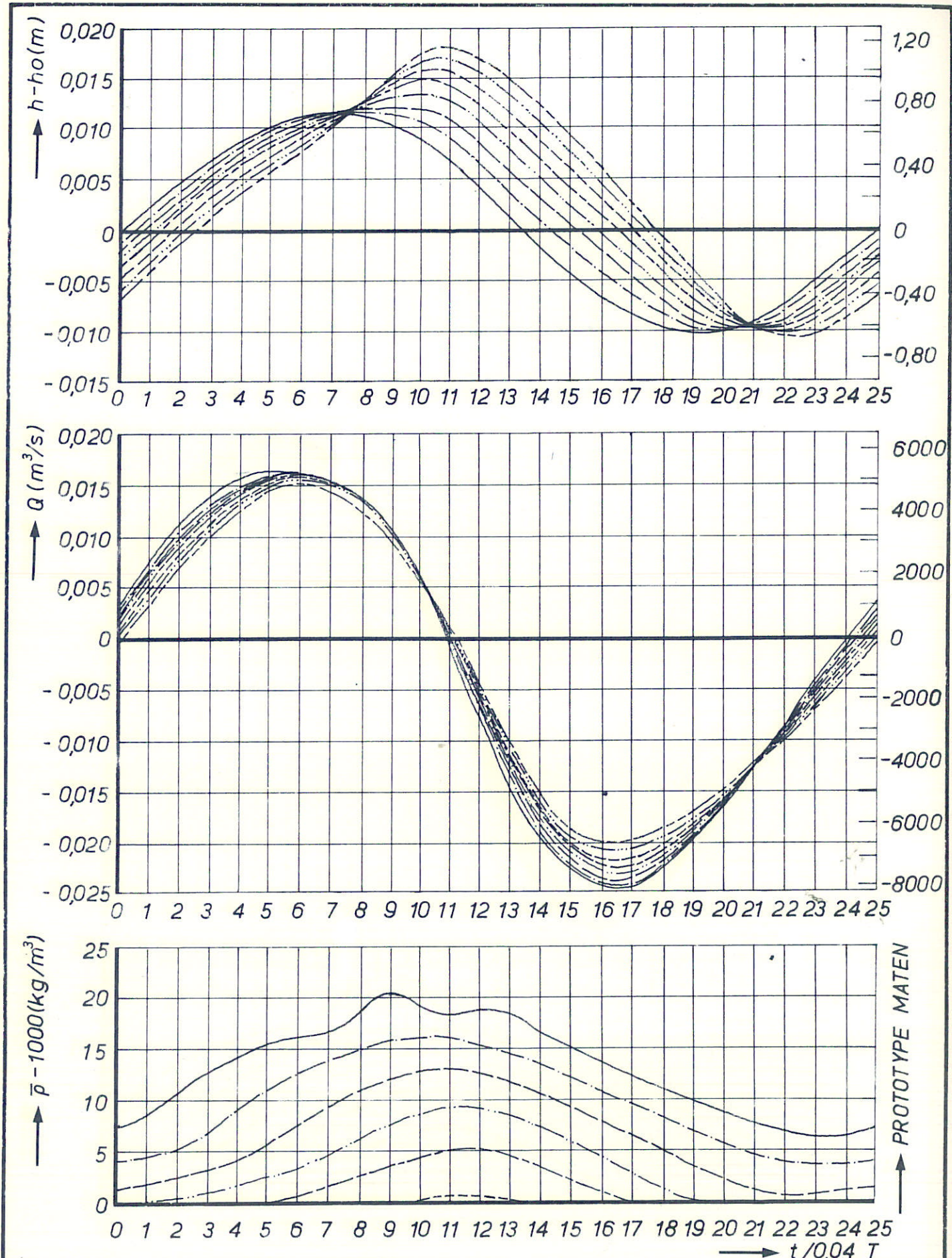
WK
A4



ONDERZOEK VARIATIE RUWHEID
PROEF T3 ($C = 60 \text{ m}^{1/2}/\text{s}$ PROTOTYPE)

$X/\Delta X = 2, 4, 6,$
 $X/\Delta X = 8, 10, 12,$
 $X/\Delta X = 14, 16.$

WK
A4

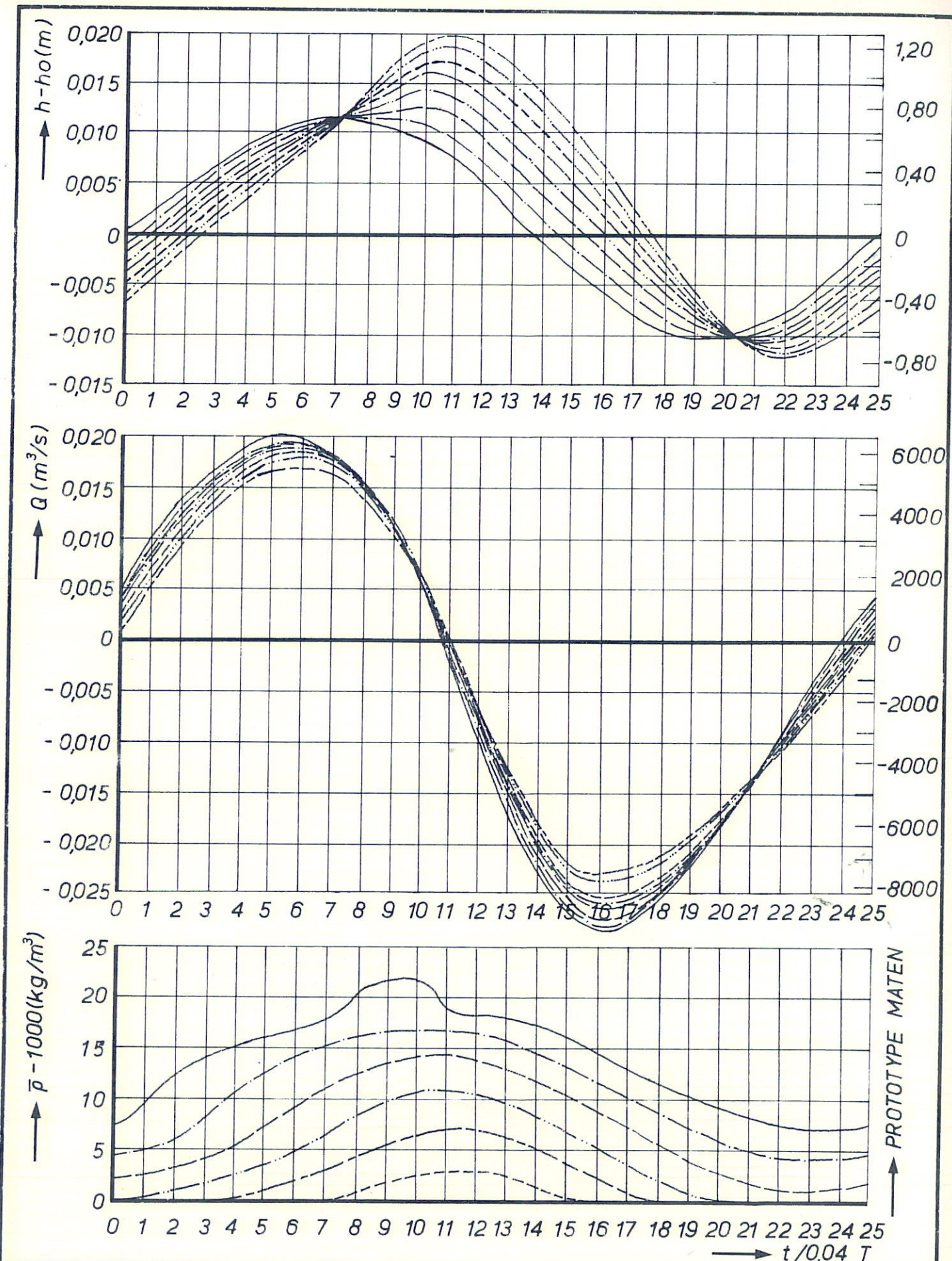


ONDERZOEK VARIATIE RUWHEID
PROEF T115 ($C = 70 \text{ m}^{1/2}/\text{s}$ PROTOTYPE)

$X/\Delta X = 2, 4, 5$, $\bar{p} - 1000$ (kg/m³)
 $X/\Delta X = 8, 10, 12$, $\bar{p} - 1000$ (kg/m³)
 $X/\Delta X = 14, 16$, $\bar{p} - 1000$ (kg/m³)

WK

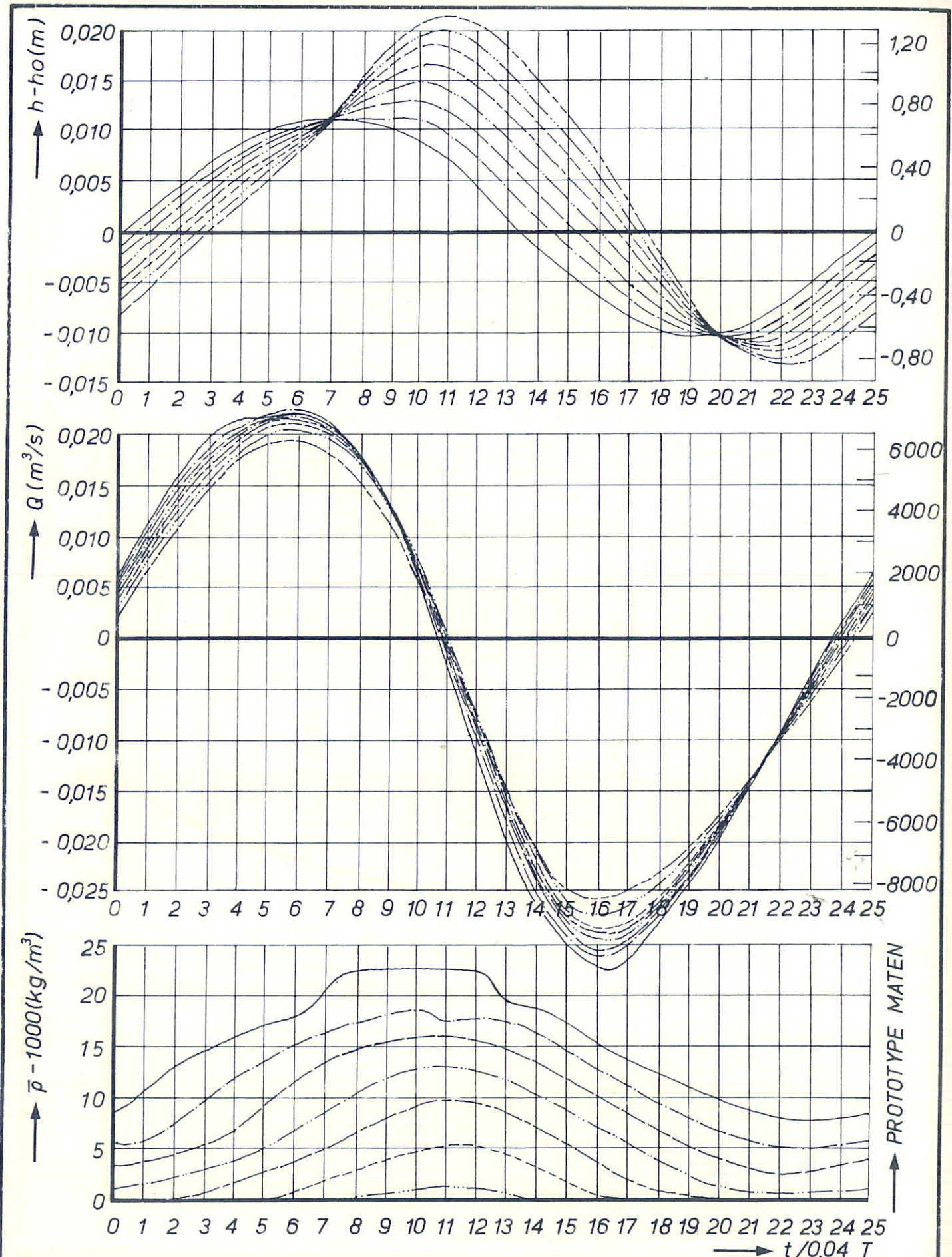
A4



ONDERZOEK VARIATIE RUWHEID
PROEF T116 ($C = 80 m^{1/2}/s$ PROTOTYPE)

$X/\Delta X = 2, 4, 6,$
 $X/\Delta X = 8, 10, 12,$
 $X/\Delta X = 14, 16.$

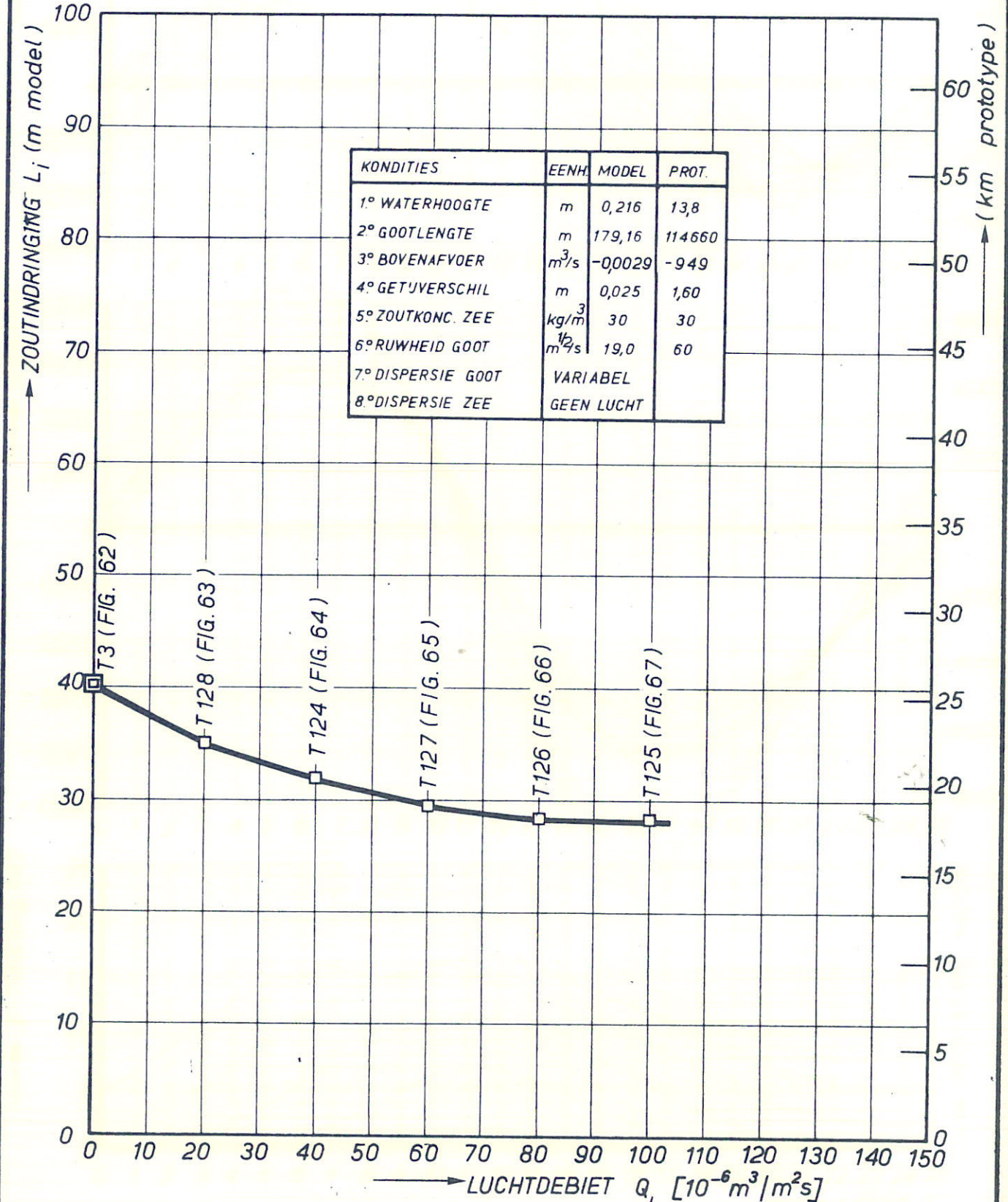
WK
A4



ONDERZOEK VARIATIE RUWHEID
PROEF T 117 ($C = 90 \text{ m}^{1/2}/\text{s}$ PROTOTYPE)

$X/\Delta X = 2, 4, 6,$
 $X/\Delta X = 8, 10, 12,$
 $X/\Delta X = 14, 16.$

WK
A4



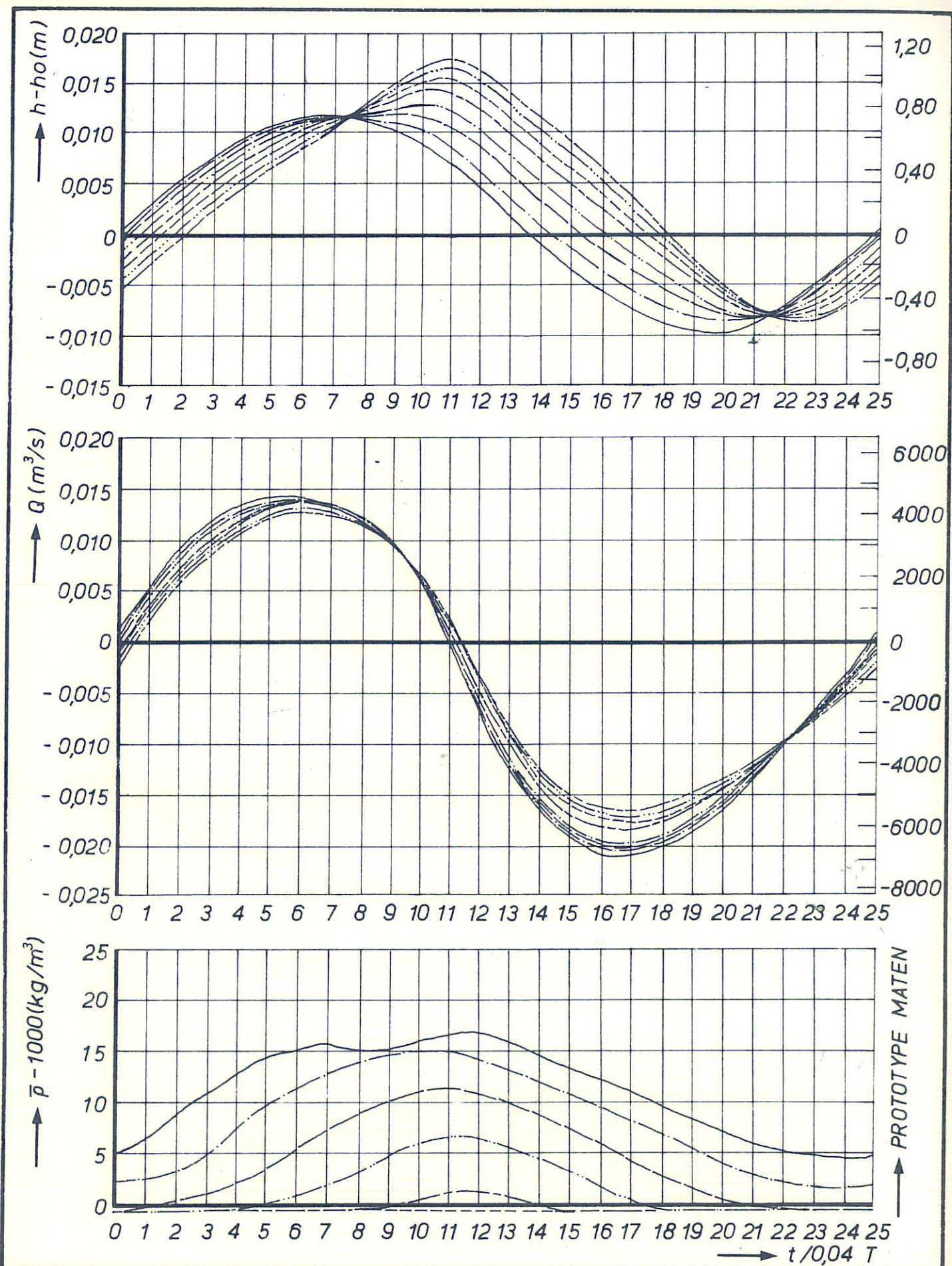
ZOUTINDRINGING BIJ VARIATIE LUCHTINJEKTIE GOOT

□ MEETRESULTATEN

6

■ REFERENTIEPROEF
ROTTERD. WATERWEG

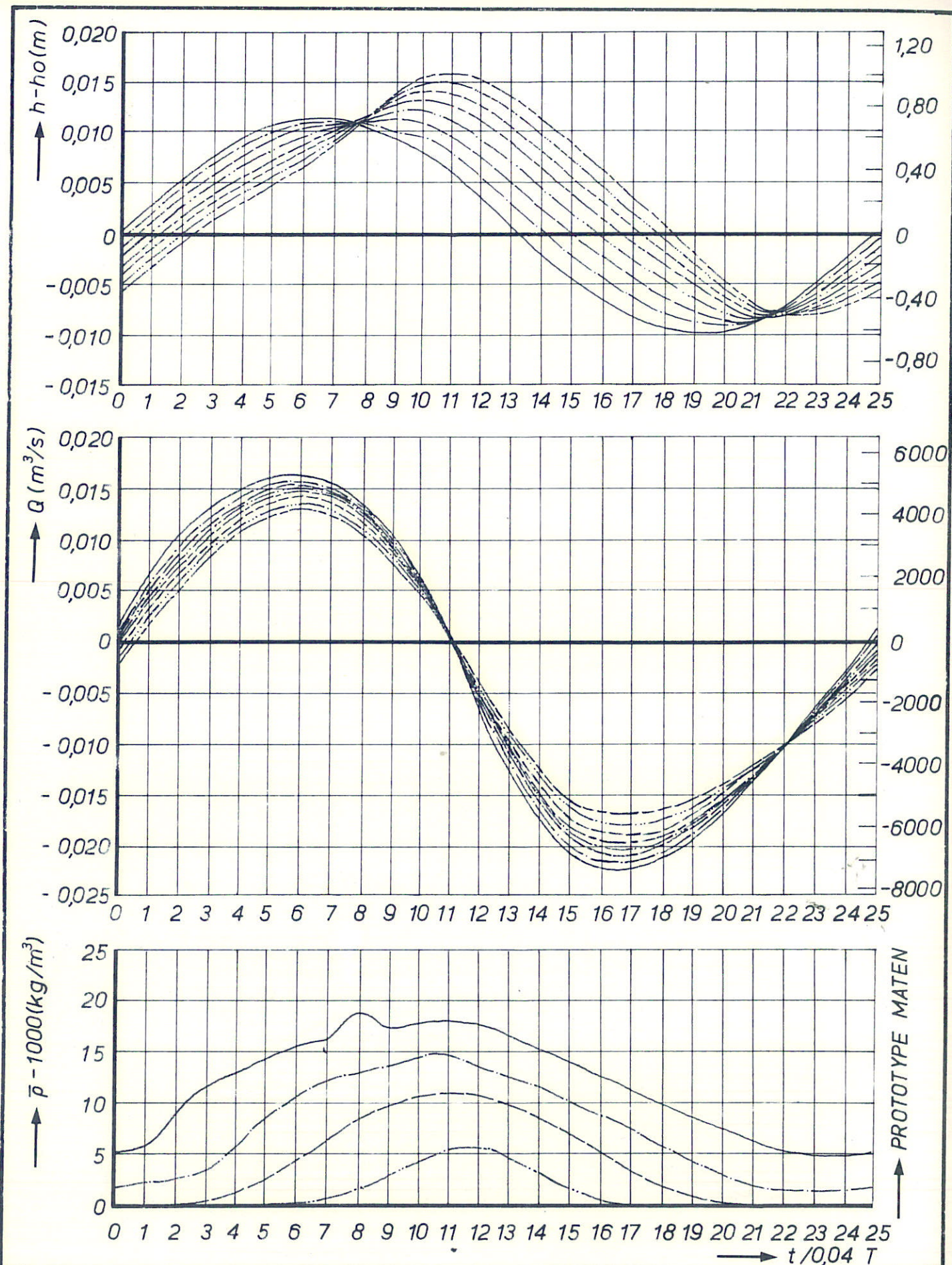
A4



ONDERZOEK VARIATIE LUCHTINJEKTIE
PROEF T3 ($Q_a = 0 \text{ cc}/\text{m}^2\text{s}$)

$X/\Delta X = 2, 4, 5,$
 $X/\Delta X = 8, 10, 12,$
 $X/\Delta X = 14, 16.$

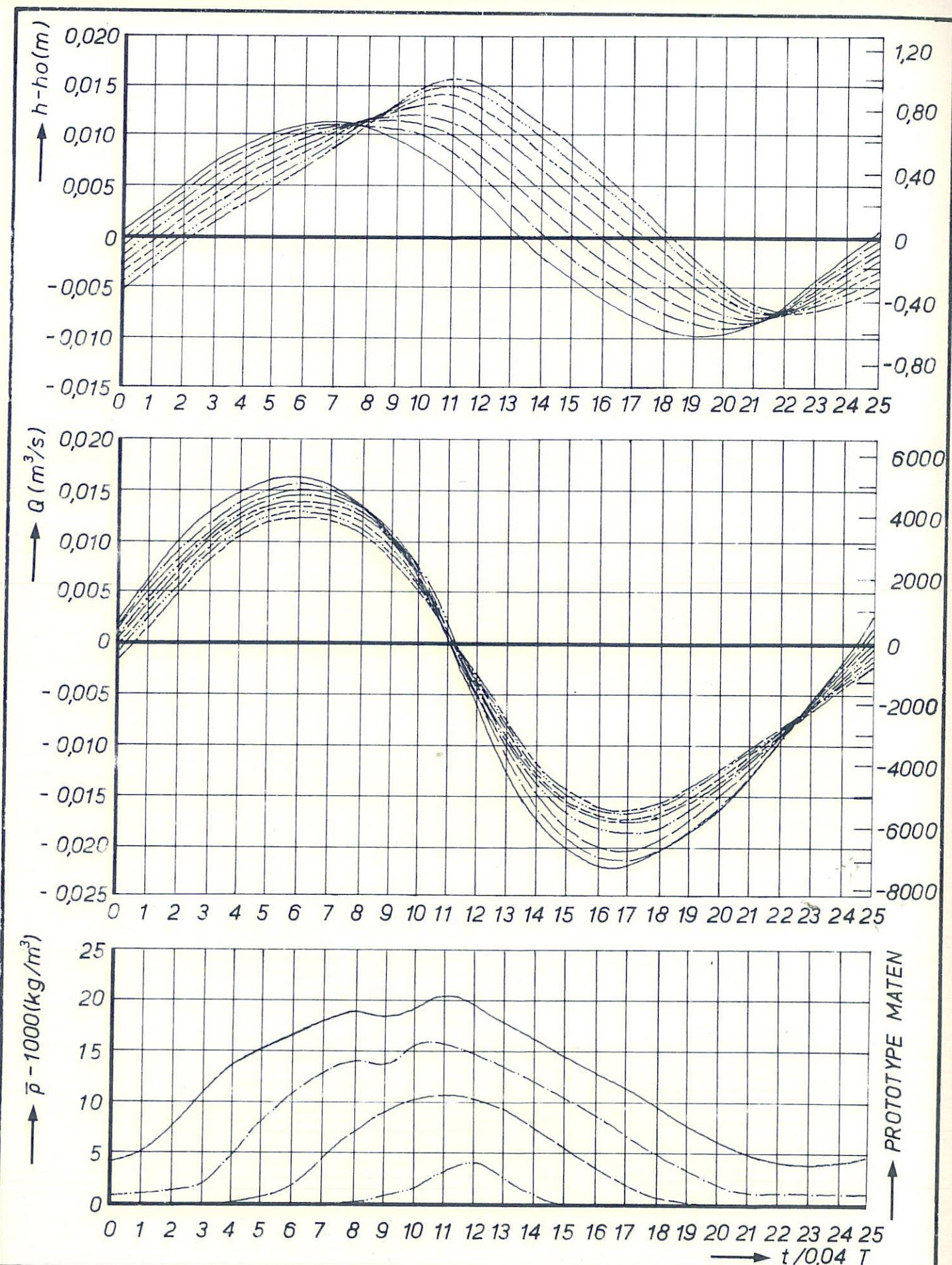
WK
A4



ONDERZOEK VARIATIE LUCHTINJEKTIE
PROEF T 128 ($Q_a = 20 \text{ cc}/\text{m}^2 \text{s}$)

==== $X/\Delta X = 2, 4, 6,$
===== $X/\Delta X = 8, 10, 12,$
===== $X/\Delta X = 14, 16.$

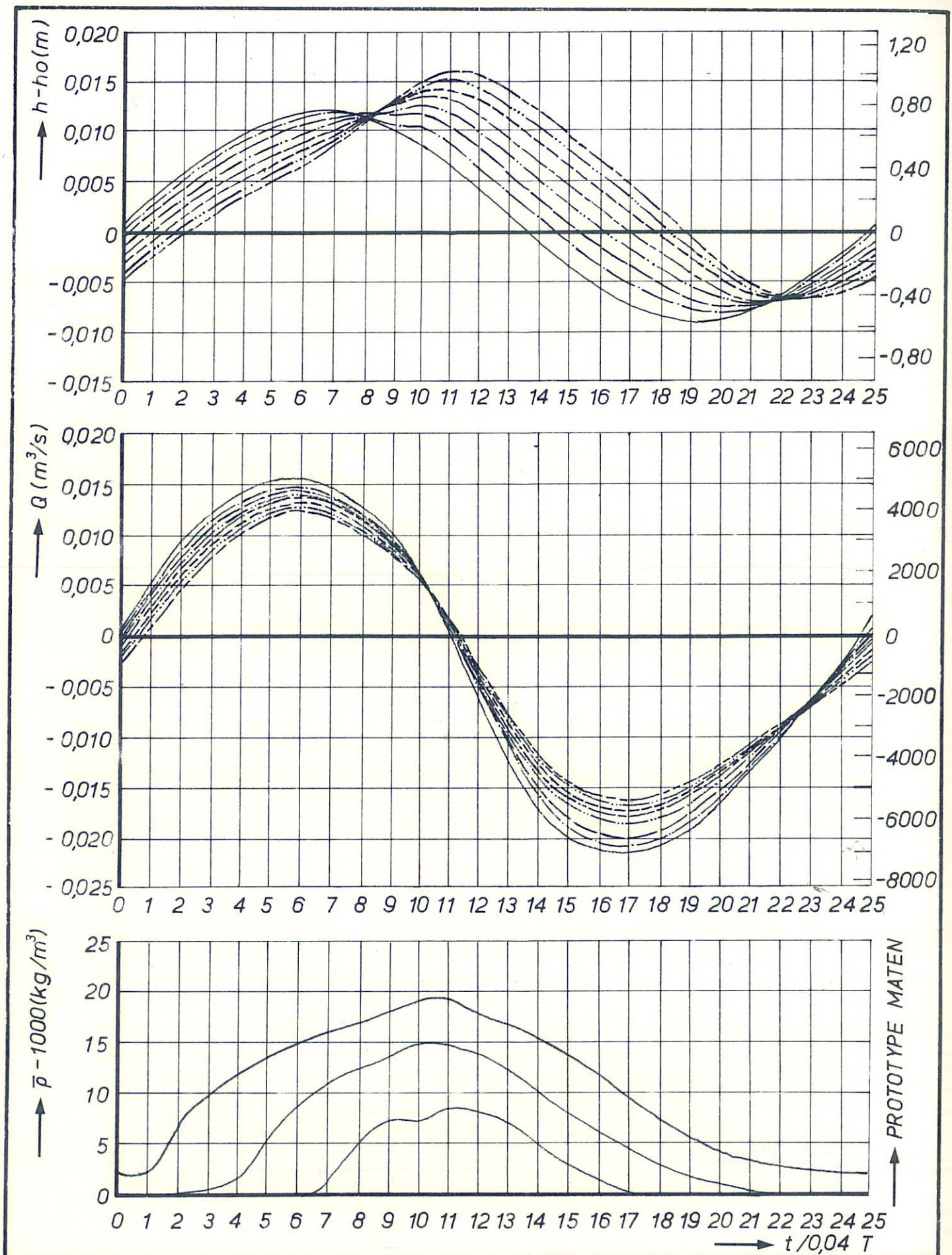
WK
A4



ONDERZOEK VARIATIE LUCHTINJEKTIE
PROEF T124 ($Q_a = 40 \text{ cc}/\text{m}^2\text{s}$)

— X/ΔX = 2, 4, 5,
— X/ΔX = 8, 10, 12,
— X/ΔX = 14, 16.

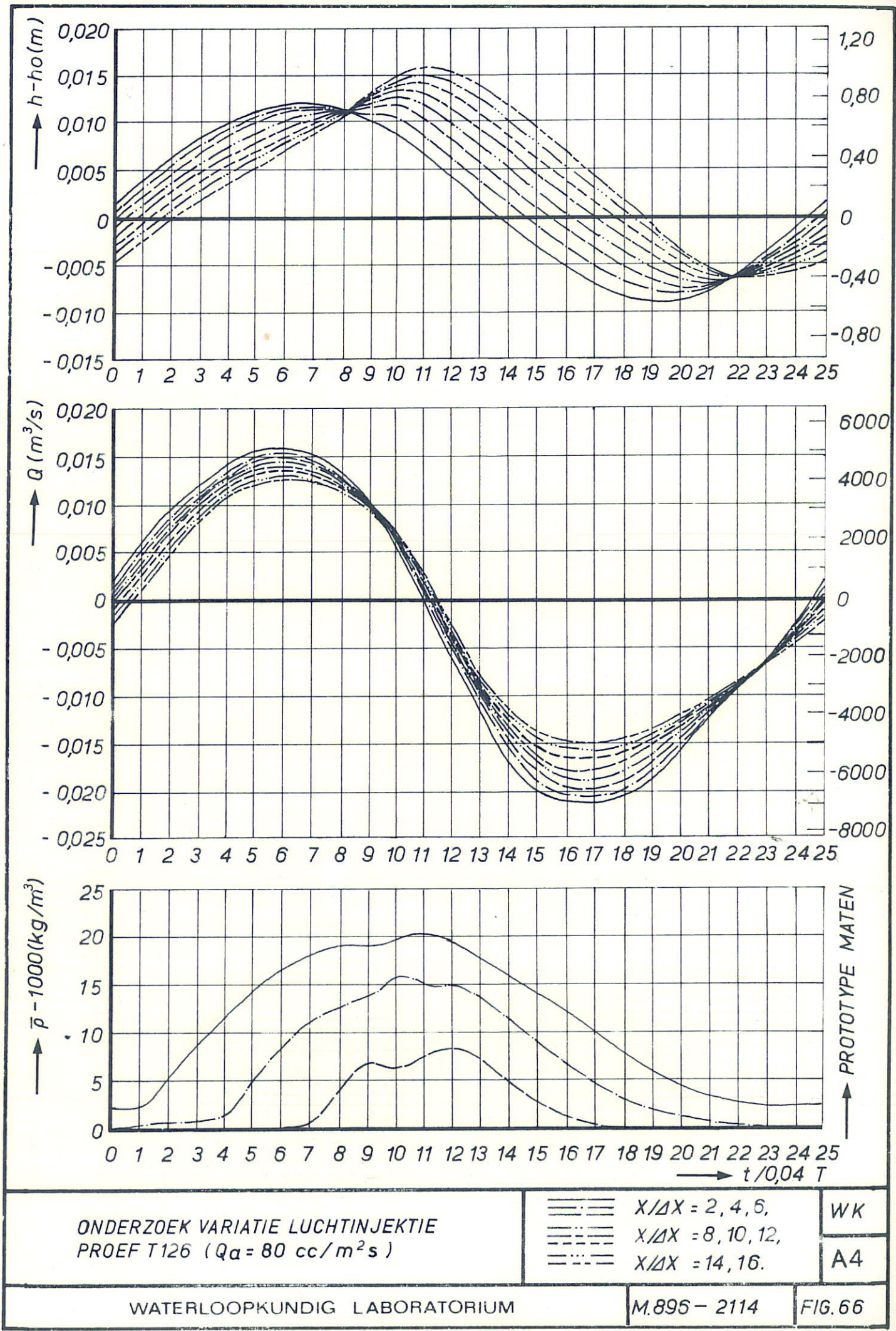
WK
A4

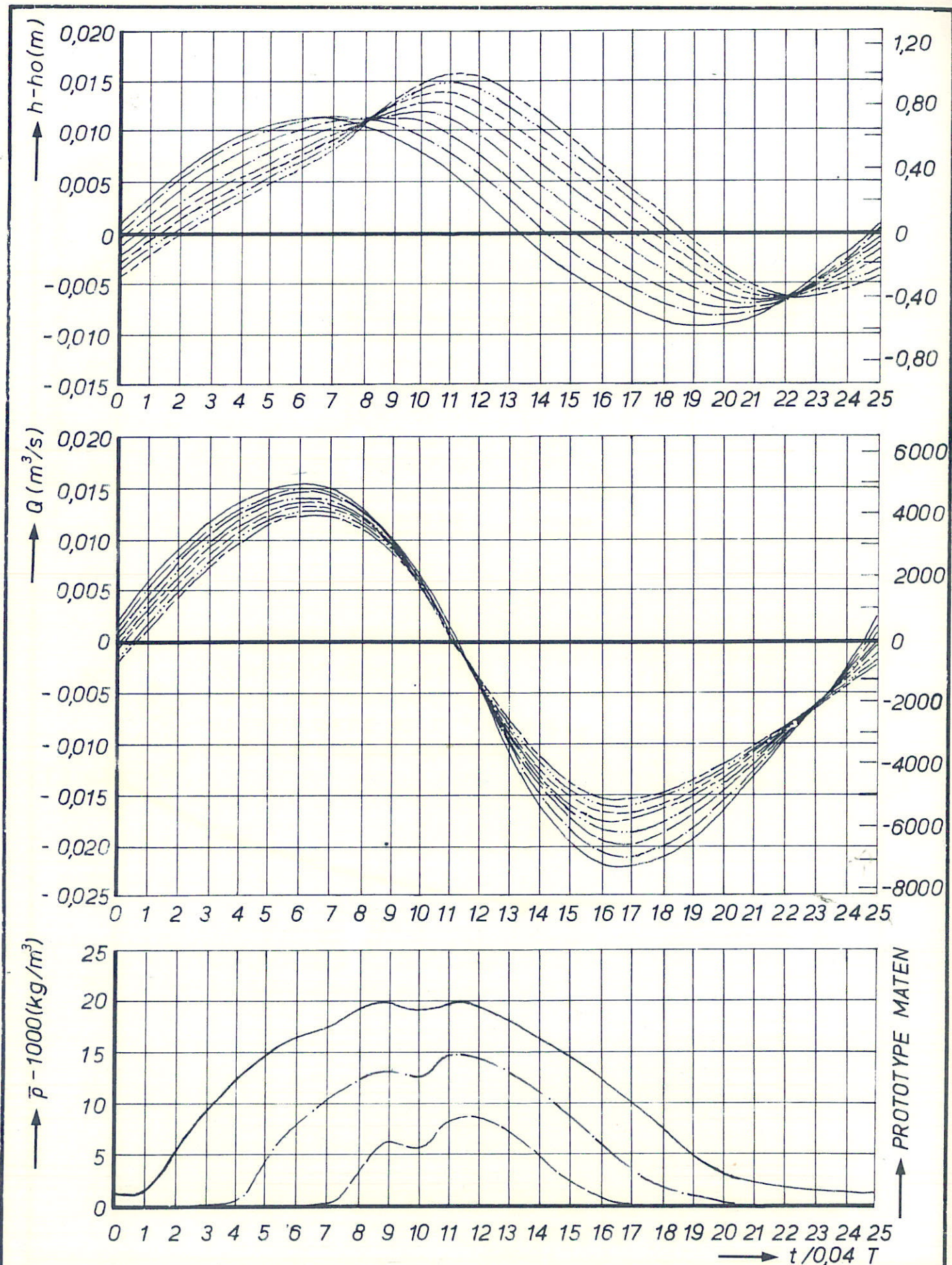


ONDERZOEK VARIATIE LUCHTINJEKTIE
PROEF T 127 ($Q_a = 60 \text{ cc}/\text{m}^2 \text{s}$)

— X/ΔX = 2, 4, 6,
— X/ΔX = 8, 10, 12,
— X/ΔX = 14, 16.

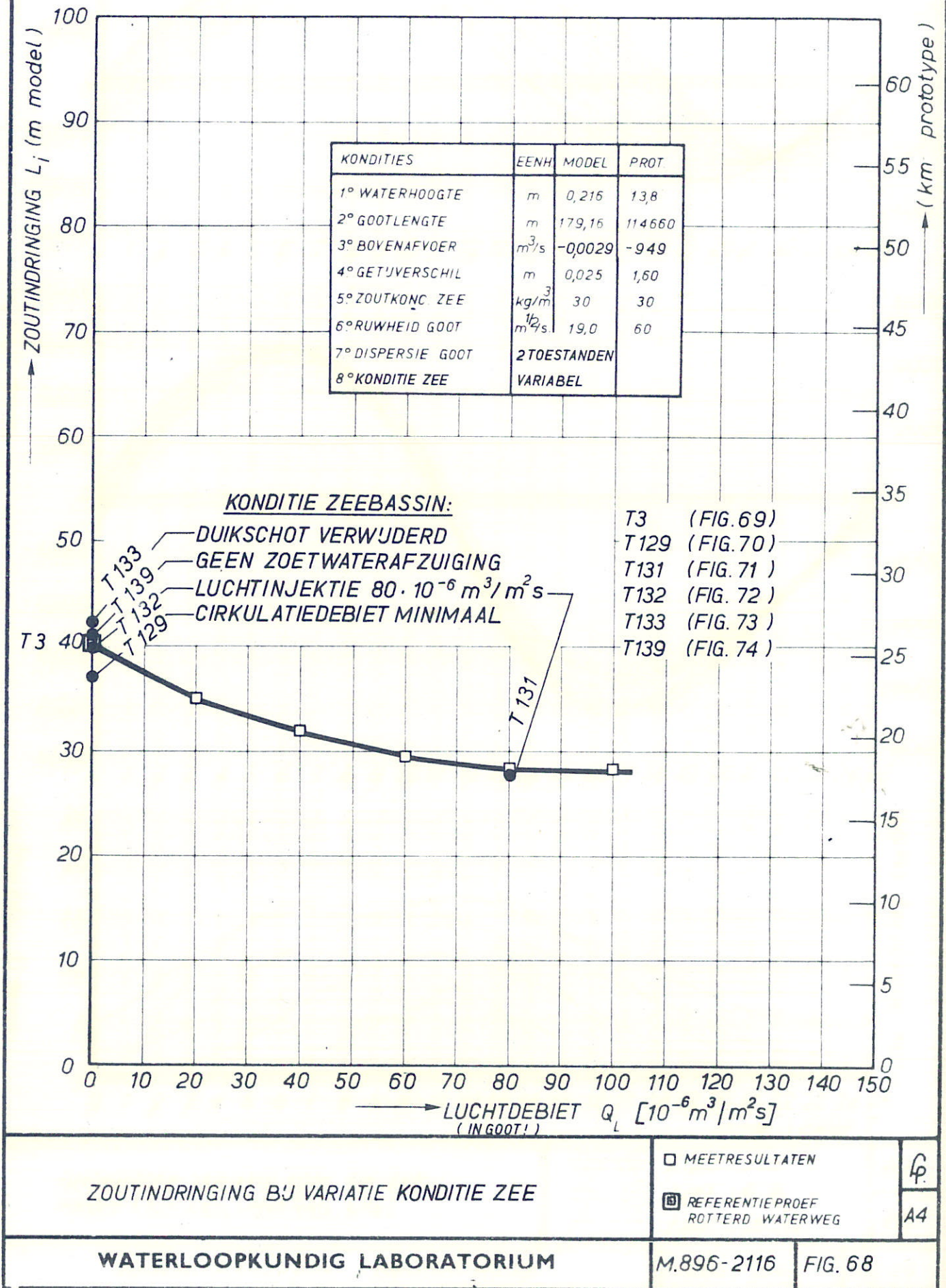
WK
A4

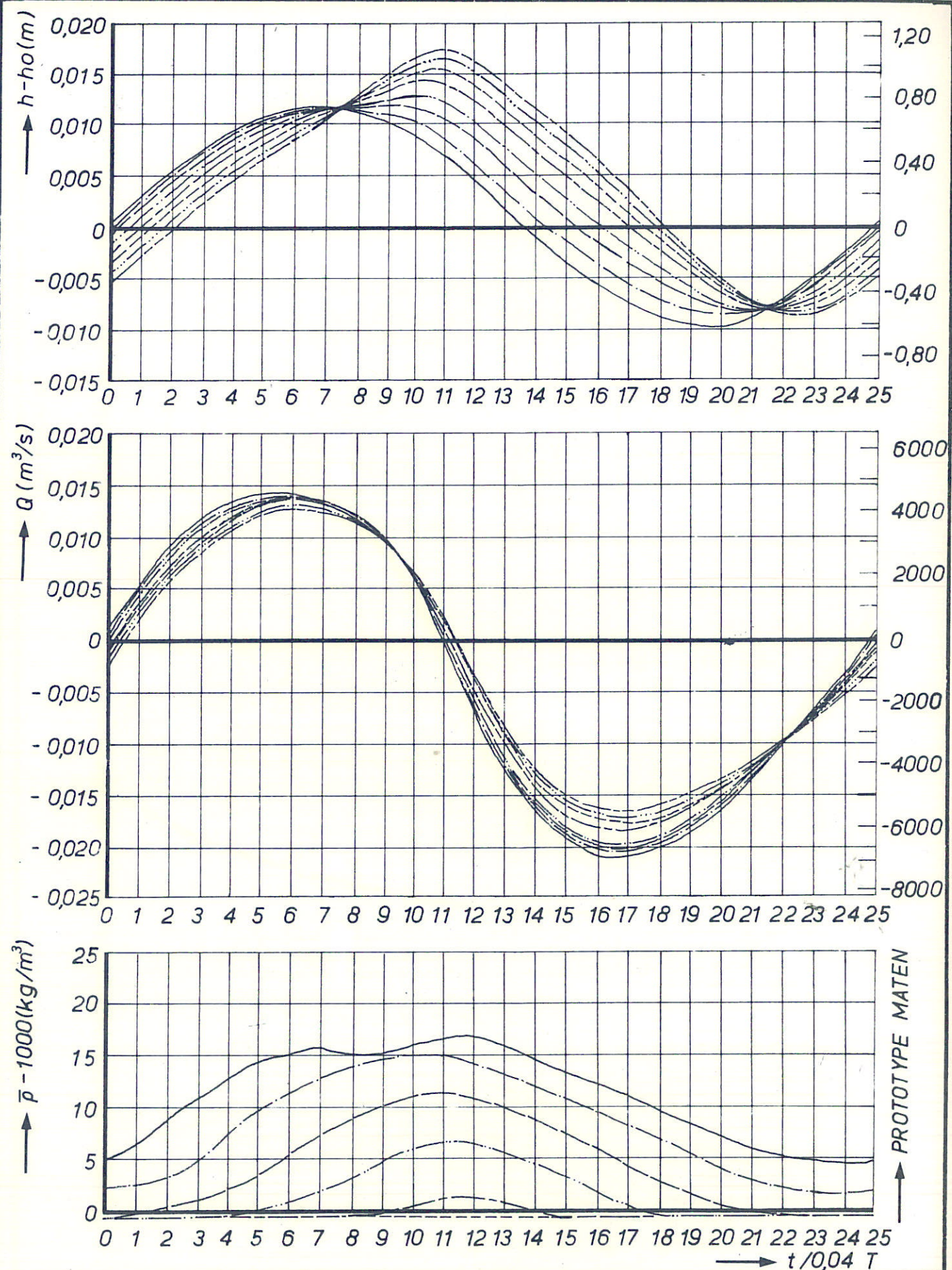




ONDERZOEK VARIATIE LUCHTINJEKTIE
PROEFT 125 ($Q_a = 100 \text{ cc}/m^2 \text{s}$)

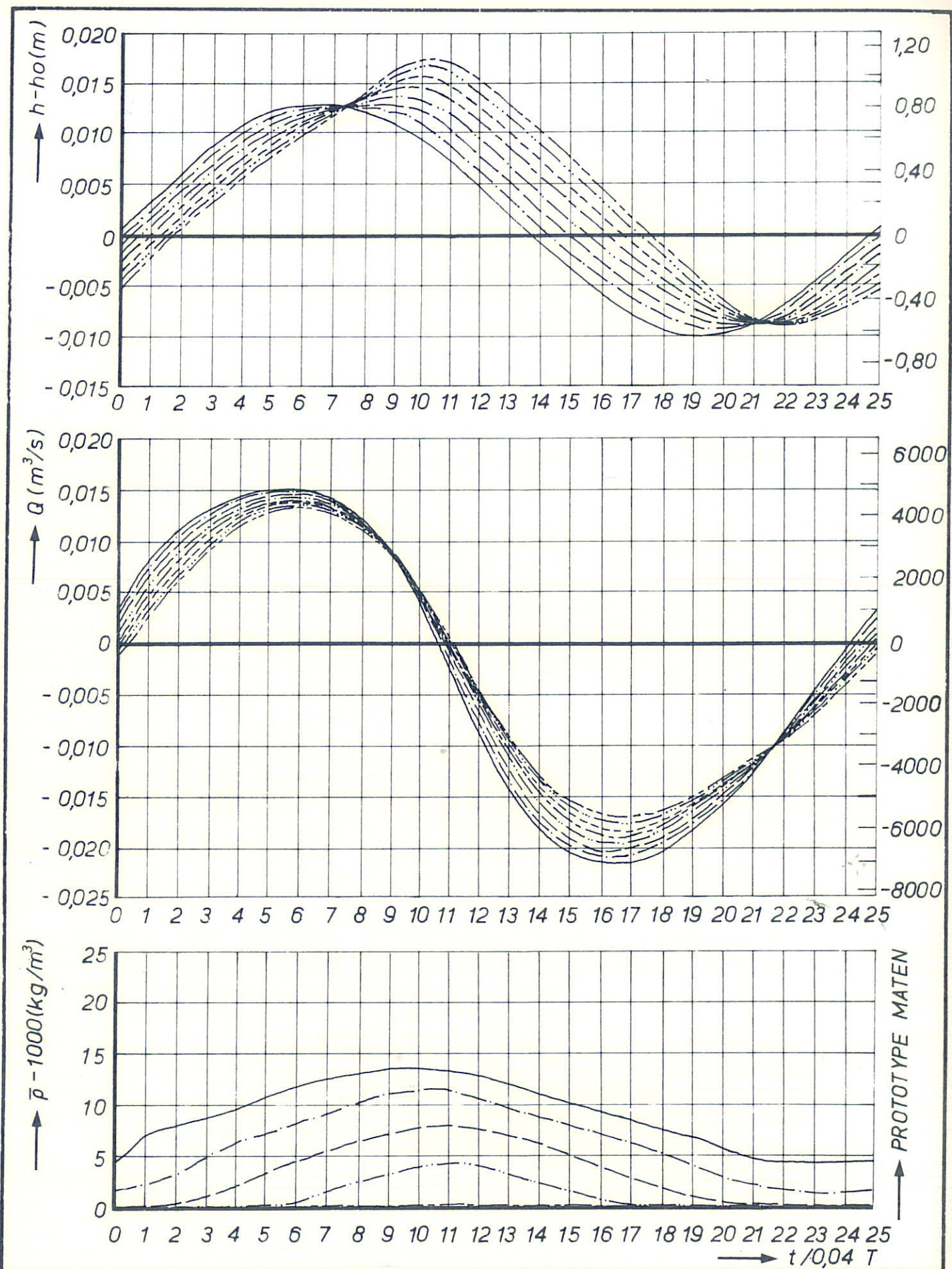
$====$	$X/\Delta X = 2, 4, 6,$	WK
$- - - -$	$X/\Delta X = 8, 10, 12,$	
$-----$	$X/\Delta X = 14, 16.$	A4





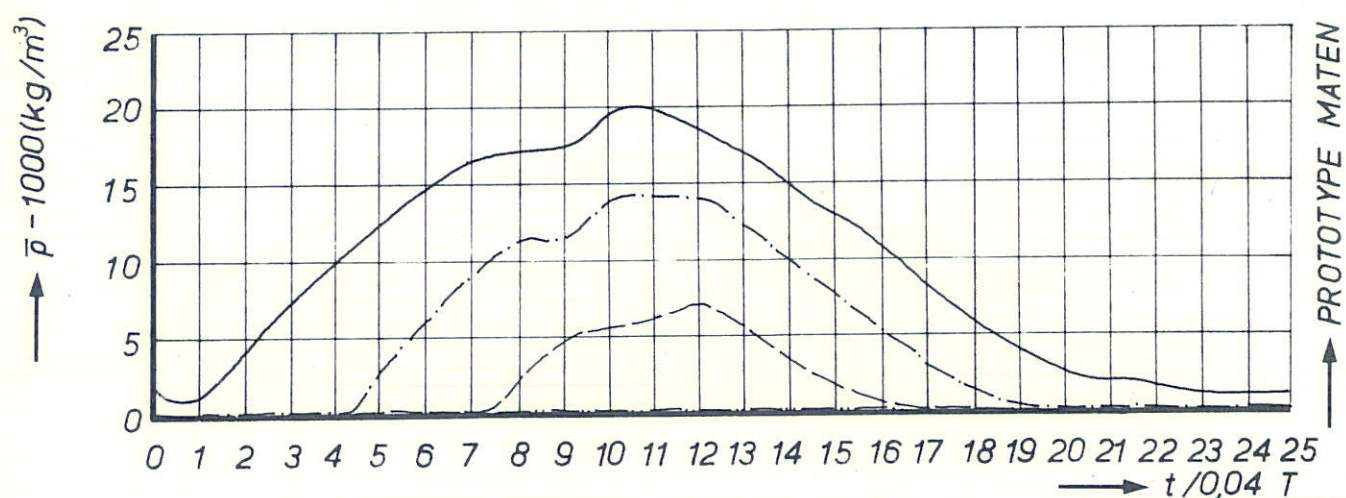
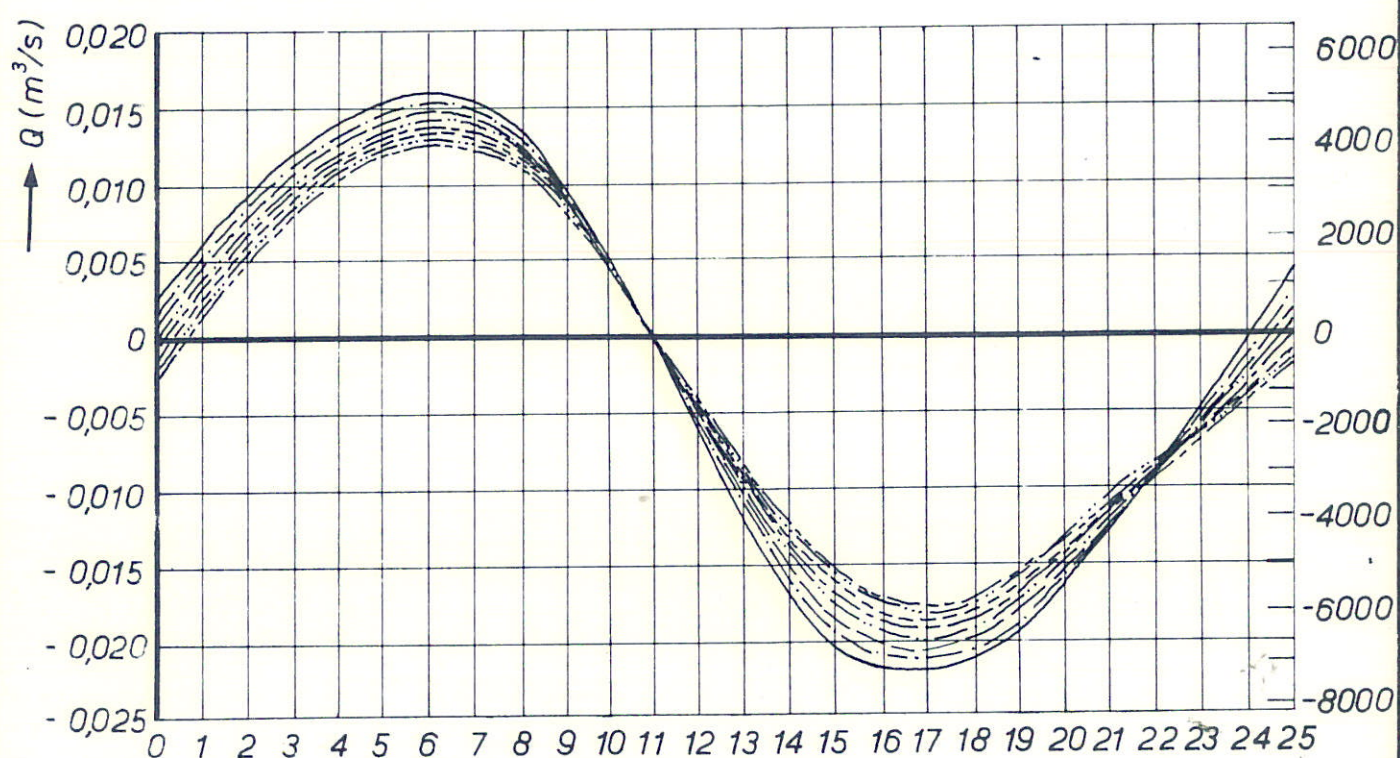
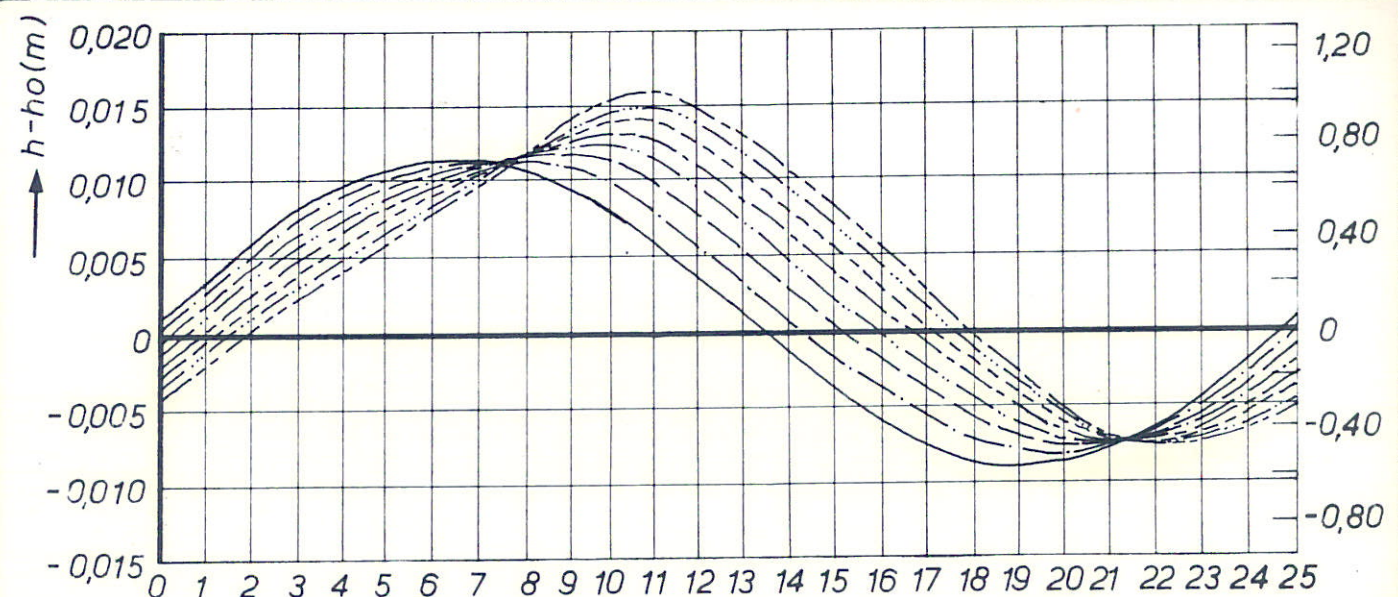
ONDERZOEK VARIATIE KONDITIE ZEE
PROEF T3 (ZEE ONVERANDERD)

$X/\Delta X = 2, 4, 5,$	WK
$X/\Delta X = 8, 10, 12,$	
$X/\Delta X = 14, 16.$	A4



ONDERZOEK VARIATIE KONDITIE ZEE
PROEF T 129 (CIRKULATIEDEBIET MINIMAAL)

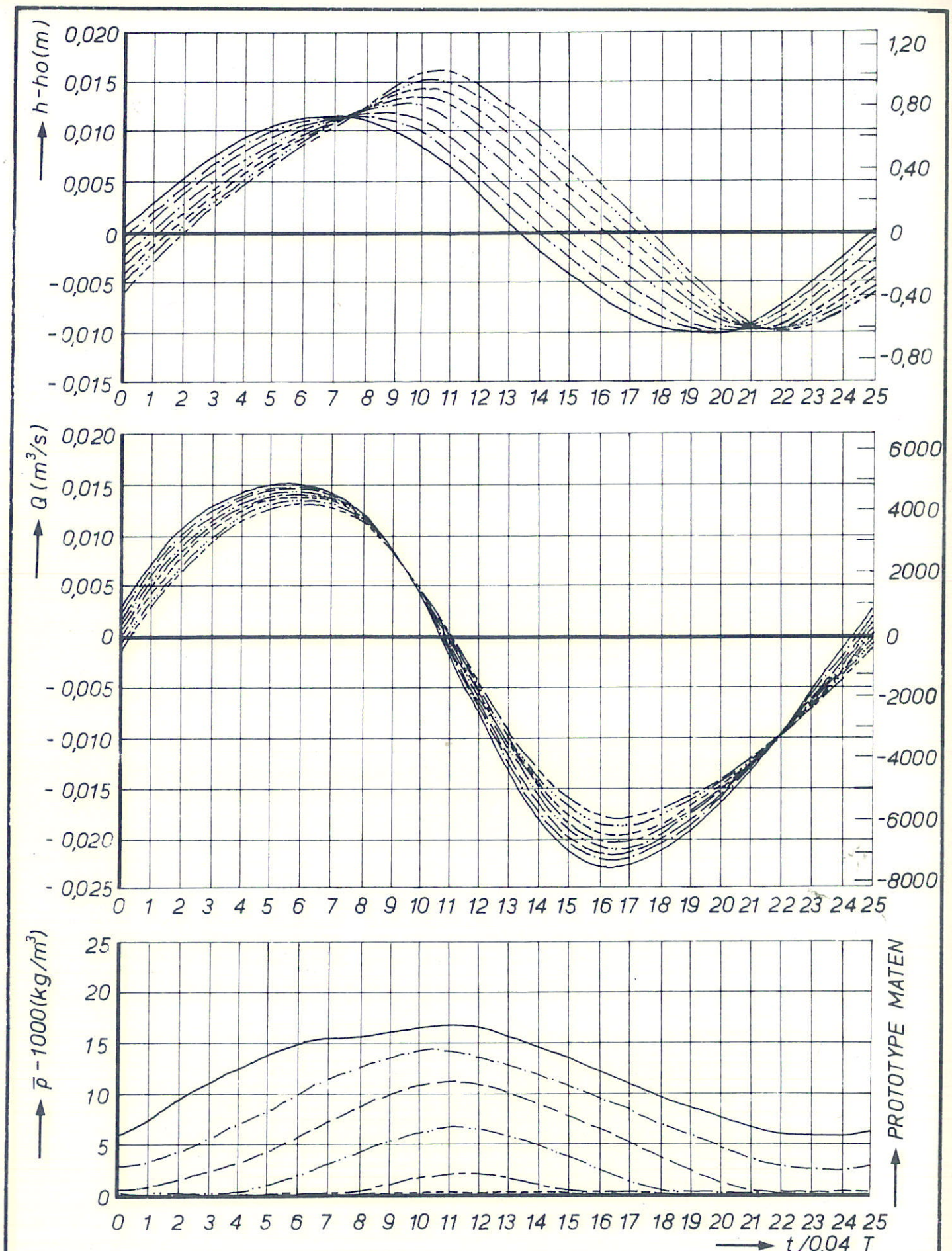
$\cdots \cdots$	$X/\Delta X = 2, 4, 5,$	WK
$- - - -$	$X/\Delta X = 8, 10, 12,$	
$\cdot \cdot \cdot \cdot$	$X/\Delta X = 14, 16.$	A4



ONDERZOEK VARIATIE KONDITIE ZEE
PROEF T 131 (LUCHT 80 cc/m²s (ZEE+GOOT))

$\equiv \equiv \equiv X/\Delta X = 2, 4, 5,$
 $\cdots \cdots \cdots X/\Delta X = 8, 10, 12,$
 $\dots \dots \dots X/\Delta X = 14, 16.$

WK
A4

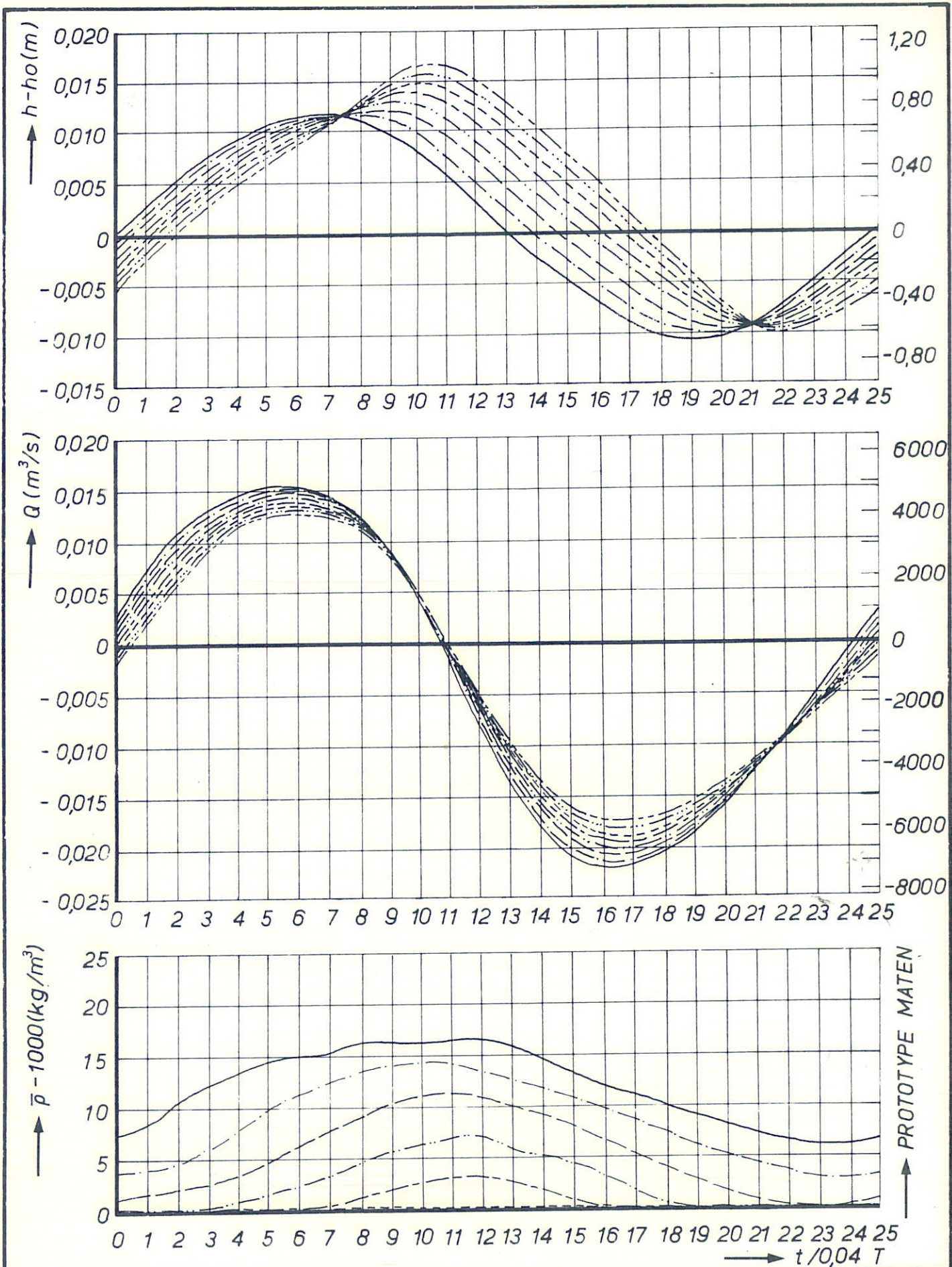


ONDERZOEK VARIATIE KONDITIE ZEE
PROEF T 132 (LUCHT 80 cc/m²s (ZEE))

— X/ΔX = 2, 4, 5,
— · · · X/ΔX = 8, 10, 12,
— : : X/ΔX = 14, 16.

WK

A4

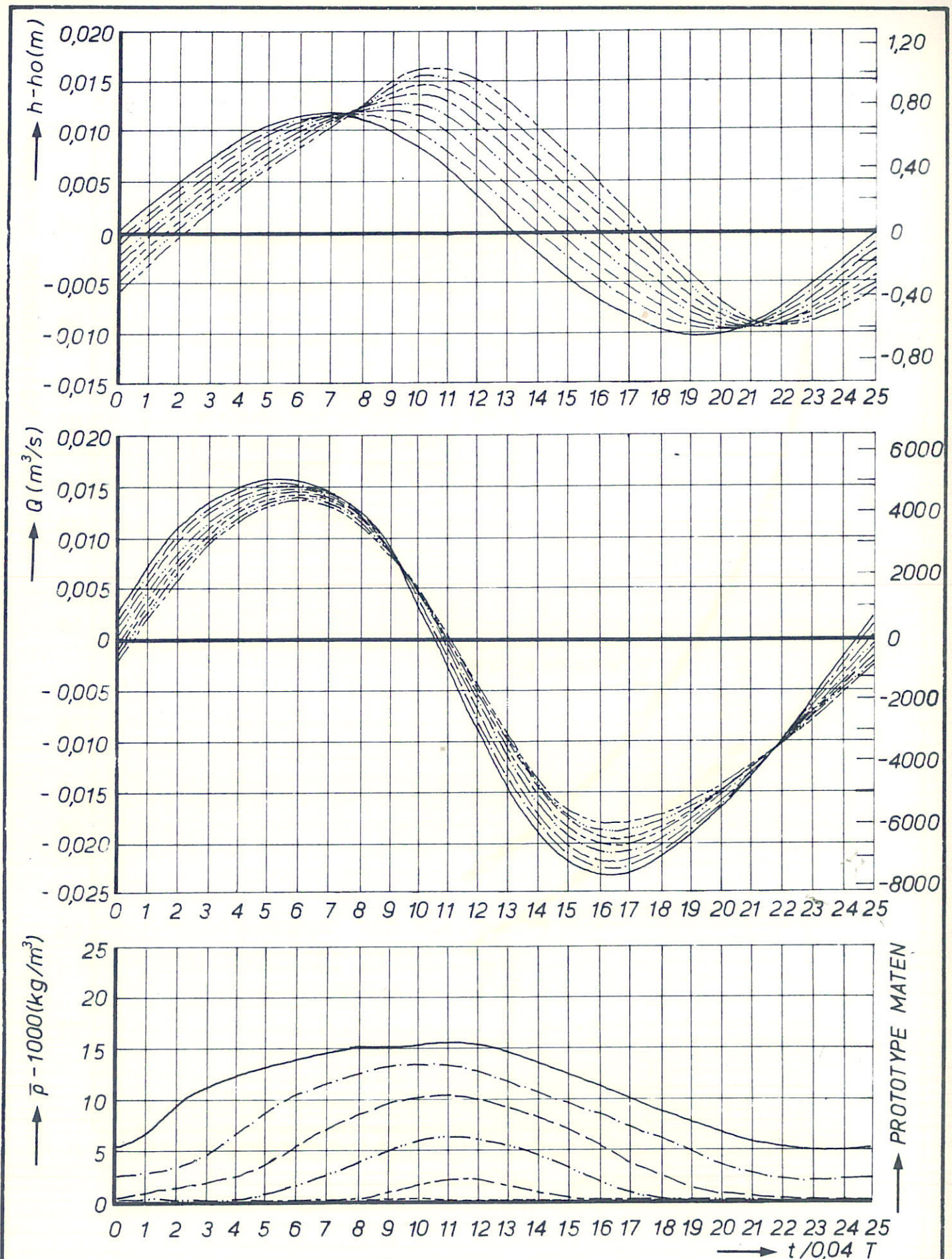


ONDERZOEK VARIATIE KONDITIE ZEE
PROEF T 133 (DUIKSCHOT VERWIJDERD)

—
—
—
 $X/\Delta X = 2, 4, 6,$
 $X/\Delta X = 8, 10, 12,$
 $X/\Delta X = 14, 16.$

WK

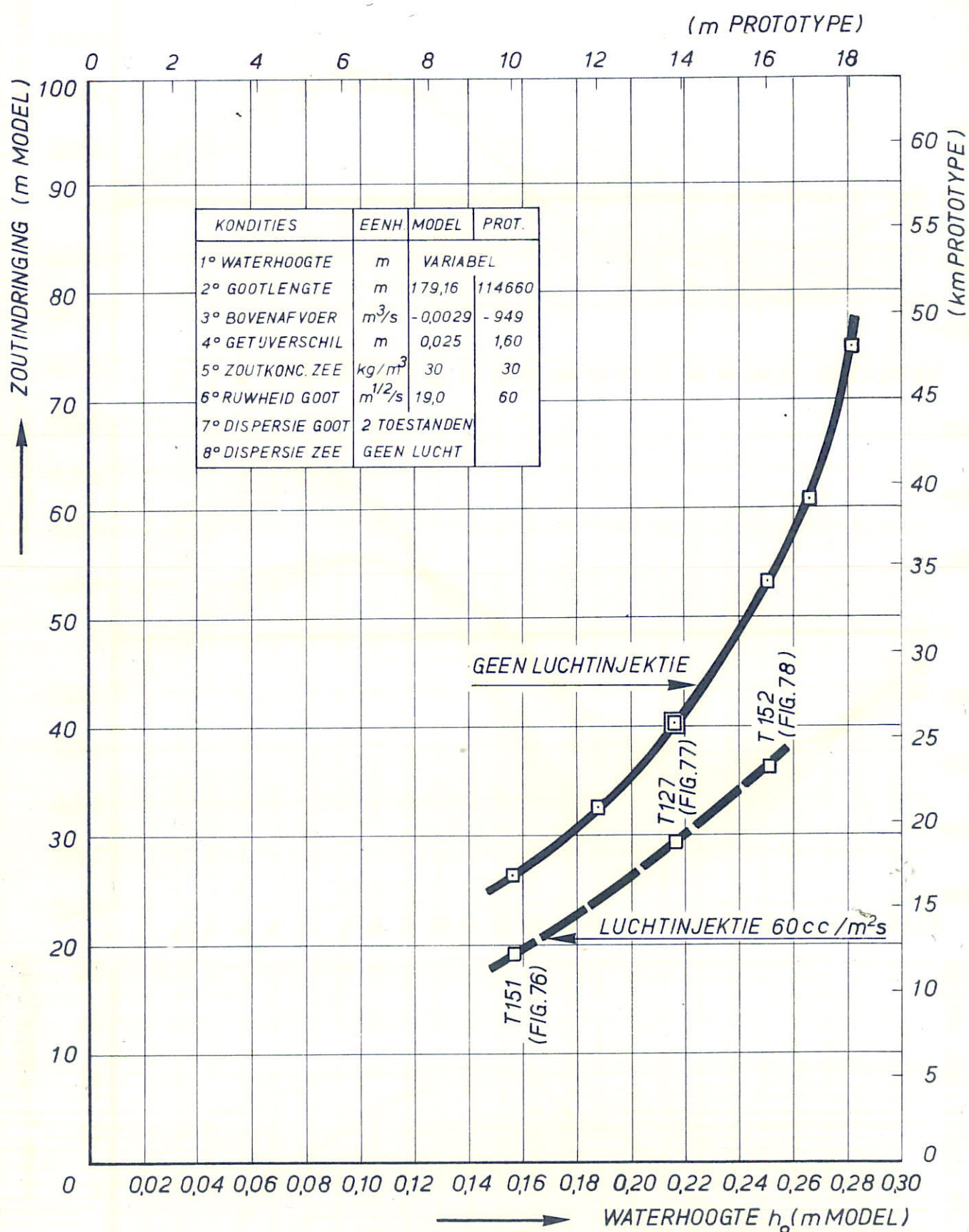
A4



ONDERZOEK VARIATIE KONDITIE ZEE
PROEF T139 (GEEN ZOETWATERAFZUIGING)

==== $X/\Delta X = 2, 4, 6,$
===== $X/\Delta X = 8, 10, 12,$
===== $X/\Delta X = 14, 16.$

WK
A4



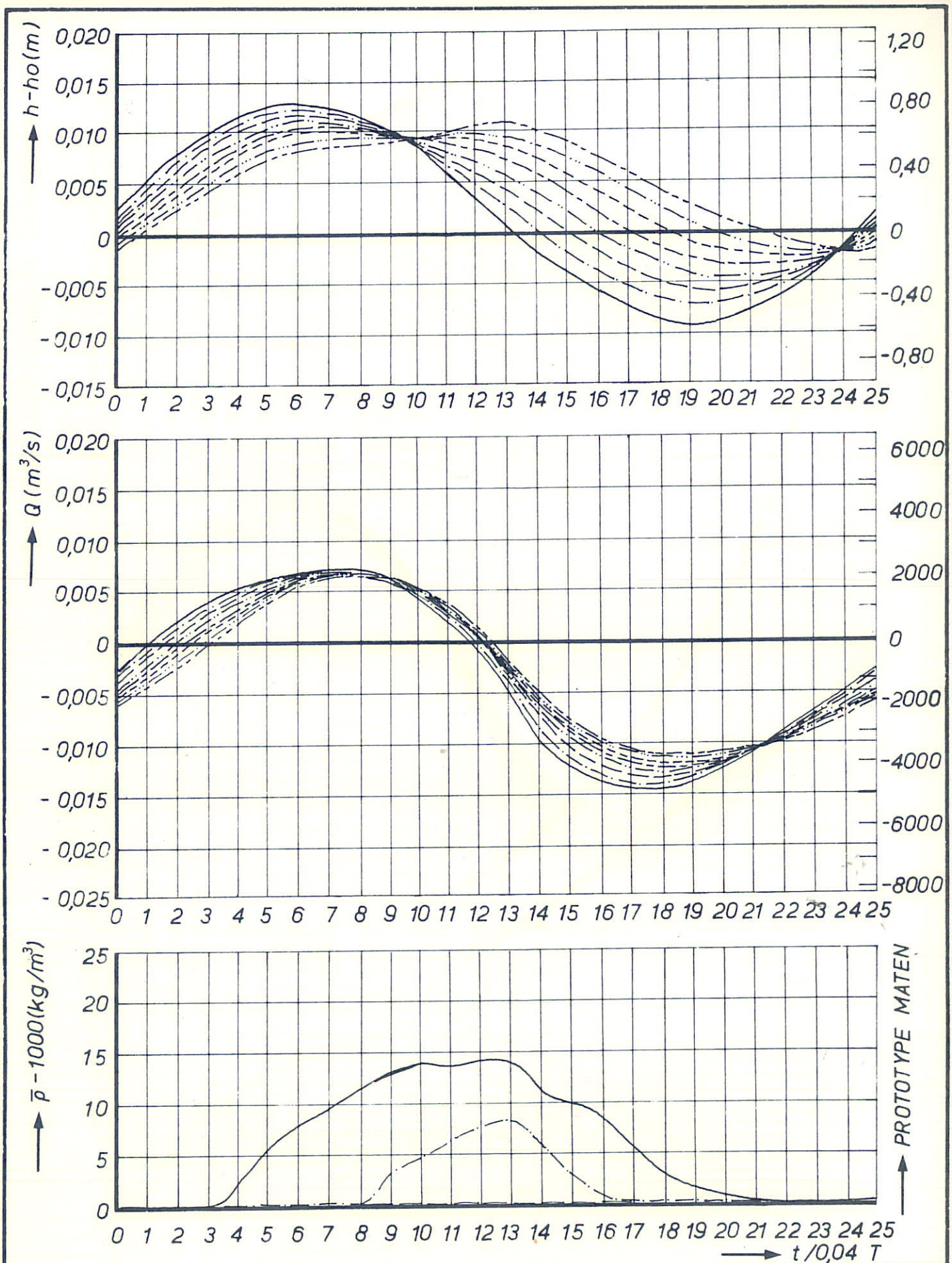
INVLOED LUCHTINJEKTIE BIJ VARIATIE WATERHOOGTE

□ MEETRESULTATEN

P

■ REFERENTIE PROEF
ROTTERD. WATERWEG

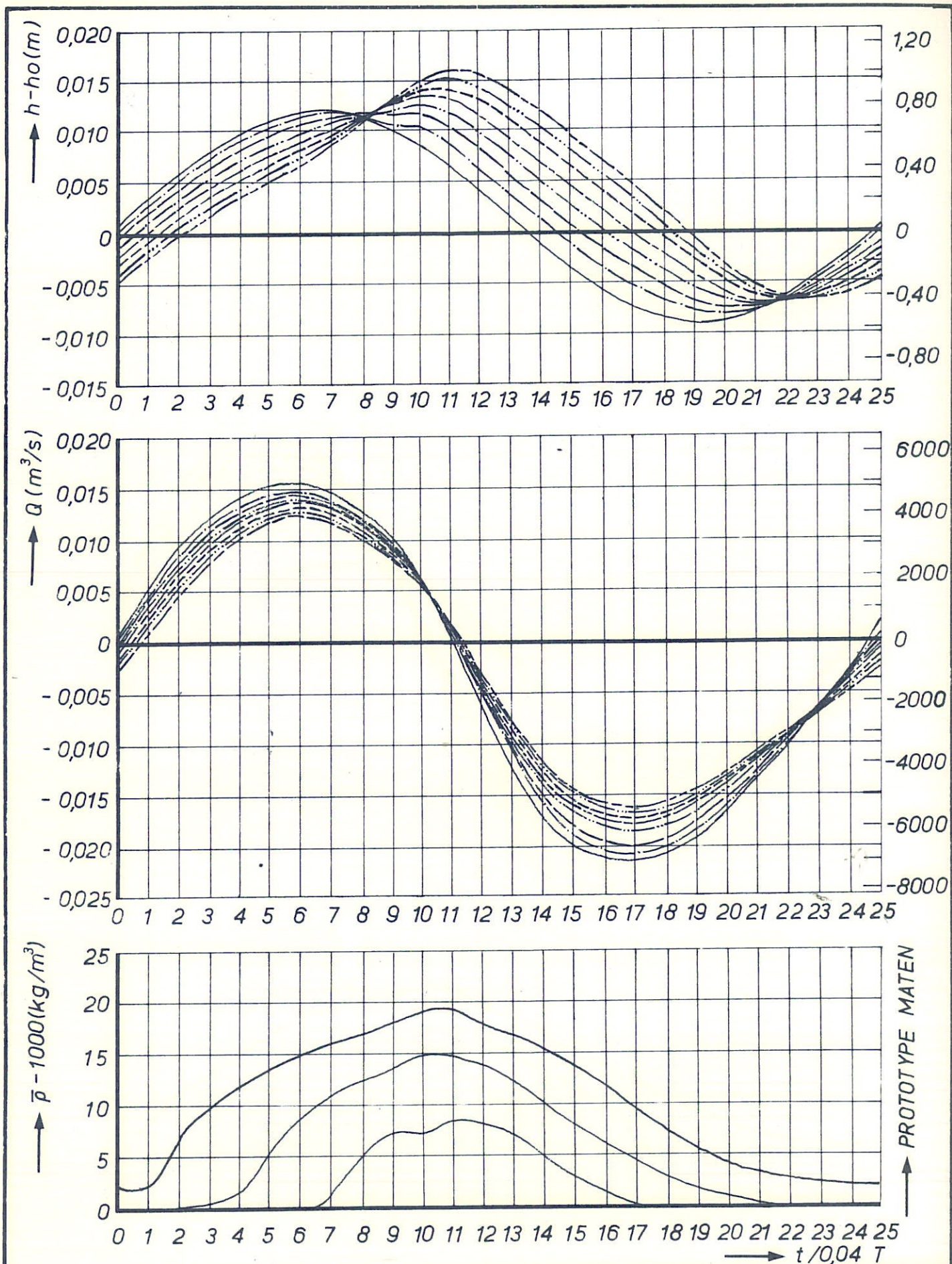
A4



INVLOED LUCHTINJEKTIE BIJ VARIATIE WATERHOOGTE
PROEF T151 ($h_0 = 10 \text{ m}$ PROT.; $Q_d = 60 \text{ cc/m}^2\text{s}$)

==== $X/\Delta X = 2, 4, 5,$
===== $X/\Delta X = 8, 10, 12,$
===== $X/\Delta X = 14, 16.$

WK
A4

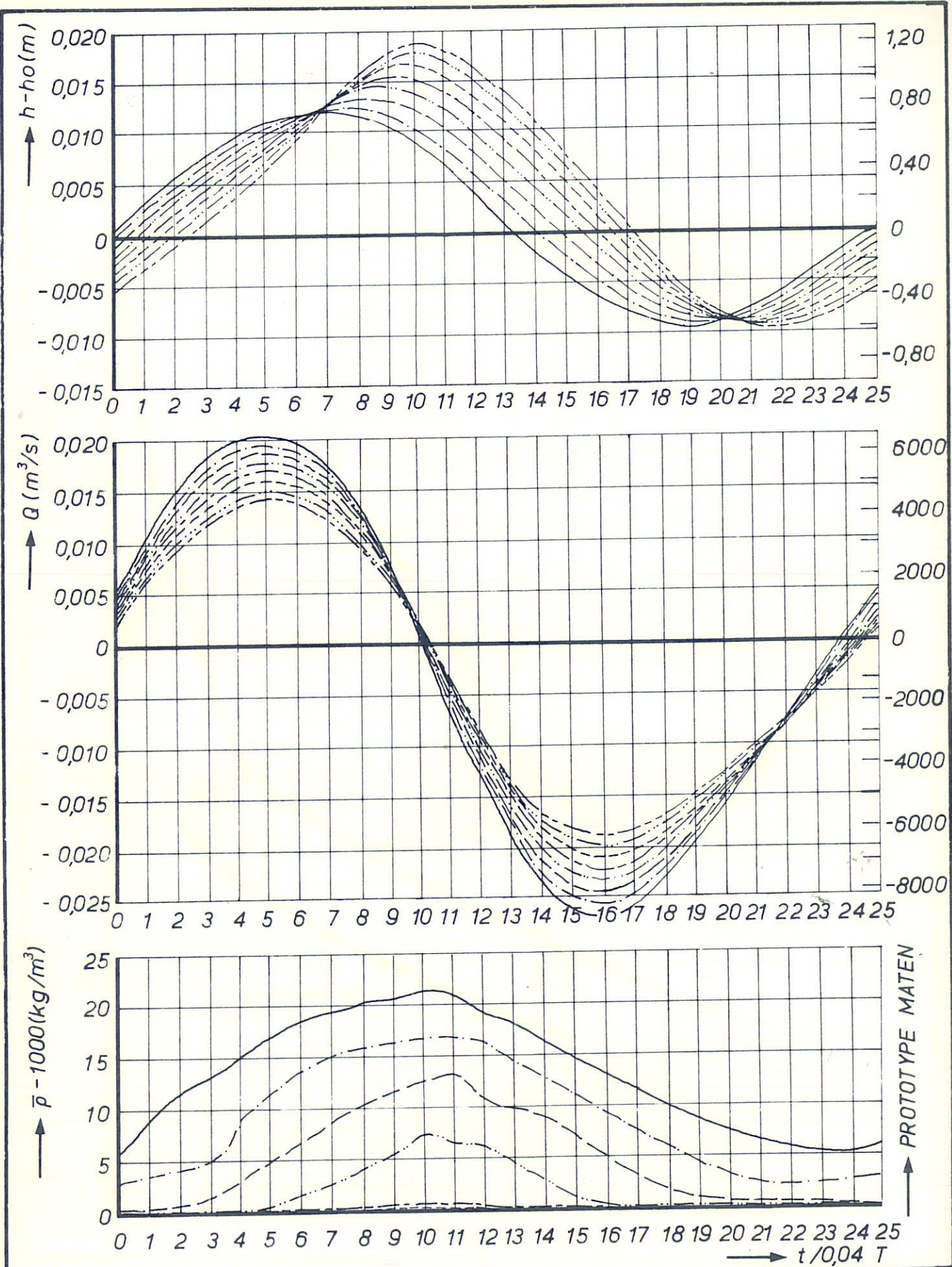


INVLOED LUCHTINJEKTIE BIJ VARIATIE WATERHOOGTE
PROEF T 127 ($h_0 = 13,8 m$ PROT.; $Q_a = 60 cc/m^2 s$)

WATERLOOPKUNDIG LABORATORIUM

$X/\Delta X = 2, 4, 6,$
 $X/\Delta X = 8, 10, 12,$
 $X/\Delta X = 14, 16.$

WK
A4

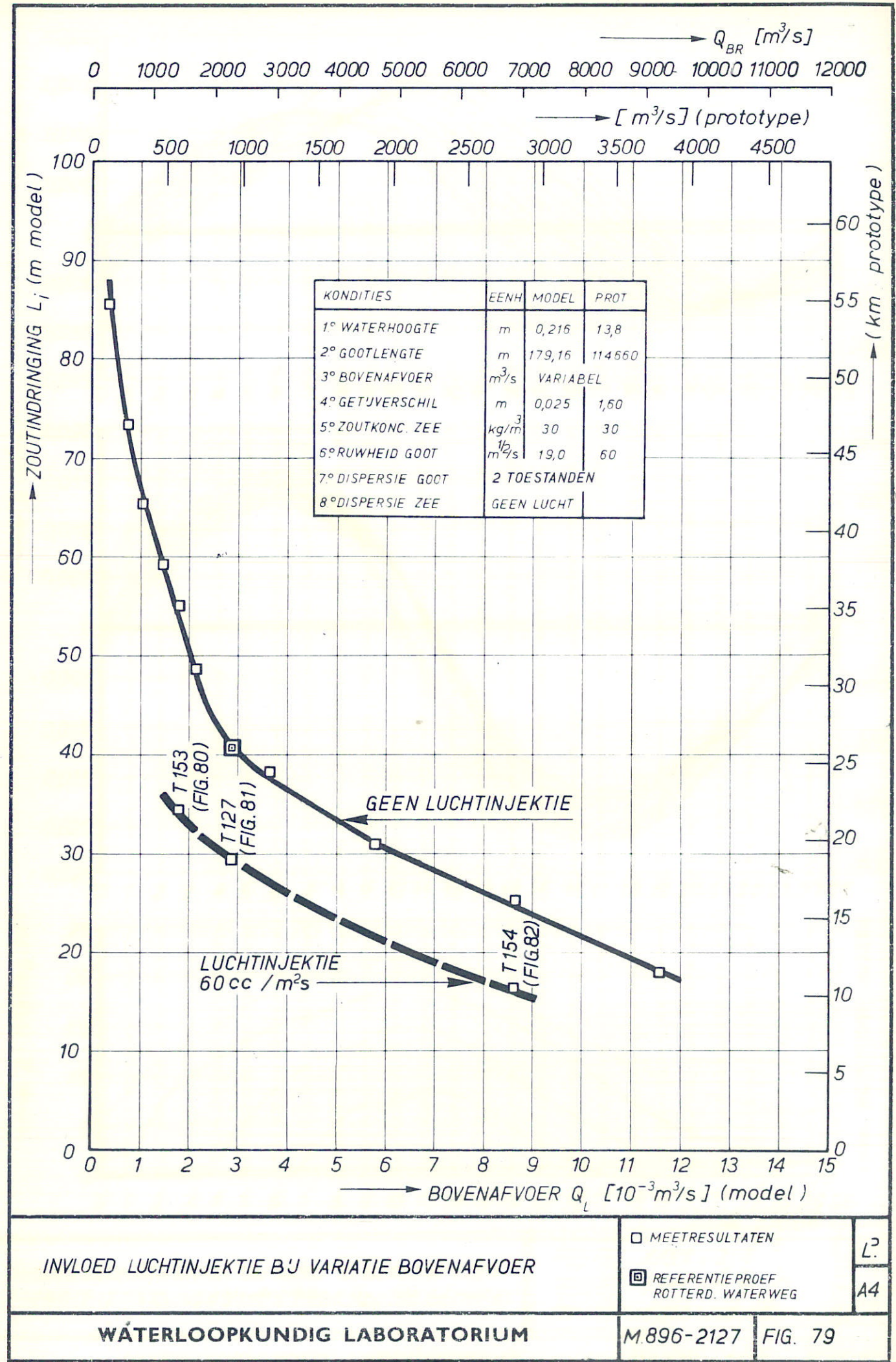


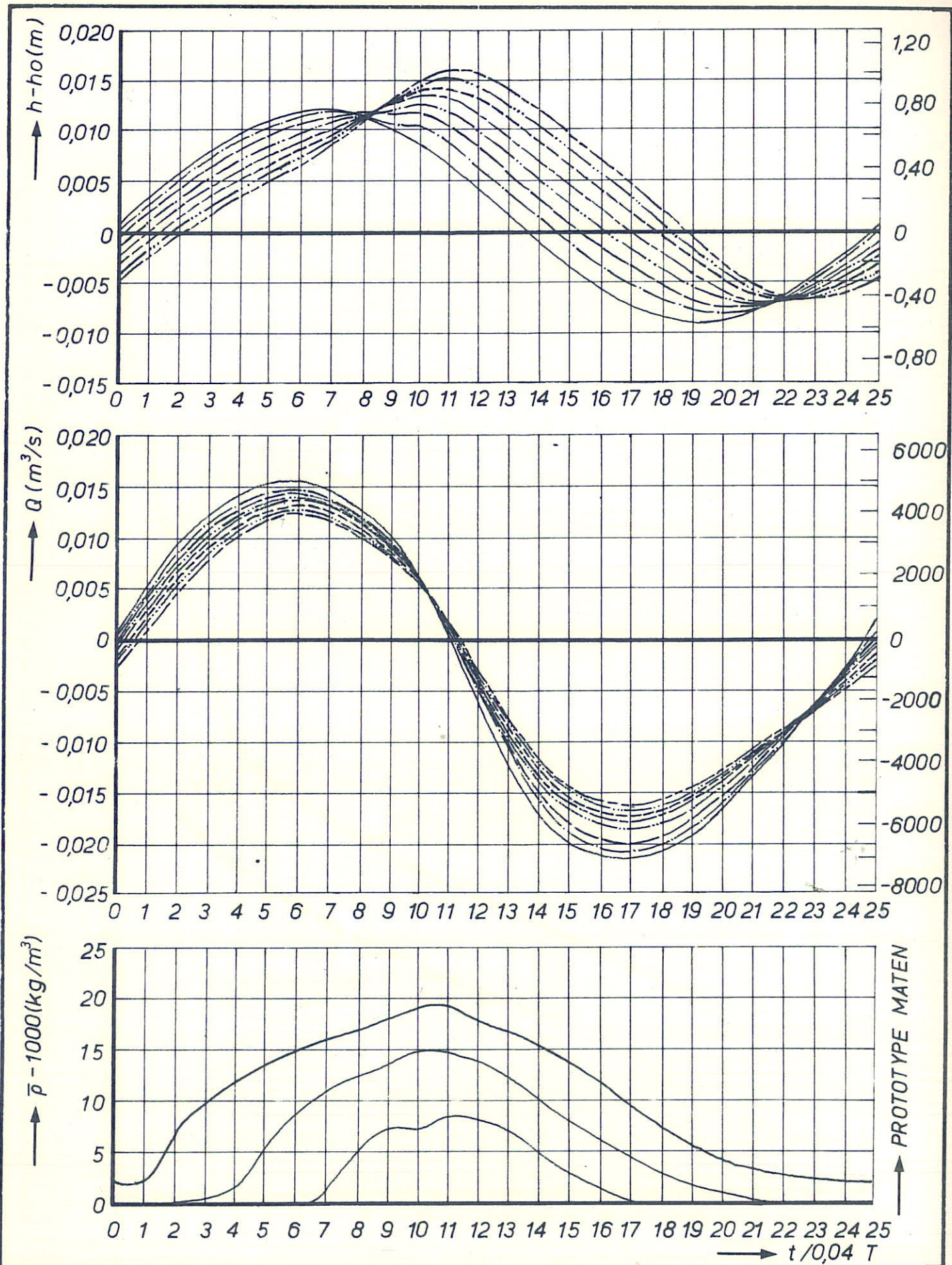
INVLOED LUCHTINJEKTIE BIJ VARIATIE WATERHOOGTE
PROEF T 152 ($h_0 = 16$ m PROT.; $Q_a = 60$ cc/ $m^2 s$)

$X/\Delta X = 2, 4, 6$,
 $X/\Delta X = 8, 10, 12$,
 $X/\Delta X = 14, 16$.

WK

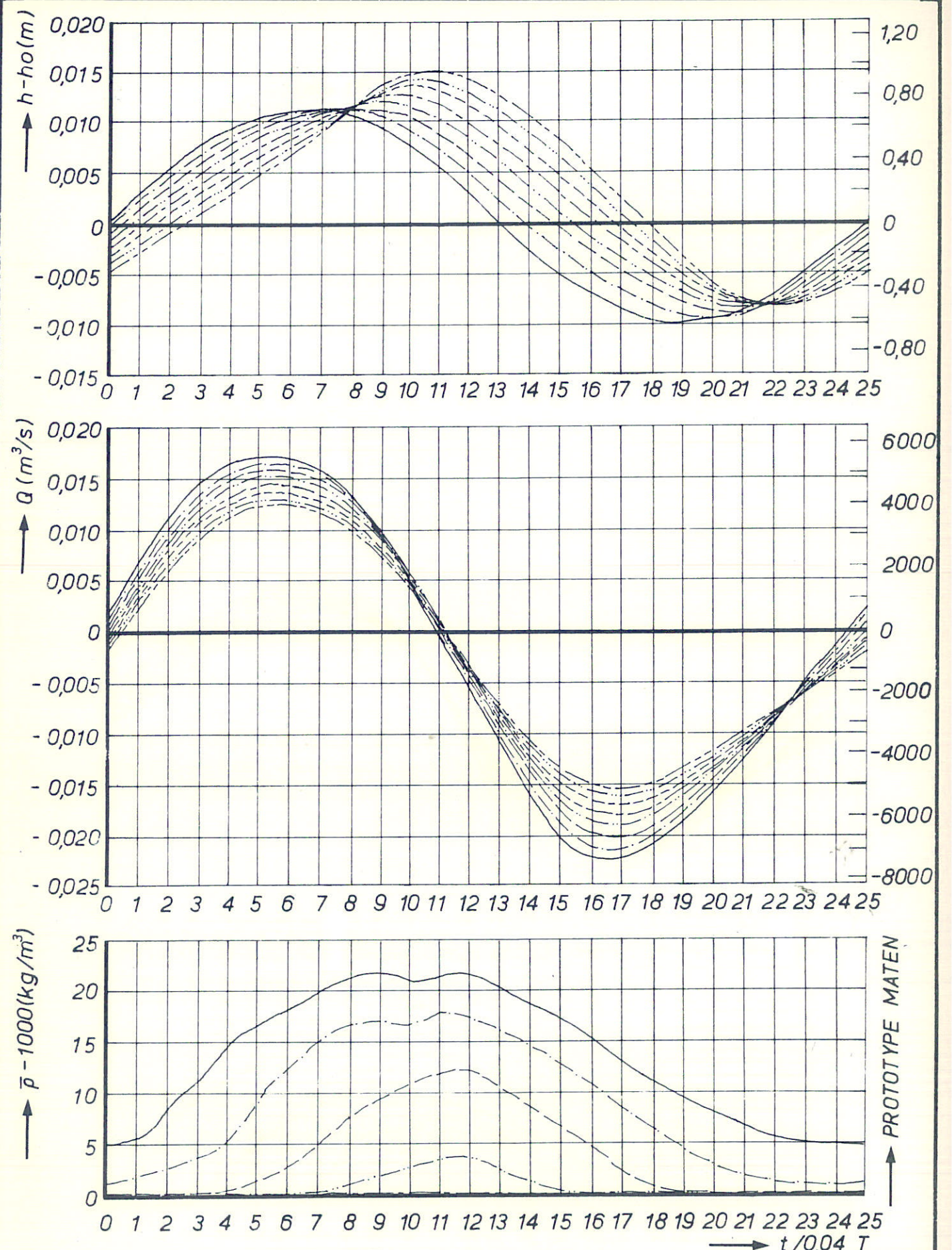
A4





INVLOED LUCHTINJEKTIE BIJ VARIATIE BOVENAFVOER
PROEF T 127 ($Q_L = 949 \text{ m}^3/\text{s}$ PROT.; $Q_d = 60 \text{ cc}/\text{m}^2\text{s}$)

$X/\Delta X = 2, 4, 6,$	WK
$X/\Delta X = 8, 10, 12,$	
$X/\Delta X = 14, 16.$	A4

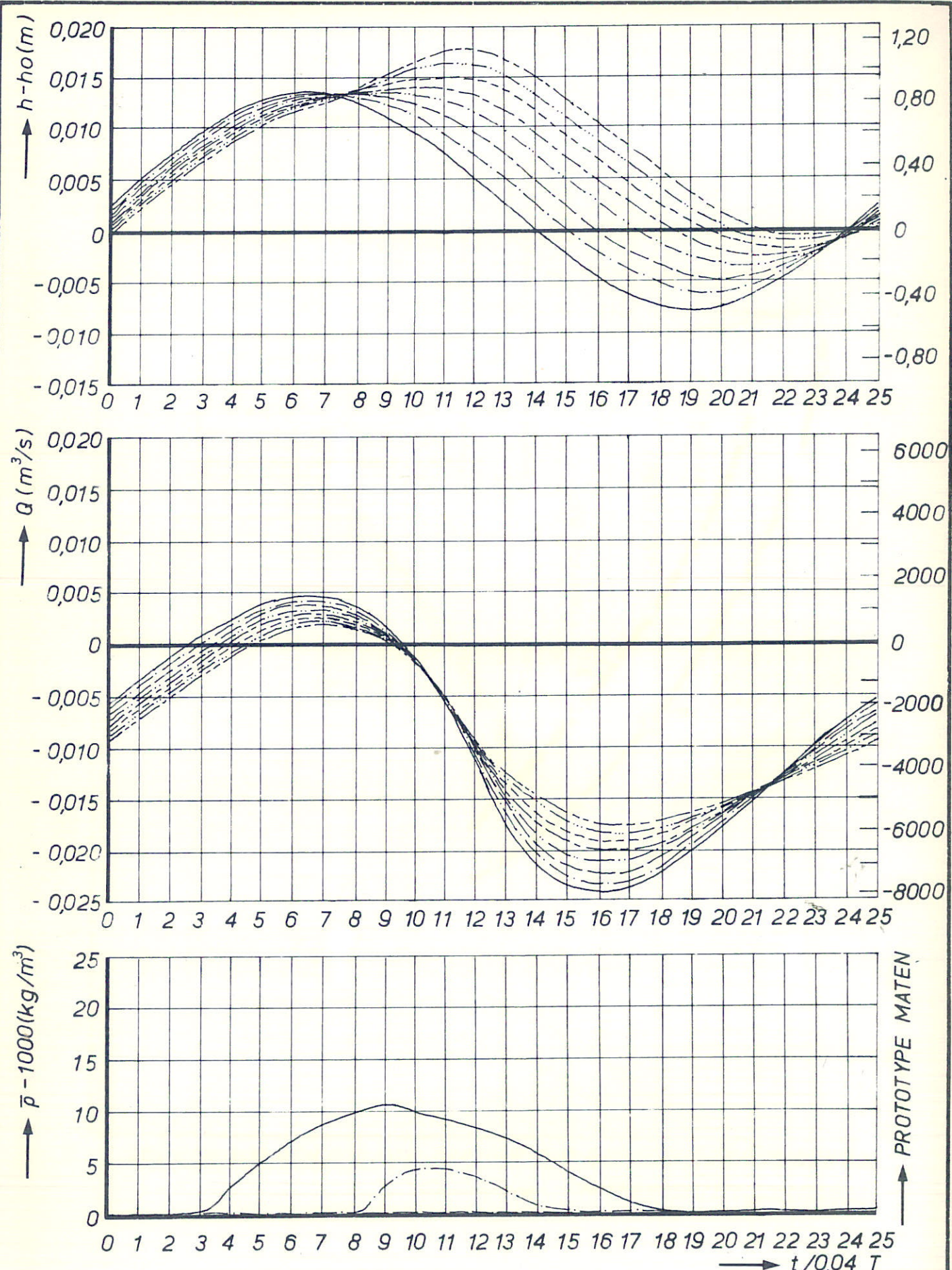


INVLOED LUCHTINJEKTIE BIJ VARIATIE BOVENAFVOER
PROEF T153 ($Q_L = 593 \text{ m}^3/\text{s}$ PROT; $Q_d = 50 \text{ cc/m}^2\text{s}$)

$X/\Delta X = 2, 4, 6$,
 $X/\Delta X = 8, 10, 12$,
 $X/\Delta X = 14, 16$.

WK

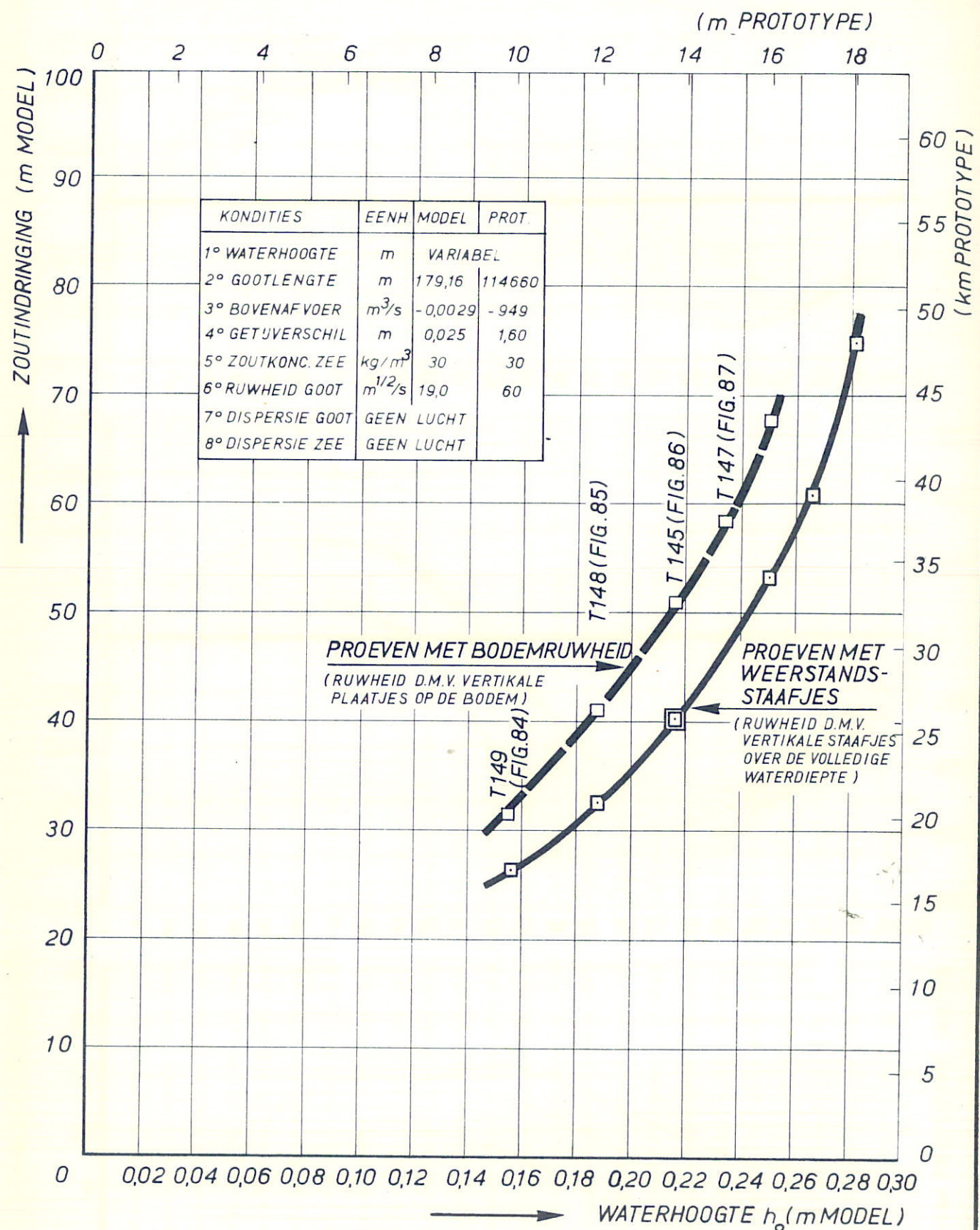
A4



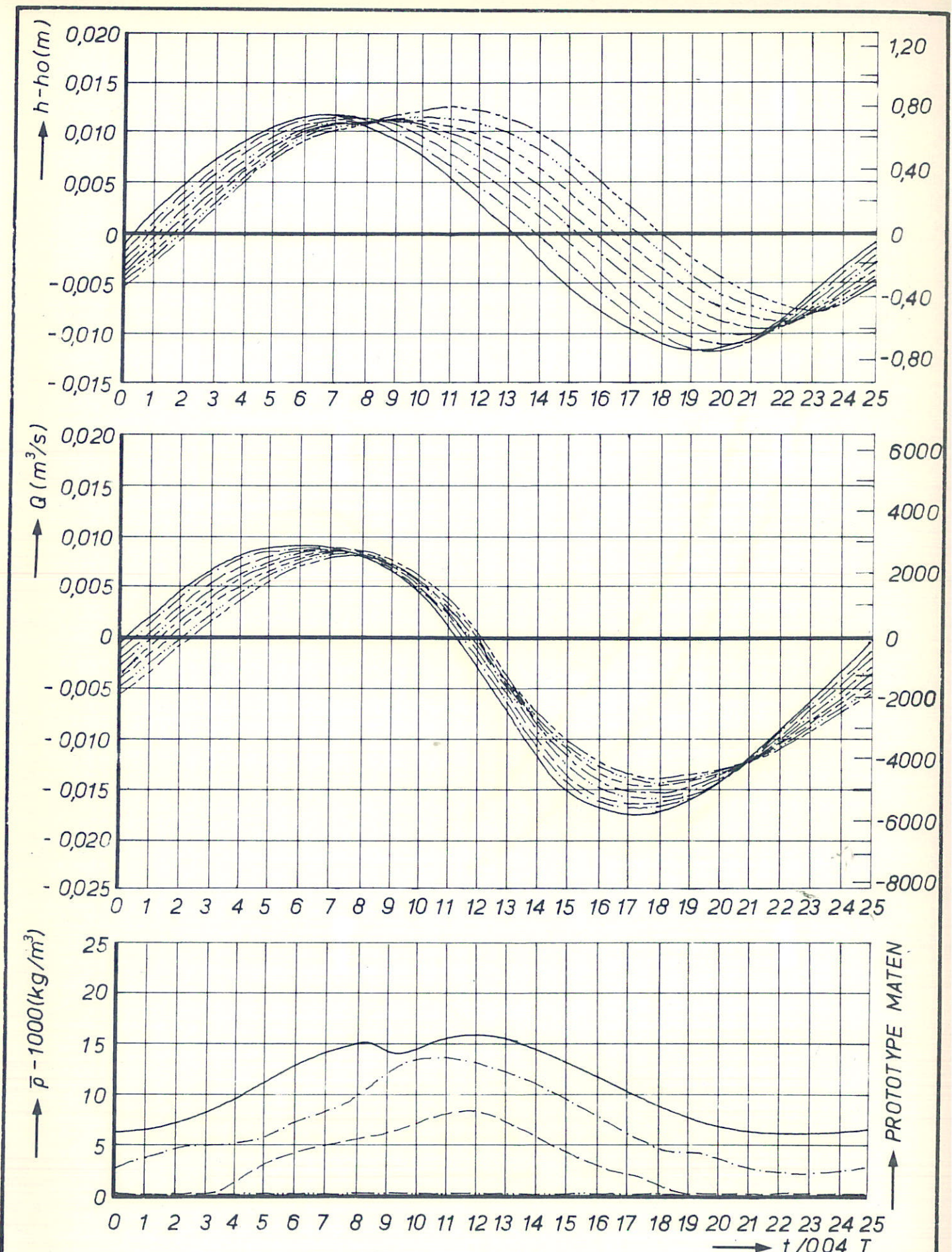
WATERLOOPKUNDIG LABORATORIUM

M.895 - 2130

FIG. 82

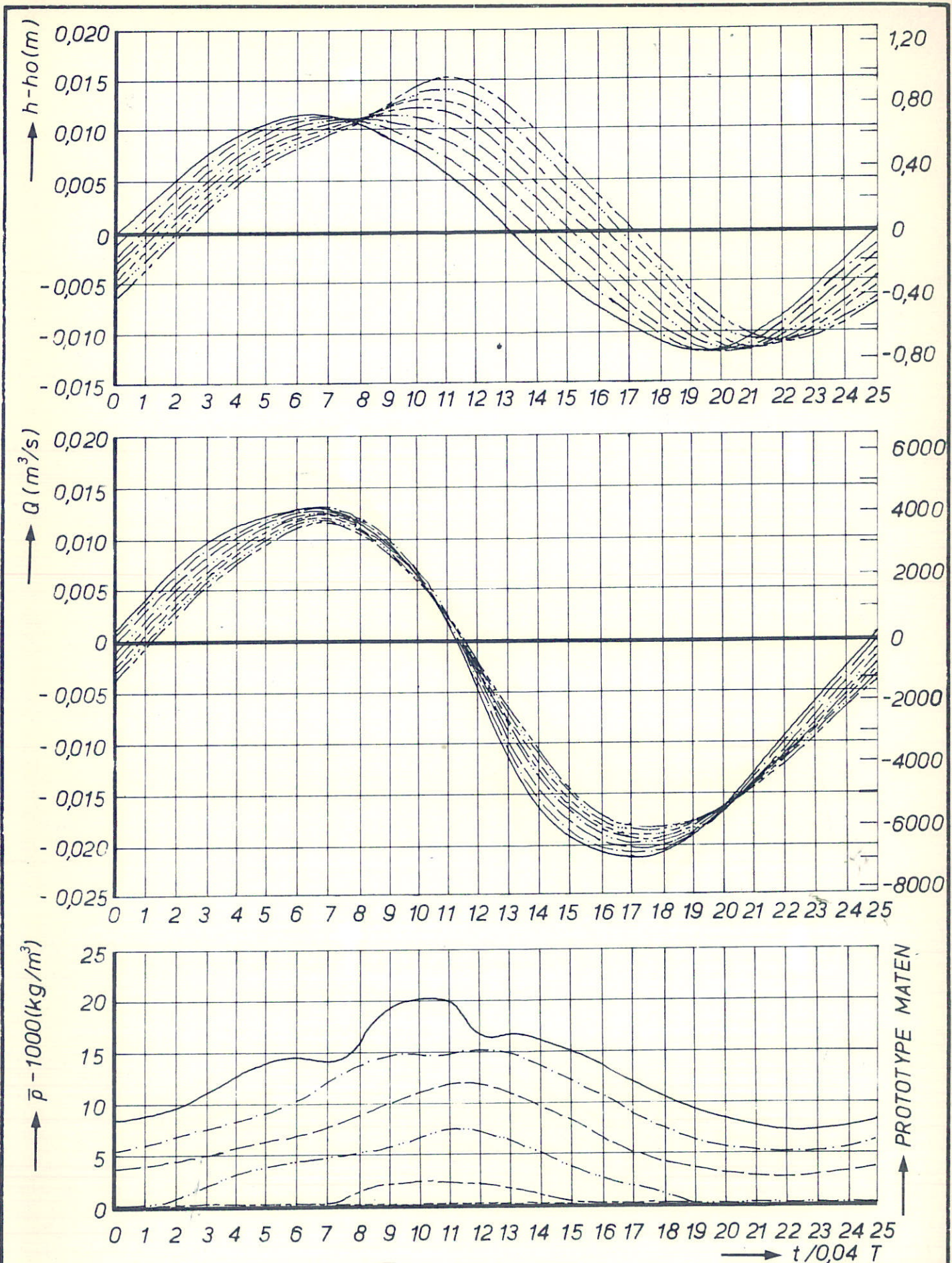


INVLOED TYPE RUWHEID BIJ VARIATIE WATERHOOGTE



INVLOED TYPE RUWHEID BIJ VARIATIE WATERHOOGTE
PROEF T 149 ($h_0 = 10$ m PROT.; BODEMRUWHEID)

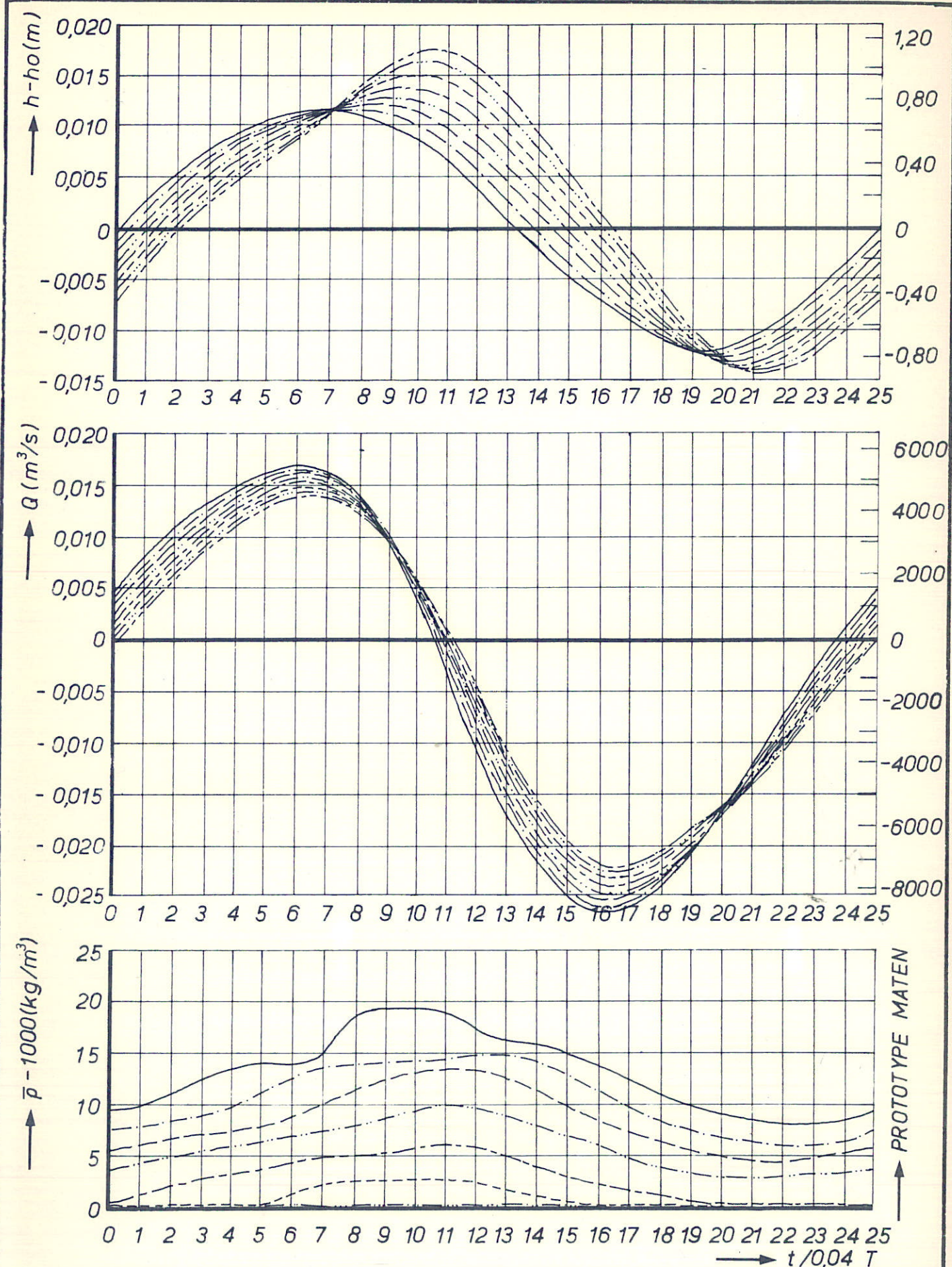
WK
A4



INVLOED TYPE RUWHEID BIJ VARIATIE WATERHOOGTE
PROEF T 148 ($h_0 = 12 \text{ m}$ PROT.; BODEMRUWHEID)

$X/\Delta X = 2, 4, 5$,
 $X/\Delta X = 8, 10, 12$,
 $X/\Delta X = 14, 16$.

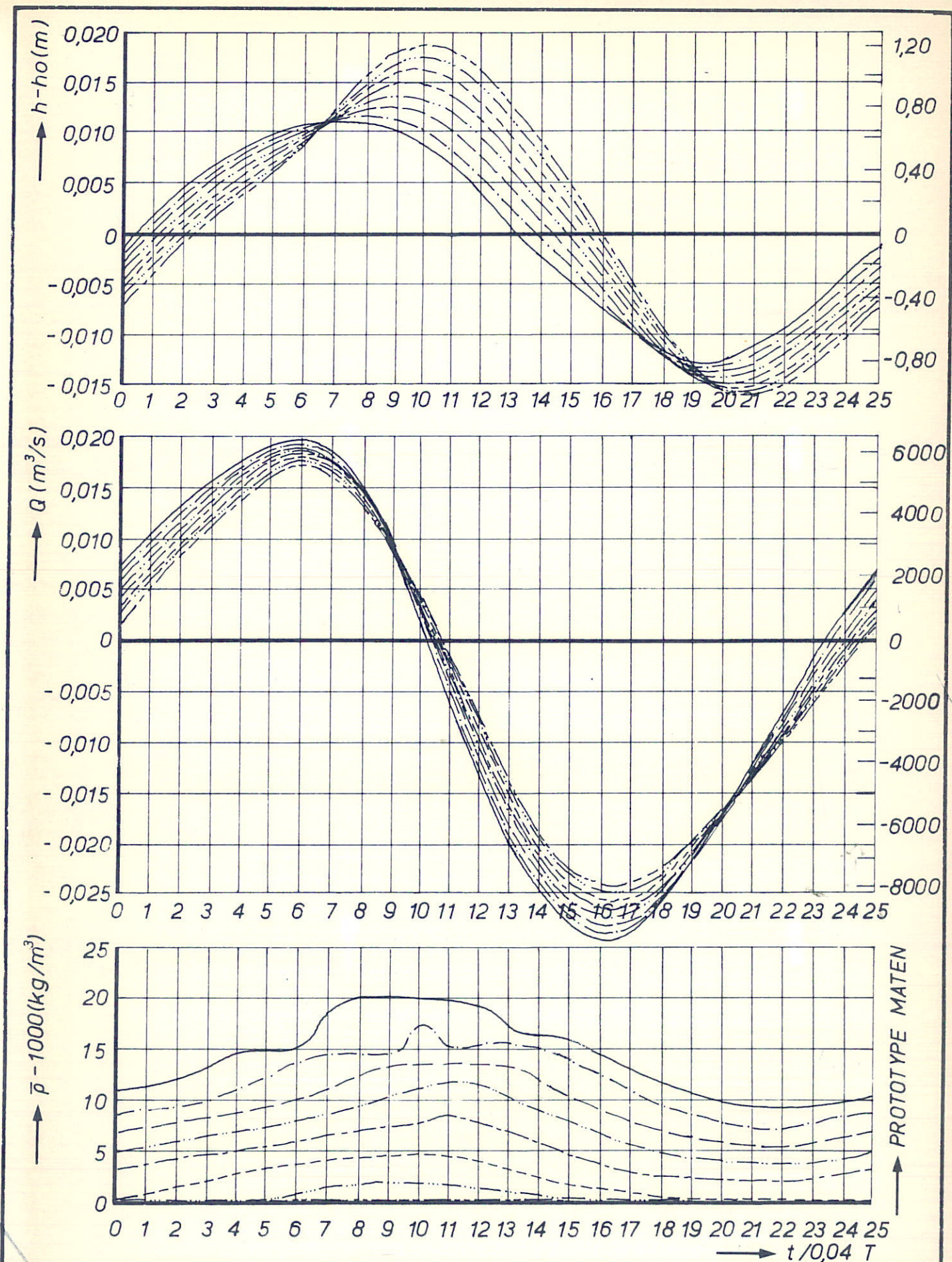
WK
A4



INVLOED TYPE RUWHEID BIJ VARIATIE WATERHOOGTE
PROEF T 145 ($h_0 = 13,8 m$ PROT.; BODEMRUWHEID)

$X/\Delta X = 2, 4, 5$
 $X/\Delta X = 8, 10, 12$
 $X/\Delta X = 14, 16$

WK
A4



INVLOED TYPE RUWHEID BIJ VARIATIE WATERHOOGTE
PROEF T147 ($h_0 = 15 \text{ m}$ PROT.; BODEMRUWHEID)

$X/\Delta X = 2, 4, 6$,
 $X/\Delta X = 8, 10, 12$,
 $X/\Delta X = 14, 16$.

WK
A4

